

# NMFM 310 | Základy matematického modelování

---

Letný semester 2017/2018 | Prednáška MFF UK



Matúš Maciak | @K151

<http://www.karlin.mff.cuni.cz/~maciak>

**Prednáška:** Ut: 9:00-10:30 @K6

**Cvičenie:** Ut: 10:40-12:20 @K6

# Úvod a priebeh semestra

- ❑ 12 prednášok | 12 cvičení | 6 tématických okruhov;
- ❑ **Prerekvizita:** NMFM301 - Statistika pro finanční matematiky;
  
- ❑ Vyrovnávání dat, klouzavé průměry;
- ❑ Diferenciální rovnice a modely růstu;
- ❑ Lineární regulace a lineární soustavy;
- ❑ Markovovy řetězce s diskretním časem a stavovým prostorem;
- ❑ Časové řady, ARMA procesy;
- ❑ Poissonův proces a příbuzné modely;
  
- ❑ **Podrobnosti na** <http://www.karlin.mff.cuni.cz/~maciak>

## Doporučená literatúra

- ❑ Mandl P.: **Pravděpodobnostní dynamické modely.**  
Academia Praha, 1985.
- ❑ Prášková, Z., Lachout, P.: **Základy náhodných procesů I.**  
Matfyzpress, Praha, 2012.
- ❑ Prášková, Z.: **Základy náhodných procesů II.**  
Karolinum, Praha, 2004.

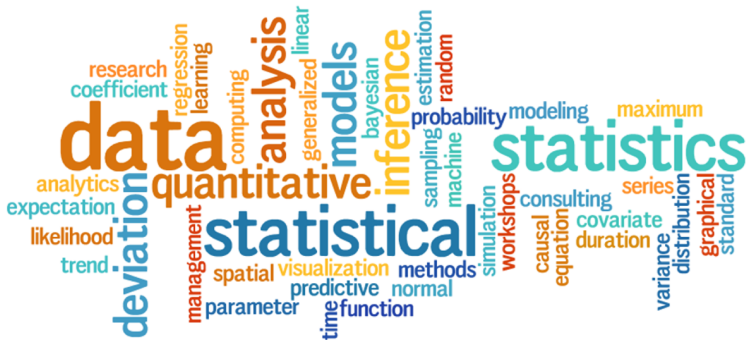
## Doporučená literatúra

- ❑ Mandl P.: **Pravděpodobnostní dynamické modely.**  
Academia Praha, 1985.
  - ❑ Prášková, Z., Lachout, P.: **Základy náhodných procesů I.**  
Matfyzpress, Praha, 2012.
  - ❑ Prášková, Z.: **Základy náhodných procesů II.**  
Karolinum, Praha, 2004.
- + bibliografické odkazy a referencie v priebehu prednášky;

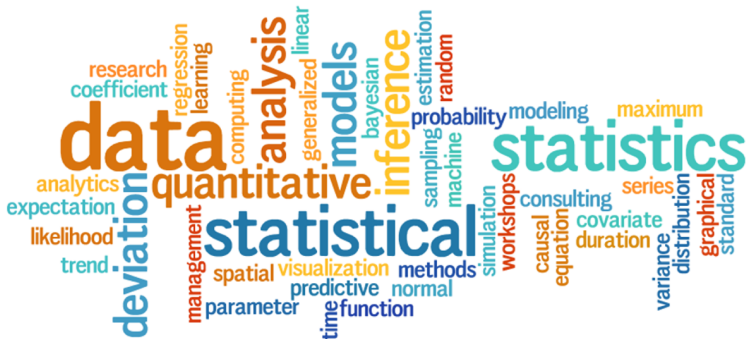
Kapitola 1

# Vyrovnávání dat

# Čo sú to data? Čo je to model?



# Čo sú to data? Čo je to model?



- ❑ (Anglické) slovo "data" prvýkrát použité v roce 1640;
- ❑ V zmysle "transmittable and storable computer information" v roce 1946;
- ❑ Data – konkrétne hodnoty kvalitatívnych a kvantitatívnych premenných;
- ❑ Merané, zbierané, analyzované, reportované a interpretované hodnoty;

# Data ve statistice

- ❑ Najčastejšie sa v štatistike používa **náhodný výber**;  
(nezávisle, rovnako rozdelené náhodné veličiny – *i.i.d.* – odvodené z anglického "*independent and identically distributed random variables*")
  
- ❑ V praxi často **časovo závislá štruktúra pozorovaní** – časové rady;  
(vývoj hodnot v čase – diskretných časových okamžikoch)
  - ❑ napr. hodnota kurzu  $x(t)$  pro  $t \in \{t_1, \dots, t_n\}$ ;
  - ❑ alebo vzájomne porovnanie, napr.  $x(t)$  vs.  $y(t)$ ;
  - ❑ alebo data  $(x_1, y_1)^T, \dots, (x_n, y_n)^T$ , pro uspořádané indexy;
  
- ❑ **Závislé** a často **nestejně rozdelené náhodné veličiny** – n.i.n.i.d;  
(jak takéto data analyzovat a jaké (vhodné) metody/modely používat?)

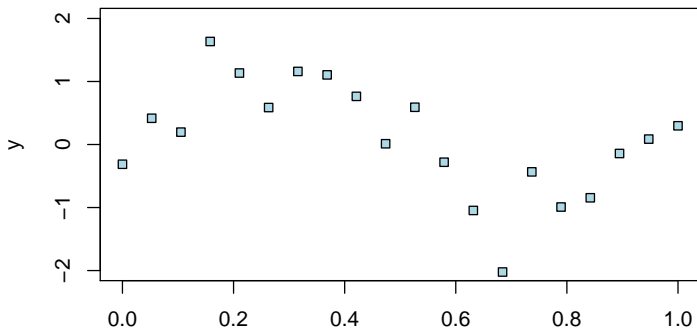


# Vyrovnávání dat

**Vyrovnávání dat** – proložení dat nějakou hladkou křivkou, která v nějakom zmyslu vystihuje nějakú základnú vlastnosť dat, ale nebere v potaz drobné chyby, nepresnosti, fluktuácie (charakterizácie dat).

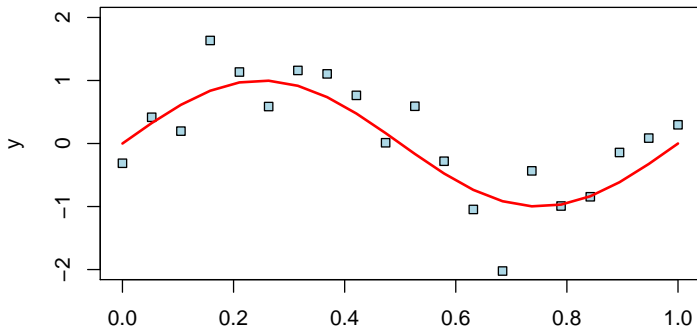
## Vyrovnávání dat

**Vyrovnávání dat** – proložení dat nějakou hladkou křivkou, která v nějakom zmyslu vystihuje nějakú základnú vlastnosť dat, ale neberie v potaz drobné chyby, nepresnosti, fluktuácie (charakterizácie dat).

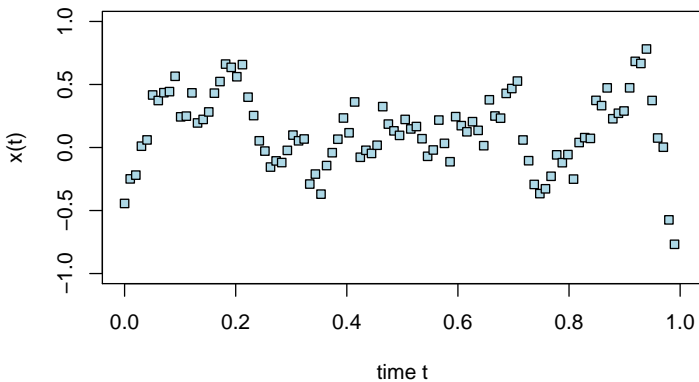


## Vyrovnávání dat

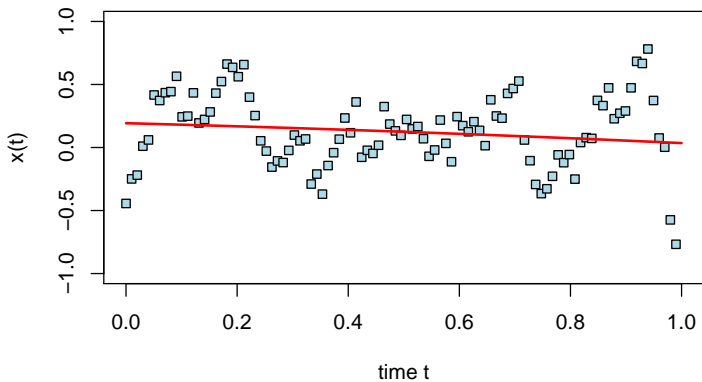
**Vyrovnávání dat** – proložení dat nějakou hladkou křivkou, která v nějakom zmyslu vystihuje nějakú základnú vlastnosť dat, ale neberie v potaz drobné chyby, nepresnosti, fluktuácie (charakterizácie dat).



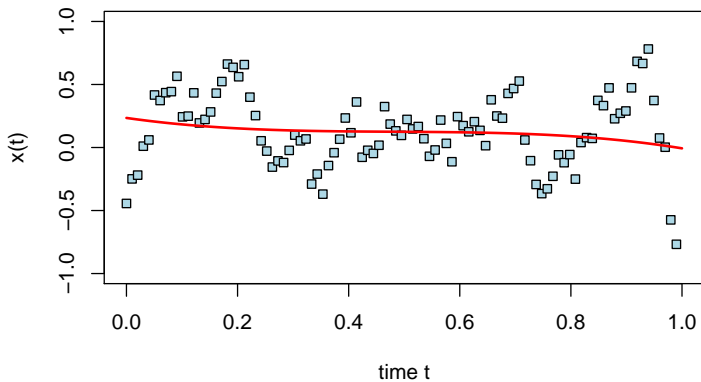
# Jak volit "hladku křivku"?



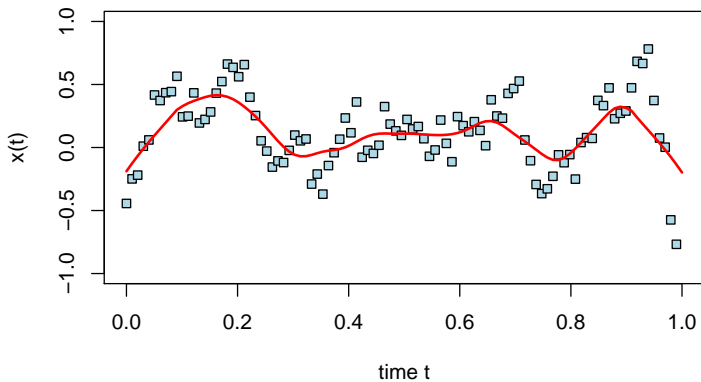
# Jak volit "hladku křivku"?



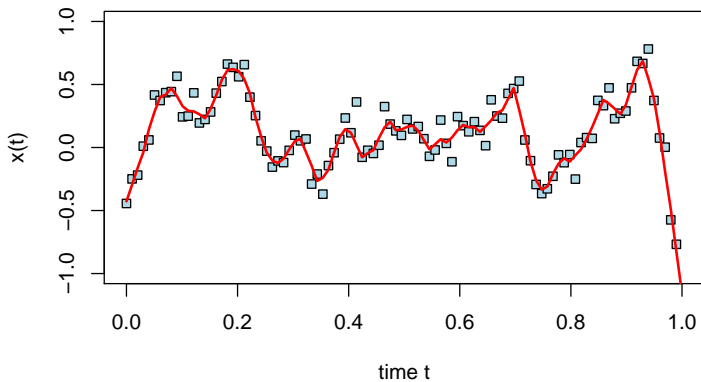
# Jak volit "hladku křivku"?



# Jak volit "hladku křivku"?



# Jak volit "hladku křivku"?





# Od parametrických po neparametrické

V zásadě rozlišujeme **tri základné prístupy** pri modelovaní dat, resp. pri prekladaní dat (ne nutne hladkou) krivkou. Základný rozdiel je v celkovej miere **flexibility a komplexity** výsledného modelu.

## ❑ Parametrický postup

### ❑ jednoduchost

*(formálny výpočet, model, interpretácia, vlastnosti)*

### ❑ málo flexibilný

*(príliš jednoduchý model, ktorý často nedostatečne vystihuje data)*

## ❑ Neparametrický postup

### ❑ výborná flexibilita

*(bez akýchkoľvek predpokladov na konkrétny parametrický tvar krivky)*

### ❑ príliš zložitý

*(pomerné náročný na výpočet, vlastnosti a takmer nemožná interpretácia)*

## ❑ Semiparametrický postup

### ❑ dostatečne flexibilný, akceptovateľná zložitost

*(bez predpokladov na konkrétny tvar, ale pomocou (skrytých) parametrov)*

### ❑ málo intuitívny

*(kombinácia dobrých, ale aj špatných vlastností parametrických a neparametrických postupov)*

# Metóda nejmenších čtverců



Charles Friedrich Gauss (1777 – 1855)

- ❑ metoda sa postupne vyvinula v súvislosti s **astronómiou** a **geodéziou** pri riešení problémov s **navigáciou** lodí;
- ❑ **P.S.Laplace** a **T. Mayer** využili tzv. **metodu priemerov** pre vysvetlenie pohybov nebeských telies již v roce **1750**;
- ❑ prvýkrát publikovaná (**Legendre, 1805**) ako algebraický nástroj na **fitovanie lineárnych rovníc** na data;
- ❑ **C.F. Gauss** v **1809** publikuje prácu o metode najmenších štvorcov a dáva ju súvislosti s **teóriou pravdepodobnosti** a **normálnym rozdelením**;

# Parametrický způsob vyrovnávání

## Křivka jednoznačně určená parametry

- ❑ předem zvolíme tvar hladké křivky napr. parabola  $x \rightarrow a + bx + cx^2$ ;
- ❑ neznáma křivka definovaná pomocí **neznámých parametrů**  $a, b, c \in \mathbb{R}$ ;
- ❑ parametry mají konkrétnou a často **priamočiaru interpretáciu**;
- ❑ odhady parametrů jako **minimalizace součtu čtverců odchylek**;
- ❑ volba počtu parametrů  $\implies$  konkrétny tvar a flexibilita křivky;
- ❑ rozhodnutí mezi celkovým **počtem parametrů** a **velikosti součtu čtverců**;

# Parametrický způsob vyrovnávání

## Křivka jednoznačně určená parametry

- předem zvolíme tvar hladké křivky napr. parabola  $x \rightarrow a + bx + cx^2$ ;
- neznáma křivka definovaná pomocí **neznámých parametrů**  $a, b, c \in \mathbb{R}$ ;
- parametry mají konkrétnou a často **priamočiaru interpretáciu**;
- odhady parametrů jako **minimalizace součtu čtverců odchylek**;
- volba počtu parametrů  $\implies$  konkrétny tvar a flexibilita křivky;
- rozhodnutí mezi celkovým **počtem parametrů** a **velikosti součtu čtverců**;

## There is no free lunch!

- pro dostatečně velký počet parametrů  $\implies$  **interpolace dat**;
- interpolace  $\implies$  **nulový součet čtverců**  $\implies$  žádné vyhlazení dat;
- tzv. **Bias-variance Trade-off** (vychýlenie vs. variability);  
(rozhodnutie ohľadom flexibility a komplexity modelu)

# Metóda nejmenších čtverců – algebraicky

- obecně předpokládáme tvar nějaké hladké křivky

$$x \longrightarrow a_1 f_1(x) + a_2 f_2(x) + \cdots + a_p f_p(x),$$

pro nějaké **neznáme parametry**  $a_1, \dots, a_p \in \mathbb{R}$ ;

- označme **odhadnuté hodnoty parametrů** jako  $\hat{a}_1, \dots, \hat{a}_p \in \mathbb{R}$ ;
- pak vyrovnanú hodnotu v datech lze zapsat jako

$$\hat{y}_i = \hat{a}_1 f_1(x_i) + \hat{a}_2 f_2(x_i) + \cdots + \hat{a}_p f_p(x_i),$$

kde  $\hat{y}_i$  značí vyrovnanú hodnotu příslušnú hodnotě  $y_i$ ;

- pro skrácený zápis pomocou vektorů používáme značení

$$\mathbf{y} = (y_1, \dots, y_n)^\top, \quad \hat{\mathbf{y}} = (\hat{y}_1, \dots, \hat{y}_n)^\top;$$

## Metóda nejmenších čtverců – maticově

- explicitně po zložkách dostaneme **vyrovnané hodnoty** jako

$$\hat{\mathbf{y}} = \begin{pmatrix} \hat{y}_1 \\ \vdots \\ \hat{y}_n \end{pmatrix} = \begin{pmatrix} f_1(x_1) & f_2(x_1) & \dots & f_p(x_1) \\ f_1(x_2) & f_2(x_2) & \dots & f_p(x_2) \\ \vdots & \vdots & \ddots & \vdots \\ f_1(x_n) & f_2(x_n) & \dots & f_p(x_n) \end{pmatrix} \cdot \begin{pmatrix} \hat{a}_1 \\ \vdots \\ \hat{a}_p \end{pmatrix}$$

- stručný/alternativní zápis v maticovém tvare jako

$$\hat{\mathbf{y}} = \mathbb{F} \cdot \hat{\mathbf{a}},$$

kde  $\hat{\mathbf{a}} = (\hat{a}_1, \dots, \hat{a}_p)^\top$ ;

- odhady neznámých parametrů  $a_1, \dots, a_p \in \mathbb{R}$  jsou definované tak, že **minimalizují nejmenší čtverce** (součet čtverců odchýlek)

$$\begin{aligned} S(\mathbf{y}) &= \sum_{i=1}^n \left( y_i - \sum_{j=1}^p \hat{a}_j f_j(x_i) \right)^2 = \sum_{i=1}^n (y_i - \hat{y}_i)^2 = \|\mathbf{y} - \hat{\mathbf{y}}\|_2^2 \\ &= (\mathbf{y} - \mathbb{F}\hat{\mathbf{a}})^\top (\mathbf{y} - \mathbb{F}\hat{\mathbf{a}}); \end{aligned}$$

## Metóda nejmenších čtverců – formálně

- formálně zapsané, odhady parametrov  $a_1, \dots, a_p$  jsou definované jako riešenie minimalizačného problému

$$\begin{aligned}(\hat{a}_1, \dots, \hat{a}_p)^\top &= \underset{a_1, \dots, a_p \in \mathbb{R}}{\operatorname{Argmin}} \sum_{i=1}^n \left( y_i - \sum_{j=1}^p a_j f_j(x_i) \right)^2 \\ &= \underset{\mathbf{a} \in \mathbb{R}^p}{\operatorname{Argmin}} \|\mathbf{y} - \mathbb{F}\mathbf{a}\|_2^2;\end{aligned}\tag{1}$$

- Ide o **konvexný problém** (minimalizácia konvexnej funkcie, cez konvexnú množinu) a teda **existuje globálne minimum**, ktoré je **riešením normálných rovníc**. Ak má  $\mathbb{F}$  plnú hodnotť, tak existuje **jednoznačné riešenie**;

### Samostatný úkol

- Ukážte, že problém (1) je naozaj konvexný problém. Za akých podmienok má matica  $\mathbb{F} \in \mathbb{R}^{n \times p}$  plnú hodnotť?
- Dokážte, že dosažené riešenie je skutočne globálnim minimem.

# Metóda nejmenších čtverců – příklad

## Příklad

Uvažujte data  $(y_1, x_1)^T, \dots, (y_n, x_n)^T$ , které chceme preložit jednoduchou přímkou, t.j.  $x \rightarrow a + bx$ , pro  $a, b \in \mathbb{R}$  neznáme parametre. Nайдěte explicitné řešení pro rovnici vyhlazovací přímky.



# Metóda nejmenších čtverců – příklad

## Příklad

Uvažujte data  $(y_1, x_1)^T, \dots, (x_n, y_n)^T$ , které chceme preložit jednoduchou přímkou, t.j.  $x \rightarrow a + bx$ , pro  $a, b \in \mathbb{R}$  neznáme parametre. Nájďte explicitné řešení pro rovnici vyhlazovací přímky.

## Pravděpodobnostní interpretace:

- náhodný vektor  $\mathbf{Y} = (Y_1, \dots, Y_n)^T$  a jeho realizace  $\mathbf{y} = (y_1, \dots, y_n)^T$ ;
- predpokládame, že platí model  $\mathbf{Y} = \mathbb{F}\mathbf{a} + \boldsymbol{\varepsilon}$ ;
- vektor náhodných chýb  $\boldsymbol{\varepsilon} = (\varepsilon_1, \dots, \varepsilon_n)^T \sim (\mathbf{0}, \sigma^2\mathbb{I})$ ;
- z vlastnosti střední hodnoty a rozptylu lze přepsát jako

$$\mathbb{E}\mathbf{Y} = \mathbb{F}\mathbf{a} \quad \text{Var}\mathbf{Y} = \sigma^2\mathbb{I},$$

pro jednotkovou matici  $\mathbb{I} = \text{Diag}\{1, \dots, 1\}$ , typu  $n \times n$ ;

# Regresní model – teoretické vlastnosti odhadu

**Věta:** Střední hodnota a rozptyl odhadu parametru v lineární regrese

Mějme lineární regresní model  $\mathbf{Y} = \mathbb{F}\mathbf{a} + \boldsymbol{\varepsilon}$ , pro vektor náhodných chýb se složkami s nulovou střední hodnotou  $E\boldsymbol{\varepsilon} = (E\varepsilon_1, \dots, E\varepsilon_n)^\top = (0, \dots, 0)^\top$  a rozptylovou matici  $\sigma^2\mathbb{I}$ .

Pak platí, že

- ❑ odhad parametru  $\mathbf{a} \in \mathbb{R}^p$  metodou nejmenších čtverců je **nestranný** a jeho **rozptyl** je  $\sigma^2(\mathbb{F}^\top\mathbb{F})^{-1}$ ;
- ❑ jsou-li navíc  $(y_i, \varepsilon_i)^\top$ , pro  $i = 1, \dots, n$  nezávislé a stejně rozdělené (*i.i.d.*), pak je  $\hat{\mathbf{a}}$  **konzistentní odhad** vektoru  $\mathbf{a}$ ;
- ❑ platí-li navíc  $\varepsilon_i \sim N(0, \sigma^2)$  pak odhady parametrů  $a_1, \dots, a_p$  mají také normální rozdělení a platí, že  $\hat{\mathbf{a}} \sim N_p(\mathbf{a}, \sigma^2(\mathbb{F}^\top\mathbb{F})^{-1})$ ;

Gauss-Markovská věta říká, že odhad  $\hat{\mathbf{a}}$  je **nejlepší, nestranný, lineární odhad** vektoru parametrů  $\mathbf{a} \in \mathbb{R}^p$  (tzv. BLUE – Best Linear Unbiased Estimate)

## Parametricky $\Rightarrow$ Semiparametrický postup

**Parametre**, ktoré sa nachádzajú v modeli nemajú priamy vzťah na tvar neznámej křivky a taktiež **nemajú intuitívnu interpretáciu**, jako tomu bylo v případě parametrických modelov.

- ❑ **SPLINY - po částech (lokálně) parametrické vyhlazování;**  
*(neznáma křivka je pořád definovaná pomocí parametrů, ale parametre nedefinují přímo tvar dané křivky)*
- ❑ **Vhlazování je proto mnohem flexibilnější a adaptivnější;**  
*(kromě samotných neznámých parametrů jsou ale potřebné dodatečné parametry – tzv. uzly a tiež množina tzv. bázických funkcii, tzv. splinová báze)*
- ❑ **uzly definují podintervaly definičního oboru křivky;**  
*(důležitá je pak otázka, jak uzly správně volit; v podintervalech jsou části křivky definované různě, ale celková křivka má hezké, předem dané vlastnosti)*

# Lokální vyhlazování pomocí Splinů

## Definice: Spline

Nechť  $\xi_1 < \xi_2 < \dots < \xi_k$  je posloupnost vnitřních uzlů z definičního oboru  $\mathcal{D} = [\xi_0, \xi_{k+1}]$ . Pak splinem řádu  $\ell \in \mathbb{N}$  nazveme libovolnou funkci  $f$  takovou, která je v každém intervalu  $[\xi_j, \xi_{j+1}]$ , pro  $j = 0, \dots, k$  polynomem stupně  $\ell$  a která má v celém definičním oboru  $\mathcal{D} = \cup_{j=0}^k [\xi_j, \xi_{j+1}]$  spojitě derivace (jednostranné derivace v krajních bodech) až do řádu  $(\ell - 1)$  (včetně).

# Lokální vyhlazování pomocí Splinů

## Definice: Spline

Nechť  $\xi_1 < \xi_2 < \dots < \xi_k$  je posloupnost vnitřních uzlů z definičního oboru  $\mathcal{D} = [\xi_0, \xi_{k+1}]$ . Pak splinem řádu  $\ell \in \mathbb{N}$  nazveme libovolnou funkci  $f$  takovou, která je v každém intervalu  $[\xi_j, \xi_{j+1}]$ , pro  $j = 0, \dots, k$  polynomem stupně  $\ell$  a která má v celém definičním oboru  $\mathcal{D} = \cup_{j=0}^k [\xi_j, \xi_{j+1}]$  spojitě derivace (jednostranné derivace v krajních bodech) až do řádu  $(\ell - 1)$  (včetně).

## Příklad

Uvažujte interval  $(0, 1)$  jako definiční obor  $\mathcal{D}$ . Definujte posloupnost uzlů  $0 < \xi_1 < \xi_2 < 1$  a navrhnete spline třetího řádu ( $\ell = 3$ ) na  $\mathcal{D}$  tak, aby splňoval definici.

# Různe splinové bázy

Existuje celá řada různých způsobů, jak definovat splinovou bazu a sestavit spline. Některé metody jsou intuitivní a jednoduché, ale výpočetně náročné pro velké  $n \in \mathbb{N}$ . Jiné jsou poměrně složité a hodně špatně interpretovatelné, ale zase výpočetně stabilnější.

## ❑ Truncated Splines

- ❑ jednoduché, intuitivně, jednoduché na odvození;
- ❑ výpočetně nestabilné hlavně pro velké  $n \in \mathbb{N}$ ;

## ❑ B-Splines

- ❑ výpočetně stabilné a jednoduché pro invertování  $\mathbb{F}$ ;
- ❑ pro obecný stupeň  $\ell \in \mathbb{N}$  nelze jednoduše vyjádřit (napr. De Boor - rekurze);

## ❑ Ortogonálně spliny

- ❑ výpočetně velmi jednoduché, okamžitá invertibilita, numerická stabilita;
- ❑ netriviálně na vytvoření, náročné na interpretáciu;

# Různé splinové bázy

Existuje celá řada různých způsobů, jak definovat splinovou bazu a sestavit spline. Některé metody jsou intuitivní a jednoduché, ale výpočetně náročné pro velké  $n \in \mathbb{N}$ . Jiné jsou poměrně složité a hodně špatně interpretovatelné, ale zase výpočetně stabilnější.

## ❑ Truncated Splines

- ❑ jednoduché, intuitivně, jednoduché na odvození;
- ❑ výpočetně nestabilné hlavně pro velké  $n \in \mathbb{N}$ ;

## ❑ B-Splines

- ❑ výpočetně stabilné a jednoduché pro invertování  $\mathbb{F}$ ;
- ❑ pro obecný stupeň  $\ell \in \mathbb{N}$  nelze jednoduše vyjádřit (např. De Boor - rekurze);

## ❑ Ortogonálně spliny

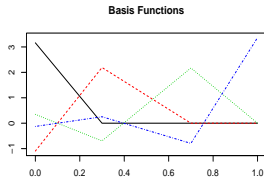
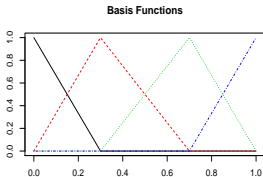
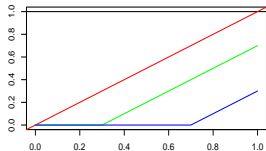
- ❑ výpočetně velmi jednoduché, okamžitá invertibilita, numerická stabilita;
- ❑ netriviálně na vytvoření, náročné na interpretaci;

## ❑ Mnoho jiných ...

- ❑ Box spliny, M-Spliny, T-Spliny;
- ❑ ... ..

# Porovnání: T-spliny, B-spliny, O-spliny

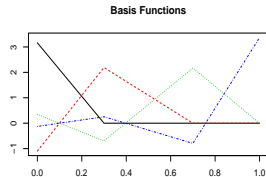
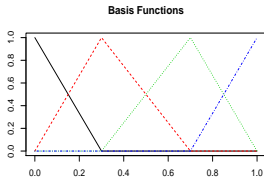
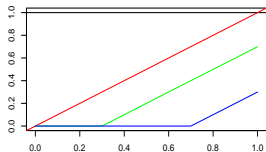
□ Uzly:  $\xi_1 = 0.3, \xi_2 = 0.7$ ; Stupeň  $\ell = 1$  (lineární spliny (báze));



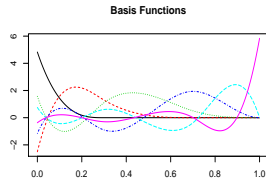
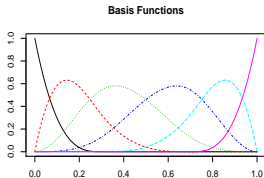
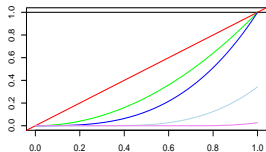


# Porovnání: T-spliny, B-spliny, O-spliny

□ Uzly:  $\xi_1 = 0.3, \xi_2 = 0.7$ ; Stupeň  $\ell = 1$  (lineární spliny (báze));



□ Uzly:  $\xi_1 = 0.3, \xi_2 = 0.7$ ; Stupeň  $\ell = 3$  (kubické spliny (báze));



# Truncated splines – "zkosené" spliny

## Príklad

- máme uzly  $\xi_1 < \xi_2 < \xi_3$  uvnitř  $\mathcal{D}$ , a nechť  $\ell = 1$  (lineární spliny);  
 Pak příslušné funkce  $f_1(x), \dots, f_p(x)$  mají následující tvar:

$$\begin{aligned}
 f_1(x) &= 1, & f_2(x) &= x, & f_3(x) &= (x - \xi_1)_+, \\
 & & & & f_4(x) &= (x - \xi_2)_+, \\
 & & & & f_5(x) &= (x - \xi_3)_+
 \end{aligned}$$

- pro stejné uzly  $\xi_1 < \xi_2 < \xi_3$  uvnitř  $\mathcal{D}$ , a řád  $\ell = 3$  (kubické spliny);  
 Příslušné funkce  $f_1(x), \dots, f_p(x)$  mají tvar:

$$\begin{aligned}
 f_1(x) &= 1, & f_2(x) &= x, & f_5(x) &= (x - \xi_1)_+^3, \\
 f_3(x) &= x^2, & f_4(x) &= x^3, & f_6(x) &= (x - \xi_2)_+^3, \\
 & & & & f_7(x) &= (x - \xi_3)_+^3
 \end{aligned}$$

Pro splinové bázy obecně platí, že  $p = \ell + k + 1$ , kde  $\ell \in \mathbb{N}$  je stupeň splinové bázy, resp. řád splinu a  $k \in \mathbb{N} \cup \{0\}$  je počet vnitřních uzlů  $\xi_1 < \dots < \xi_k \in \mathcal{D}$ .

## Semiparametrický $\Rightarrow$ Neparametrický postup

Bez parametrů - žádný konkrétní tvar neznáme křivky, ani zápis neznámej křivky pomoci lineárnej kombinace funkci bázy.

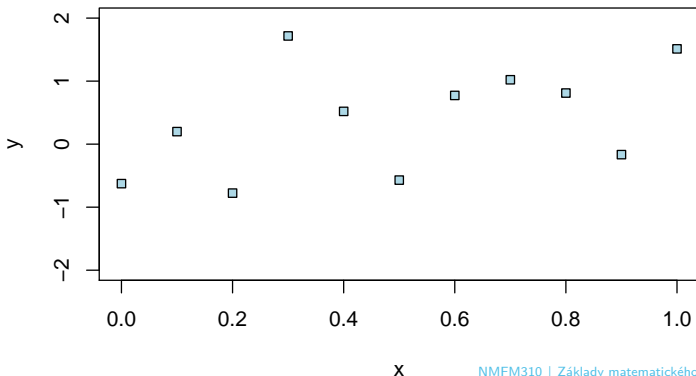
- ❑ **Klouzavé průměry (KP)** – lokální neparametrický postup vyhlazování; (*schopný zachytit trend – t.j. směr a míru pohybu pozorovaných hodnot*)
- ❑ nevystupují tady žádné neznáme parametre, které bychom odhadovali; (*výsledná vyhlazovací křivka je pouze funkci pozorovaných dat*)
- ❑ jedná se o lokální vyrovnávání pozorovaných dat; (*v daném bodě  $x \in \mathcal{D}$  závisí vyrovnání pouze od několika sousedů*)
- ❑ formálně zapsáno, pro pozorování  $y_i$  získáme hodnotu  $\hat{y}_i$  jako

$$\hat{y}_i = \sum_{j=-r}^r w_j y_{i+j} \quad \text{pro } i = r + 1, \dots, n - r;$$

- ❑ pro váhy  $w_j$  platí, že  $\sum_{j=-r}^r w_j = 1$ ; (*číslo  $r \in \mathbb{N}$  se nazývá délka klouzavého průměru*)

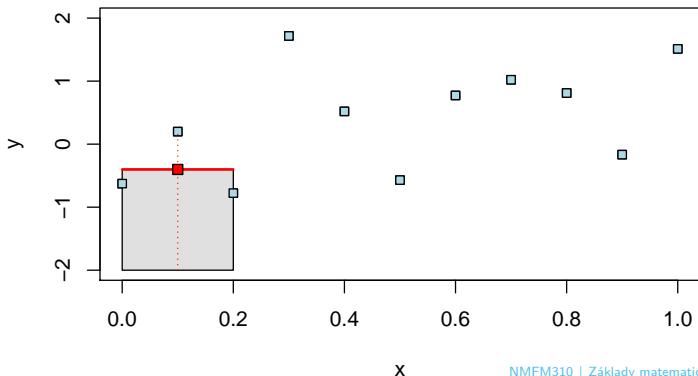
## Obyčejné (aritmetické) klouzavé průměry (KP)

- vyhlazené hodnoty jsou definovány jako  $\hat{y}_i = \sum_{j=-r}^r w_j y_{i+j}$ , ale pouze pro data  $y_i$  kde  $i = r + 1, \dots, n - r$ ;
- pro váhy  $w_j$  platí, že  $w_j = \frac{1}{2r+1}$  a tiež  $\sum_{j=-r}^r w_j = 1$ ;
- pro  $r = 1$  dostaneme  $\hat{y}_i$  pomocí  $y_i$  a dvou vedlejších sousedů;



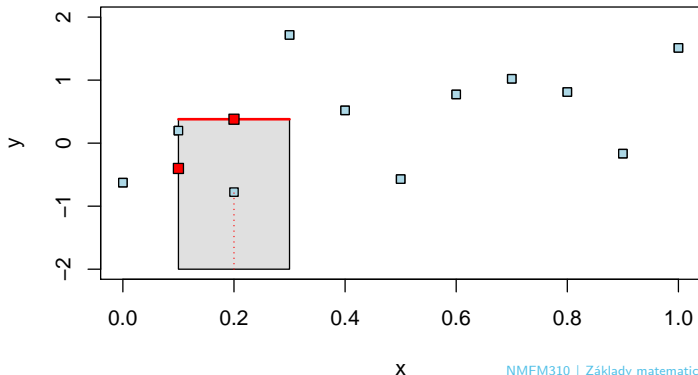
## Obyčejné (aritmetické) klouzavé průměry (KP)

- vyhlazené hodnoty jsou definovány jako  $\hat{y}_i = \sum_{j=-r}^r w_j y_{i+j}$ , ale pouze pro data  $y_i$  kde  $i = r + 1, \dots, n - r$ ;
- pro váhy  $w_j$  platí, že  $w_j = \frac{1}{2r+1}$  a tiež  $\sum_{j=-r}^r w_j = 1$ ;
- pro  $r = 1$  dostaneme  $\hat{y}_i$  pomocí  $y_i$  a dvou vedlejších sousedů;



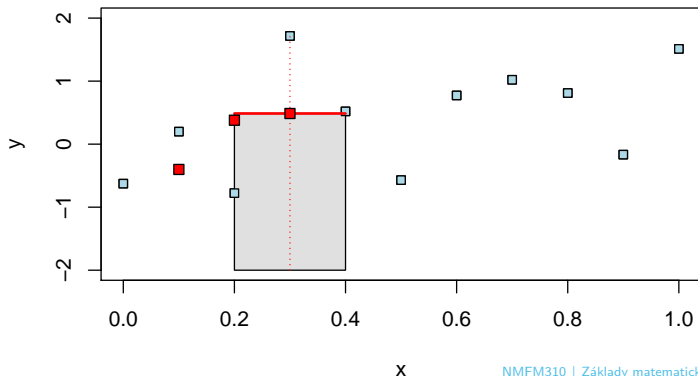
## Obyčejné (aritmetické) klouzavé průměry (KP)

- vyhlazené hodnoty jsou definovány jako  $\hat{y}_i = \sum_{j=-r}^r w_j y_{i+j}$ , ale pouze pro data  $y_i$  kde  $i = r + 1, \dots, n - r$ ;
- pro váhy  $w_j$  platí, že  $w_j = \frac{1}{2r+1}$  a tiež  $\sum_{j=-r}^r w_j = 1$ ;
- pro  $r = 1$  dostaneme  $\hat{y}_i$  pomocí  $y_i$  a dvou vedlejších sousedů;



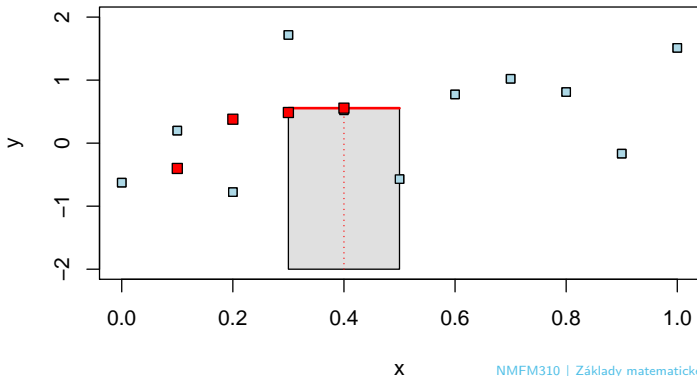
## Obyčejné (aritmetické) klouzavé průměry (KP)

- vyhlazené hodnoty jsou definovány jako  $\hat{y}_i = \sum_{j=-r}^r w_j y_{i+j}$ , ale pouze pro data  $y_i$  kde  $i = r + 1, \dots, n - r$ ;
- pro váhy  $w_j$  platí, že  $w_j = \frac{1}{2r+1}$  a tiež  $\sum_{j=-r}^r w_j = 1$ ;
- pro  $r = 1$  dostaneme  $\hat{y}_i$  pomocí  $y_i$  a dvou vedlejších sousedů;



## Obyčejné (aritmetické) klouzavé průměry (KP)

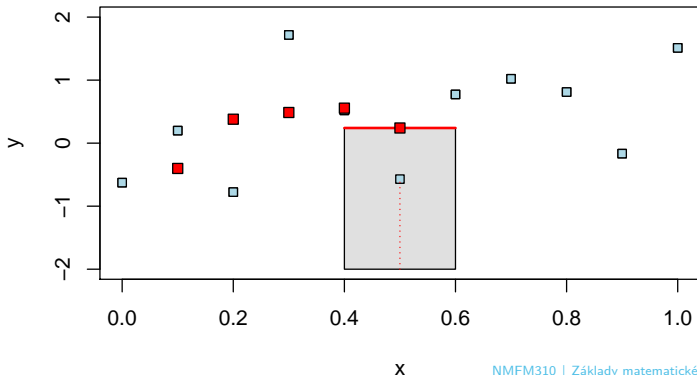
- vyhlazené hodnoty jsou definovány jako  $\hat{y}_i = \sum_{j=-r}^r w_j y_{i+j}$ , ale pouze pro data  $y_i$  kde  $i = r + 1, \dots, n - r$ ;
- pro váhy  $w_j$  platí, že  $w_j = \frac{1}{2r+1}$  a tiež  $\sum_{j=-r}^r w_j = 1$ ;
- pro  $r = 1$  dostaneme  $\hat{y}_i$  pomocí  $y_i$  a dvou vedlejších sousedů;





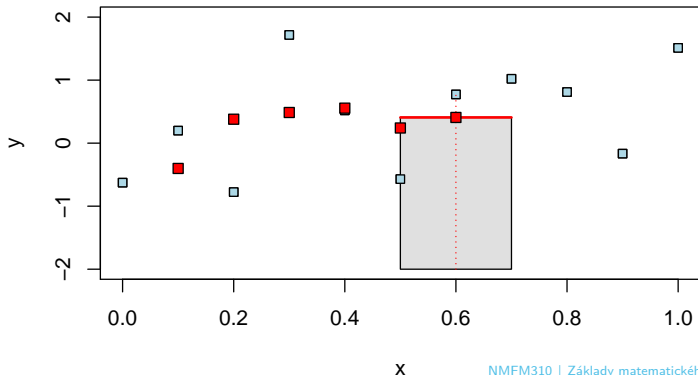
## Obyčejné (aritmetické) klouzavé průměry (KP)

- vyhlazené hodnoty jsou definovány jako  $\hat{y}_i = \sum_{j=-r}^r w_j y_{i+j}$ , ale pouze pro data  $y_i$  kde  $i = r + 1, \dots, n - r$ ;
- pro váhy  $w_j$  platí, že  $w_j = \frac{1}{2r+1}$  a tiež  $\sum_{j=-r}^r w_j = 1$ ;
- pro  $r = 1$  dostaneme  $\hat{y}_i$  pomocí  $y_i$  a dvou vedlejších sousedů;



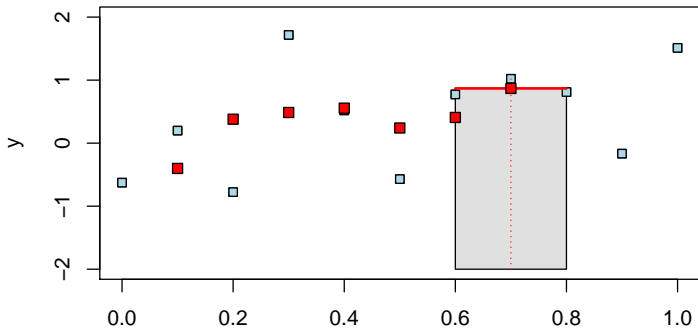
## Obyčejné (aritmetické) klouzavé průměry (KP)

- vyhlazené hodnoty jsou definovány jako  $\hat{y}_i = \sum_{j=-r}^r w_j y_{i+j}$ , ale pouze pro data  $y_i$  kde  $i = r + 1, \dots, n - r$ ;
- pro váhy  $w_j$  platí, že  $w_j = \frac{1}{2r+1}$  a tiež  $\sum_{j=-r}^r w_j = 1$ ;
- pro  $r = 1$  dostaneme  $\hat{y}_i$  pomocí  $y_i$  a dvou vedlejších sousedů;



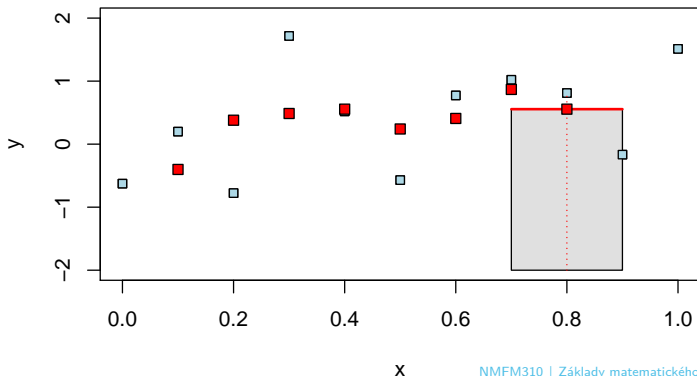
## Obyčejné (aritmetické) klouzavé průměry (KP)

- vyhlazené hodnoty jsou definovány jako  $\hat{y}_i = \sum_{j=-r}^r w_j y_{i+j}$ , ale pouze pro data  $y_i$  kde  $i = r + 1, \dots, n - r$ ;
- pro váhy  $w_j$  platí, že  $w_j = \frac{1}{2r+1}$  a tiež  $\sum_{j=-r}^r w_j = 1$ ;
- pro  $r = 1$  dostaneme  $\hat{y}_i$  pomocí  $y_i$  a dvou vedlejších sousedů;



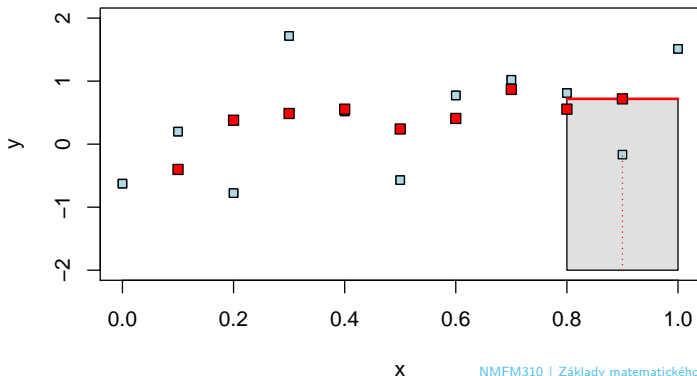
## Obyčejné (aritmetické) klouzavé průměry (KP)

- vyhlazené hodnoty jsou definovány jako  $\hat{y}_i = \sum_{j=-r}^r w_j y_{i+j}$ , ale pouze pro data  $y_i$  kde  $i = r + 1, \dots, n - r$ ;
- pro váhy  $w_j$  platí, že  $w_j = \frac{1}{2r+1}$  a tiež  $\sum_{j=-r}^r w_j = 1$ ;
- pro  $r = 1$  dostaneme  $\hat{y}_i$  pomocí  $y_i$  a dvou vedlejších sousedů;



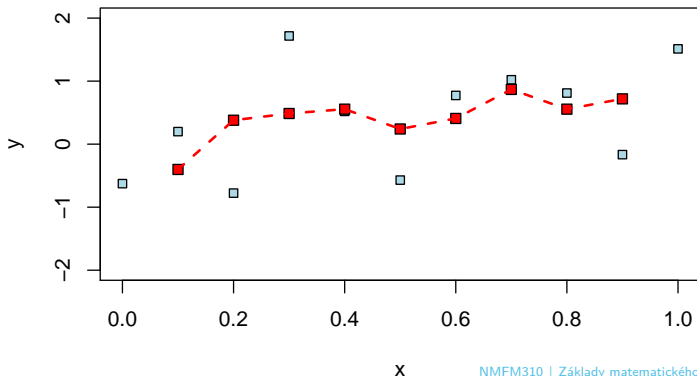
## Obyčejné (aritmetické) klouzavé průměry (KP)

- vyhlazené hodnoty jsou definovány jako  $\hat{y}_i = \sum_{j=-r}^r w_j y_{i+j}$ , ale pouze pro data  $y_i$  kde  $i = r + 1, \dots, n - r$ ;
- pro váhy  $w_j$  platí, že  $w_j = \frac{1}{2r+1}$  a tiež  $\sum_{j=-r}^r w_j = 1$ ;
- pro  $r = 1$  dostaneme  $\hat{y}_i$  pomocí  $y_i$  a dvou vedlejších sousedů;



## Obyčejné (aritmetické) klouzavé průměry (KP)

- vyhlazené hodnoty jsou definovány jako  $\hat{y}_i = \sum_{j=-r}^r w_j y_{i+j}$ , ale pouze pro data  $y_i$  kde  $i = r + 1, \dots, n - r$ ;
- pro váhy  $w_j$  platí, že  $w_j = \frac{1}{2r+1}$  a tiež  $\sum_{j=-r}^r w_j = 1$ ;
- pro  $r = 1$  dostaneme  $\hat{y}_i$  pomocí  $y_i$  a dvou vedlejších sousedů;



# Jak definovat váhy $w_j$ pro KP?

- ❑ **Stejné váhy pro všechny  $j = -r, \dots, r$ ;**
  - ❑ jednoduchost,  $w_j = \frac{1}{2r+1}$  a vyrovnaná hodnota  $\hat{y}_i$  je pouze obyčejný aritmetický průměr z  $2r + 1$  okolních hodnot, navíc nezáporné váhy;
  - ❑ není vyrovnaný počáteční a koncový úsek dat (potřebná data nejsou k dispozici) a obecně se nejedná o hladkou křivku v  $\mathcal{D}$ ;

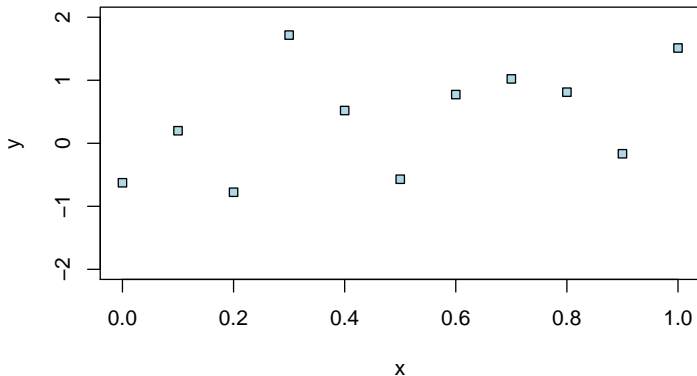
# Jak definovat váhy $w_j$ pro KP?

- ❑ **Stejné váhy pro všechny  $j = -r, \dots, r$ ;**
  - ❑ jednoduchost,  $w_j = \frac{1}{2r+1}$  a vyrovnaná hodnota  $\hat{y}_i$  je pouze obyčejný aritmetický průměr z  $2r + 1$  okolních hodnot, navíc nezáporné váhy;
  - ❑ není vyrovnán počáteční a koncový úsek dat (potřebná data nejsou k dispozici) a obecně se nejedná o hladkou křivku v  $\mathcal{D}$ ;
- ❑ **Obecně různé váhy pro  $w_j, j = -r, \dots, r$ ;**
  - ❑ při správné volbě lze dosáhnout hladkou křivku v celém definičním oboru  $\mathcal{D}$  a lze vyrovnat aj počáteční a koncové hodnoty;
  - ❑ nutnost dodatečných výpočtů, případně nějakých dodatečných parametrů;



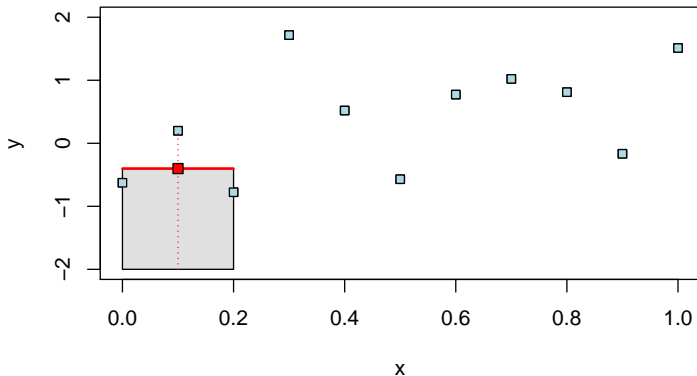
## Obyčejné aritmetické klouzavé průměry

- Při určitém zobecnění pro libovolné  $x \in \mathcal{D}$  nedostaneme nutně hladkou křivku, ale pouze po částech konstantné "vyhlazení".



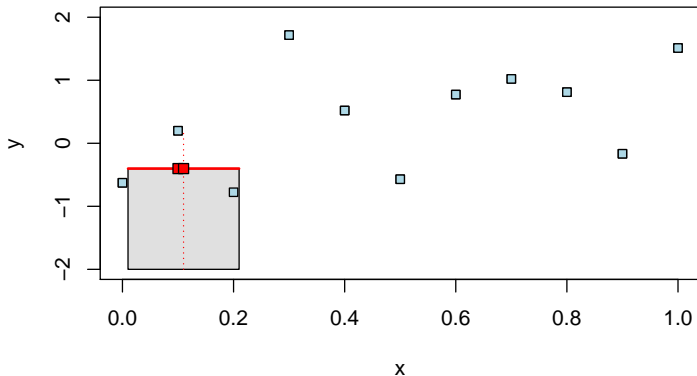
# Obyčejné aritmetické klouzavé průměry

- Při určitém zobecnění pro libovolné  $x \in \mathcal{D}$  nedostaneme nutně hladkou křivku, ale pouze po částech konstantné "vyhlazení".



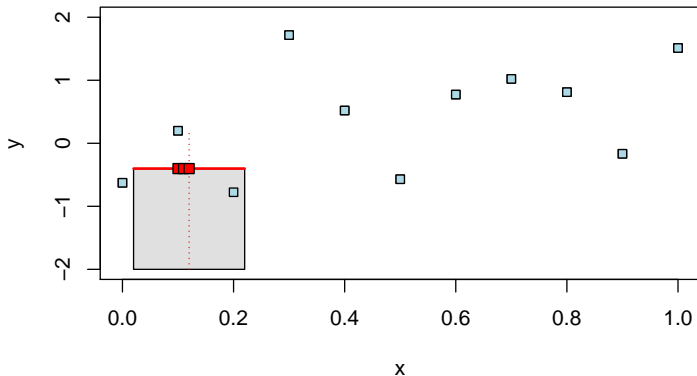
## Obyčejné aritmetické klouzavé průměry

- Při určitém zobecnění pro libovolné  $x \in \mathcal{D}$  nedostaneme nutně hladkou křivku, ale pouze po částech konstantné "vyhlazení".



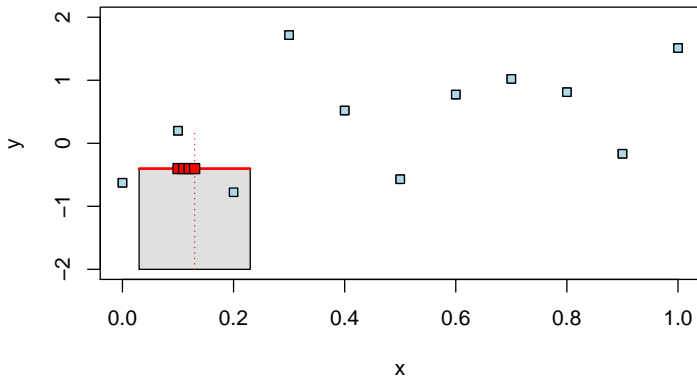
# Obyčejné aritmetické klouzavé průměry

- Při určitém zobecnění pro libovolné  $x \in \mathcal{D}$  nedostaneme nutně hladkou křivku, ale pouze po částech konstantné "vyhlazení".



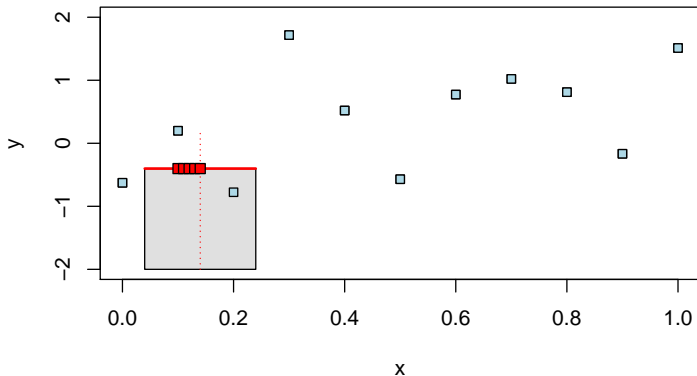
# Obyčejné aritmetické klouzavé průměry

- Při určitém zobecnění pro libovolné  $x \in \mathcal{D}$  nedostaneme nutně hladkou křivku, ale pouze po částech konstantné "vyhlazení".



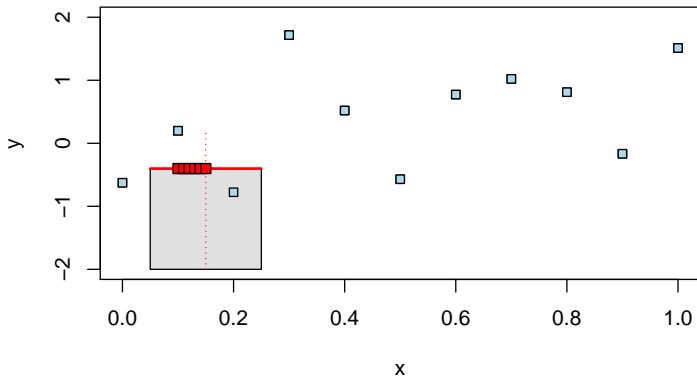
# Obyčejné aritmetické klouzavé průměry

- Při určitém zobecnění pro libovolné  $x \in \mathcal{D}$  nedostaneme nutně hladkou křivku, ale pouze po částech konstantné "vyhlazení".



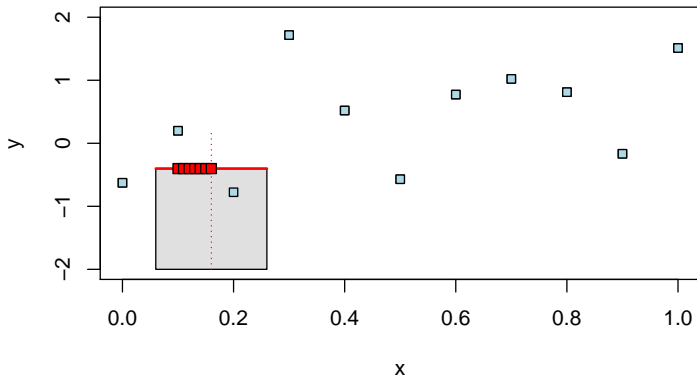
# Obyčejné aritmetické klouzavé průměry

- Při určitém zobecnění pro libovolné  $x \in \mathcal{D}$  nedostaneme nutně hladkou křivku, ale pouze po částech konstantné "vyhlazení".



# Obyčejné aritmetické klouzavé průměry

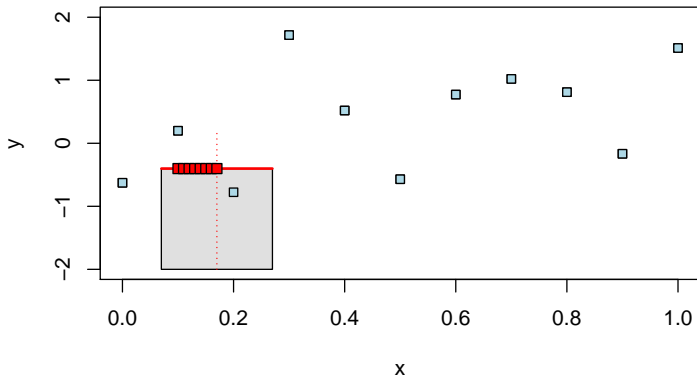
- Při určitém zobecnění pro libovolné  $x \in \mathcal{D}$  nedostaneme nutně hladkou křivku, ale pouze po částech konstantné "vyhlazení".





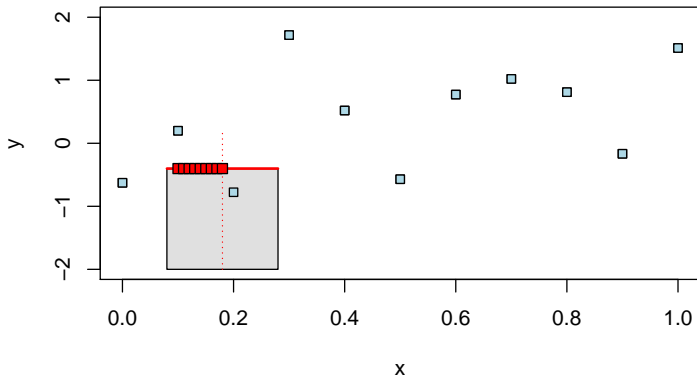
# Obyčejné aritmetické klouzavé průměry

- Při určitém zobecnění pro libovolné  $x \in \mathcal{D}$  nedostaneme nutně hladkou křivku, ale pouze po částech konstantné "vyhlazení".



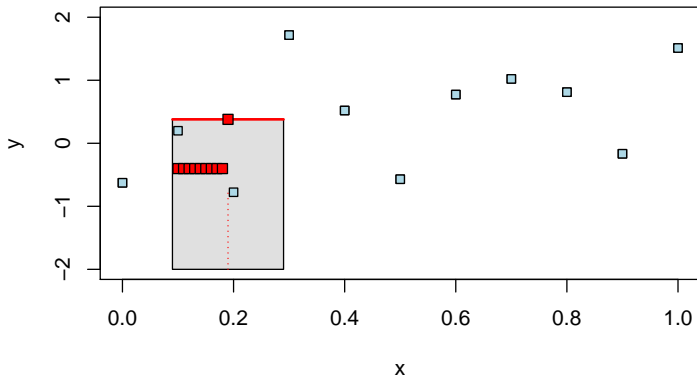
# Obyčejné aritmetické klouzavé průměry

- Při určitém zobecnění pro libovolné  $x \in \mathcal{D}$  nedostaneme nutně hladkou křivku, ale pouze po částech konstantné "vyhlazení".



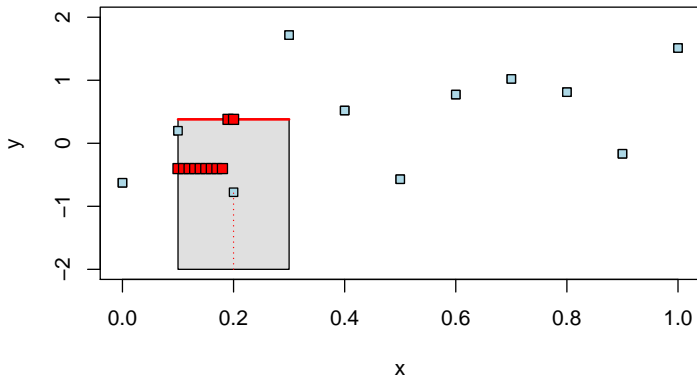
# Obyčejné aritmetické klouzavé průměry

- Při určitém zobecnění pro libovolné  $x \in \mathcal{D}$  nedostaneme nutně hladkou křivku, ale pouze po částech konstantné "vyhlazení".



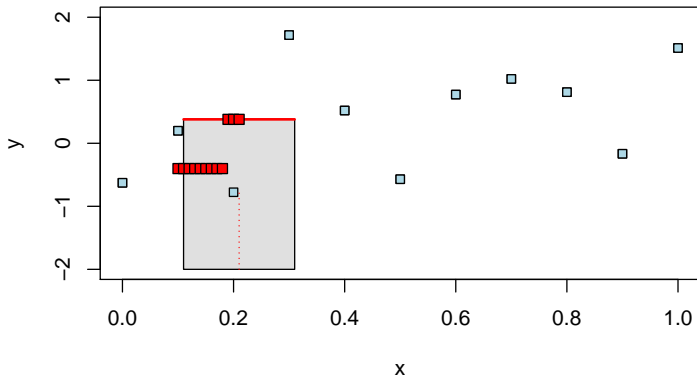
# Obyčejné aritmetické klouzavé průměry

- Při určitém zobecnění pro libovolné  $x \in \mathcal{D}$  nedostaneme nutně hladkou křivku, ale pouze po částech konstantné "vyhlazení".



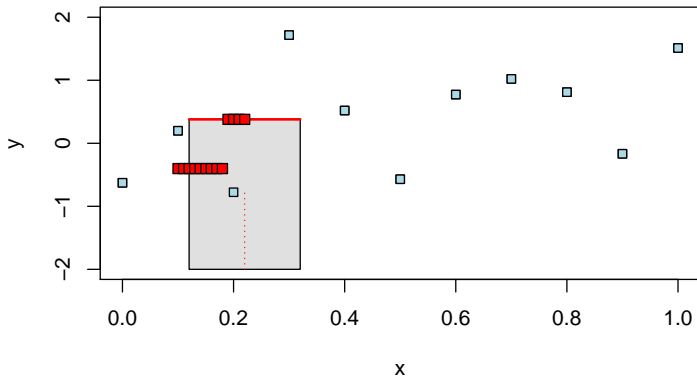
# Obyčejné aritmetické klouzavé průměry

- Při určitém zobecnění pro libovolné  $x \in \mathcal{D}$  nedostaneme nutně hladkou křivku, ale pouze po částech konstantné "vyhlazení".



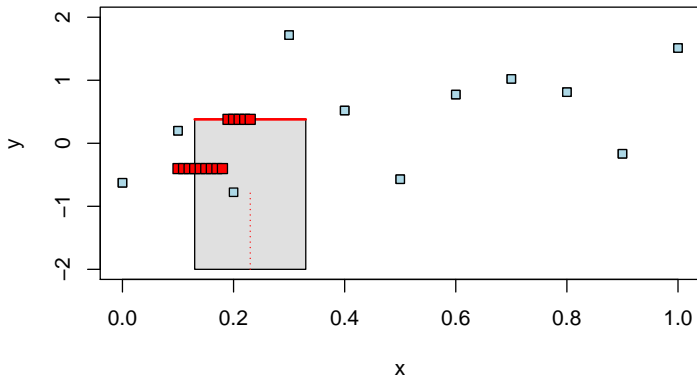
# Obyčejné aritmetické klouzavé průměry

- Při určitém zobecnění pro libovolné  $x \in \mathcal{D}$  nedostaneme nutně hladkou křivku, ale pouze po částech konstantné "vyhlazení".



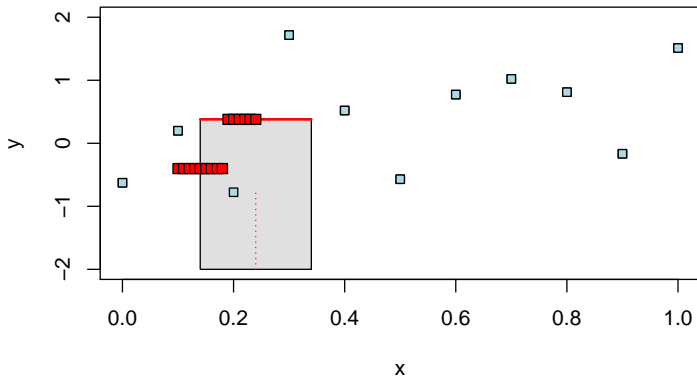
# Obyčejné aritmetické klouzavé průměry

- Při určitém zobecnění pro libovolné  $x \in \mathcal{D}$  nedostaneme nutně hladkou křivku, ale pouze po částech konstantné "vyhlazení".



# Obyčejné aritmetické klouzavé průměry

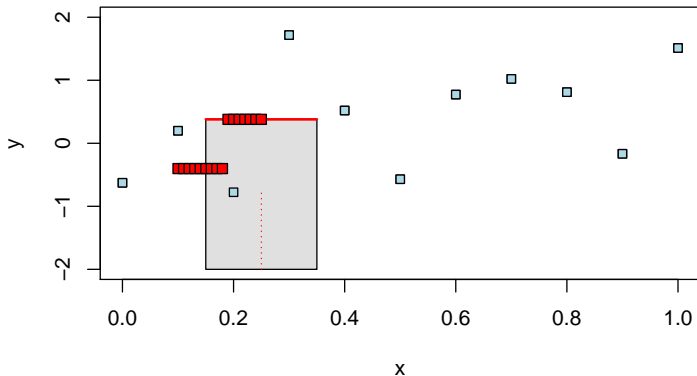
- Při určitém zobecnění pro libovolné  $x \in \mathcal{D}$  nedostaneme nutně hladkou křivku, ale pouze po částech konstantné "vyhlazení".





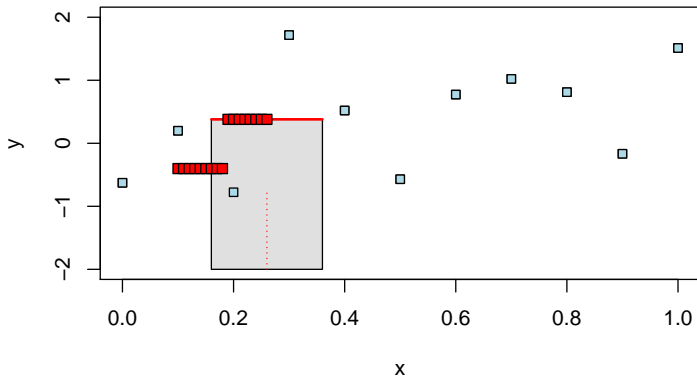
# Obyčejné aritmetické klouzavé průměry

- Při určitém zobecnění pro libovolné  $x \in \mathcal{D}$  nedostaneme nutně hladkou křivku, ale pouze po částech konstantné "vyhlazení".



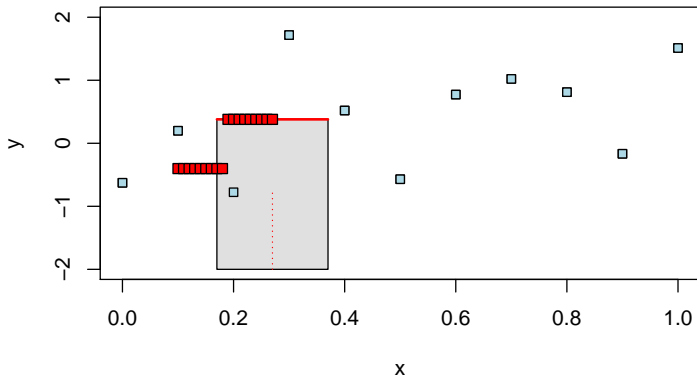
# Obyčejné aritmetické klouzavé průměry

- Při určitém zobecnění pro libovolné  $x \in \mathcal{D}$  nedostaneme nutně hladkou křivku, ale pouze po částech konstantné "vyhlazení".



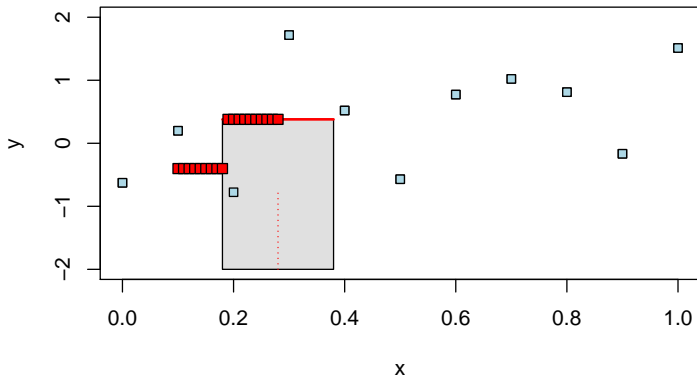
# Obyčejné aritmetické klouzavé průměry

- Při určitém zobecnění pro libovolné  $x \in \mathcal{D}$  nedostaneme nutně hladkou křivku, ale pouze po částech konstantné "vyhlazení".



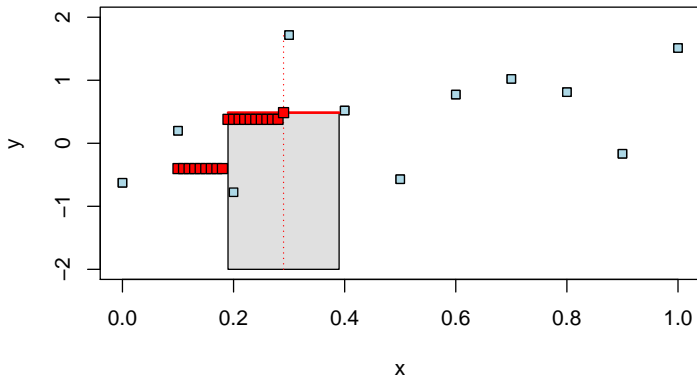
# Obyčejné aritmetické klouzavé průměry

- Při určitém zobecnění pro libovolné  $x \in \mathcal{D}$  nedostaneme nutně hladkou křivku, ale pouze po částech konstantné "vyhlazení".



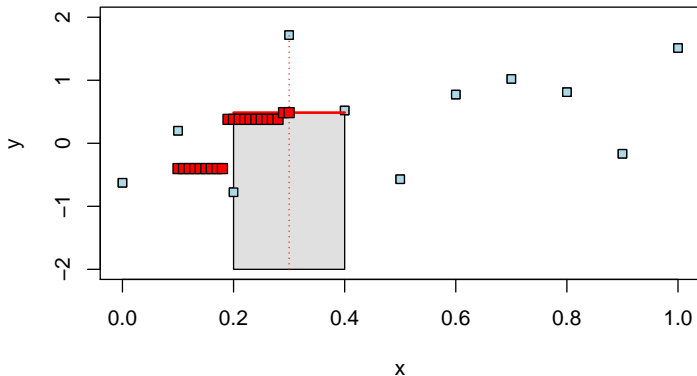
# Obyčejné aritmetické klouzavé průměry

- Při určitém zobecnění pro libovolné  $x \in \mathcal{D}$  nedostaneme nutně hladkou křivku, ale pouze po částech konstantné "vyhlazení".



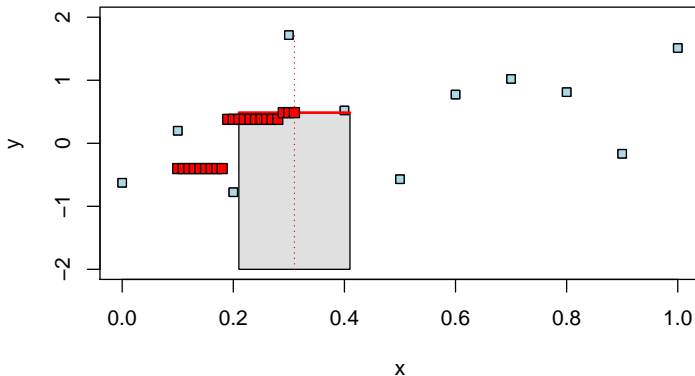
# Obyčejné aritmetické klouzavé průměry

- Při určitém zobecnění pro libovolné  $x \in \mathcal{D}$  nedostaneme nutně hladkou křivku, ale pouze po částech konstantné "vyhlazení".



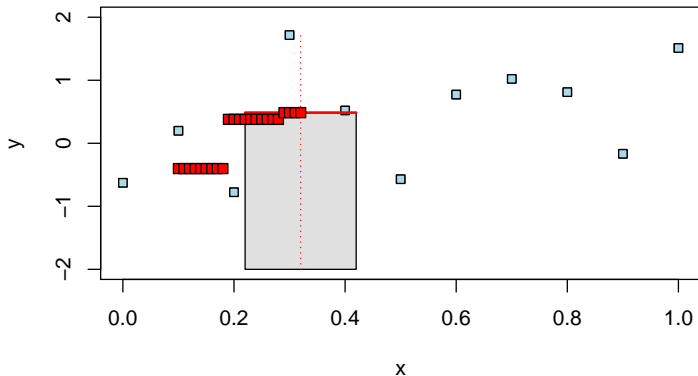
# Obyčejné aritmetické klouzavé průměry

- Při určitém zobecnění pro libovolné  $x \in \mathcal{D}$  nedostaneme nutně hladkou křivku, ale pouze po částech konstantné "vyhlazení".



# Obyčejné aritmetické klouzavé průměry

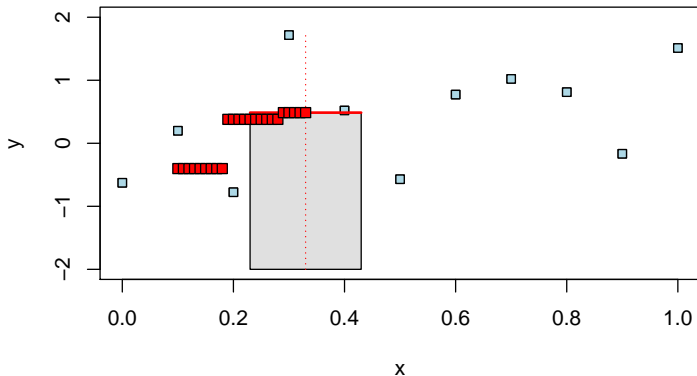
- Pri určitém zobecnění pro libovolné  $x \in \mathcal{D}$  nedostaneme nutně hladkou křivku, ale pouze po částech konstantné "vyhlazení".





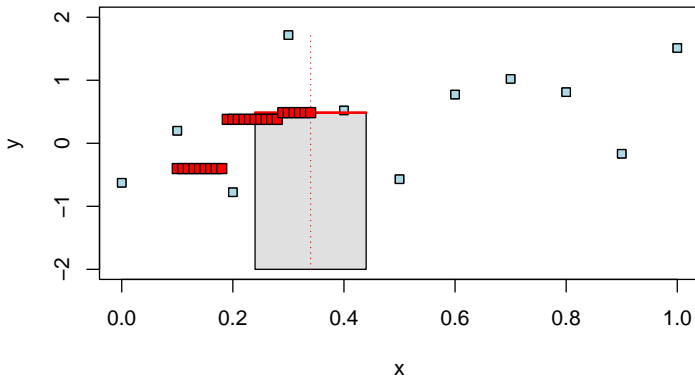
# Obyčejné aritmetické klouzavé průměry

- Pri určitém zobrazení pro libovolné  $x \in \mathcal{D}$  nedostaneme nutně hladkou křivku, ale pouze po částech konstantné "vyhlazení".



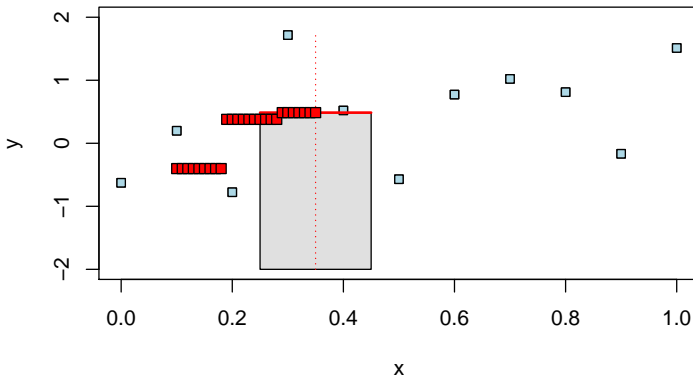
# Obyčejné aritmetické klouzavé průměry

- Pri určitém zobecnění pro libovolné  $x \in \mathcal{D}$  nedostaneme nutně hladkou křivku, ale pouze po částech konstantné "vyhlazení".



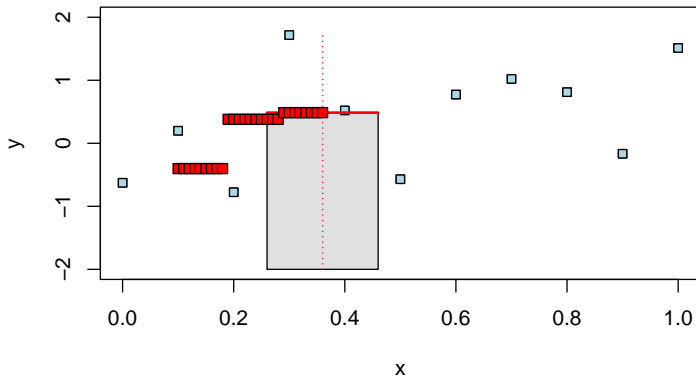
# Obyčejné aritmetické klouzavé průměry

- Pri určitém zobecnění pro libovolné  $x \in \mathcal{D}$  nedostaneme nutně hladkou křivku, ale pouze po částech konstantné "vyhlazení".



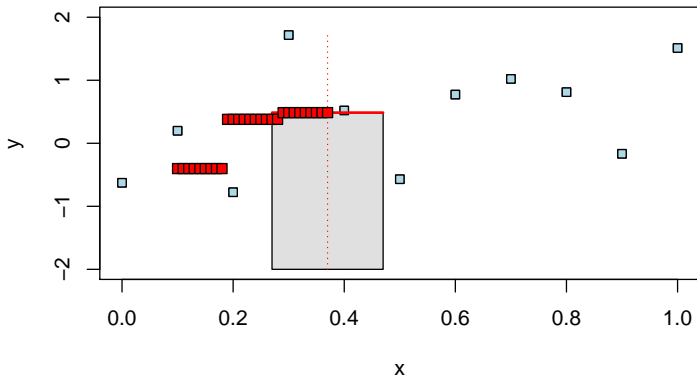
# Obyčejné aritmetické klouzavé průměry

- Při určitém zobecnění pro libovolné  $x \in \mathcal{D}$  nedostaneme nutně hladkou křivku, ale pouze po částech konstantné "vyhlazení".



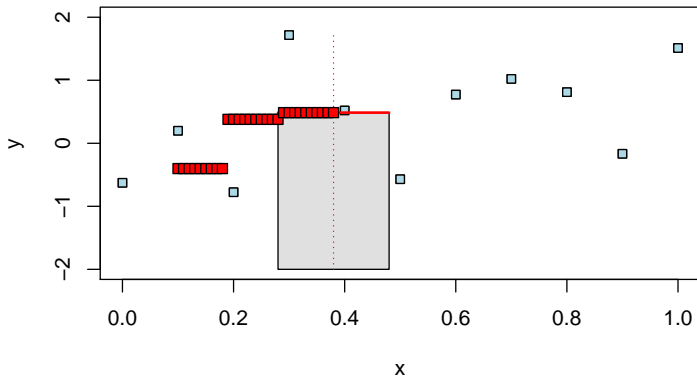
# Obyčejné aritmetické klouzavé průměry

- Při určitém zobecnění pro libovolné  $x \in \mathcal{D}$  nedostaneme nutně hladkou křivku, ale pouze po částech konstantné "vyhlazení".



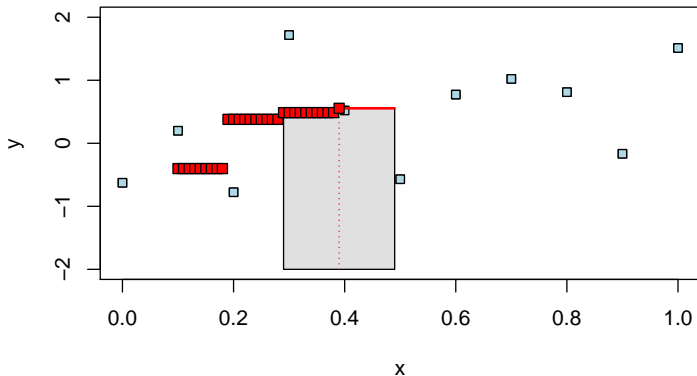
## Obyčejné aritmetické klouzavé průměry

- Při určitém zobecnění pro libovolné  $x \in \mathcal{D}$  nedostaneme nutně hladkou křivku, ale pouze po částech konstantné "vyhlazení".



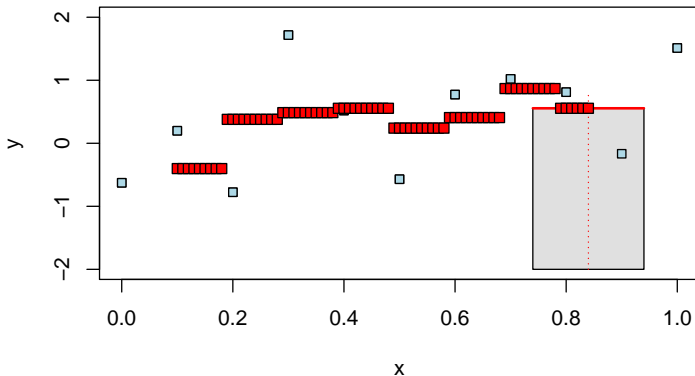
# Obyčejné aritmetické klouzavé průměry

- Pri určitém zobecnění pro libovolné  $x \in \mathcal{D}$  nedostaneme nutně hladkou křivku, ale pouze po částech konstantné "vyhlazení".



# Obyčejné aritmetické klouzavé průměry

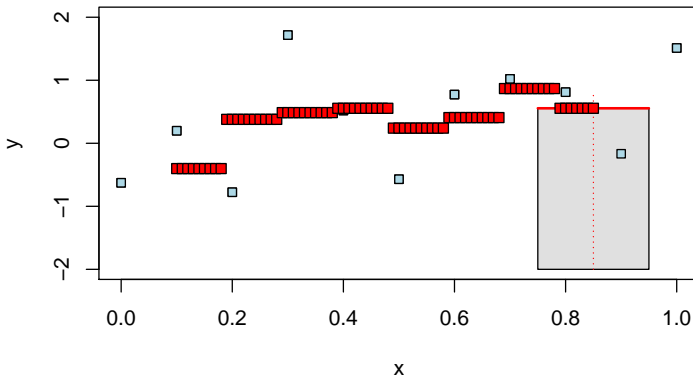
- Při určitém zobecnění pro libovolné  $x \in \mathcal{D}$  nedostaneme nutně hladkou křivku, ale pouze po částech konstantné "vyhlazení".





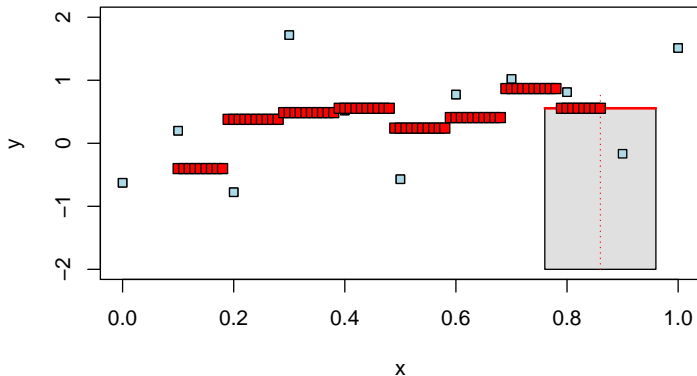
# Obyčejné aritmetické klouzavé průměry

- Při určitém zobecnění pro libovolné  $x \in \mathcal{D}$  nedostaneme nutně hladkou křivku, ale pouze po částech konstantné "vyhlazení".



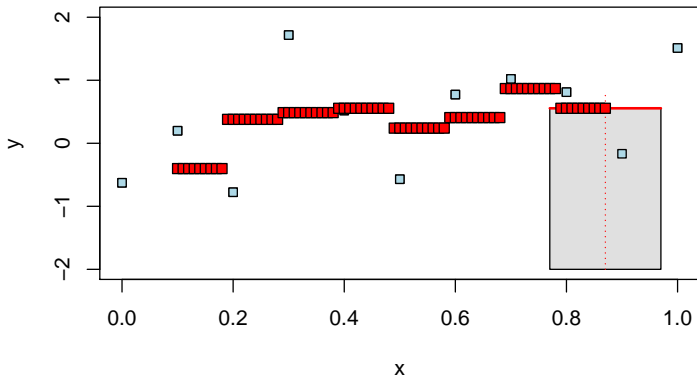
# Obyčejné aritmetické klouzavé průměry

- Pri určitém zobecnění pro libovolné  $x \in \mathcal{D}$  nedostaneme nutně hladkou křivku, ale pouze po částech konstantné "vyhlazení".



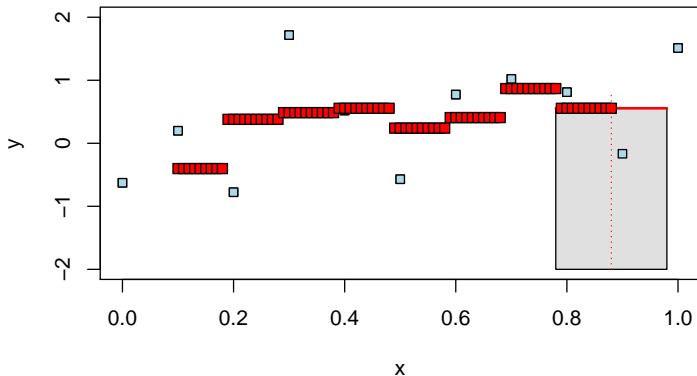
# Obyčejné aritmetické klouzavé průměry

- Pri určitém zobecnění pro libovolné  $x \in \mathcal{D}$  nedostaneme nutně hladkou křivku, ale pouze po částech konstantné "vyhlazení".



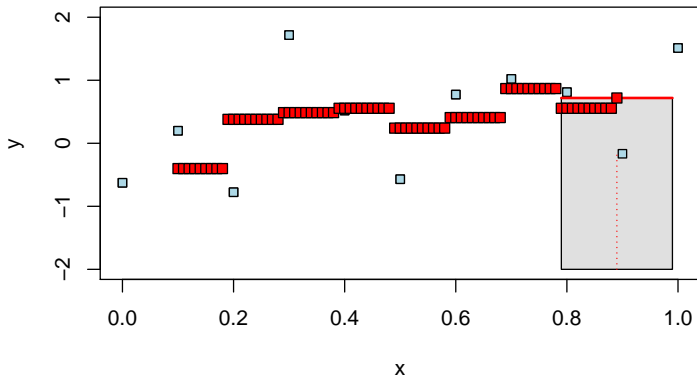
# Obyčejné aritmetické klouzavé průměry

- Pri určitém zobecnění pro libovolné  $x \in \mathcal{D}$  nedostaneme nutně hladkou křivku, ale pouze po částech konstantné "vyhlazení".



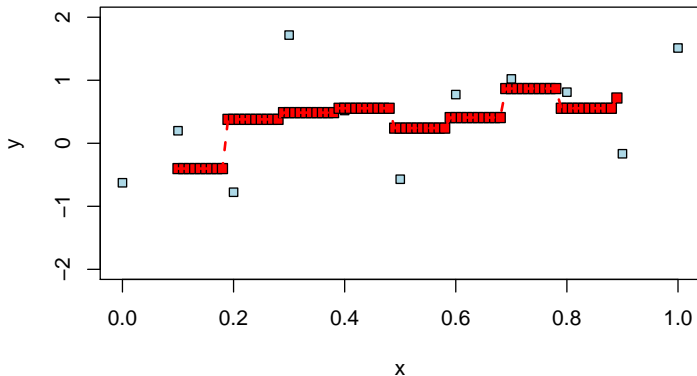
# Obyčejné aritmetické klouzavé průměry

- Pri určitém zobecnění pro libovolné  $x \in \mathcal{D}$  nedostaneme nutně hladkou křivku, ale pouze po částech konstantné "vyhlazení".



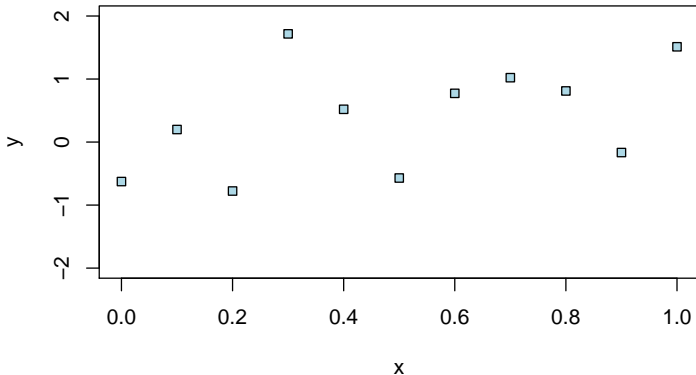
# Obyčejné aritmetické klouzavé průměry

- Pri určitém zobecnění pro libovolné  $x \in \mathcal{D}$  nedostaneme nutně hladkou křivku, ale pouze po částech konstantné "vyhlazení".



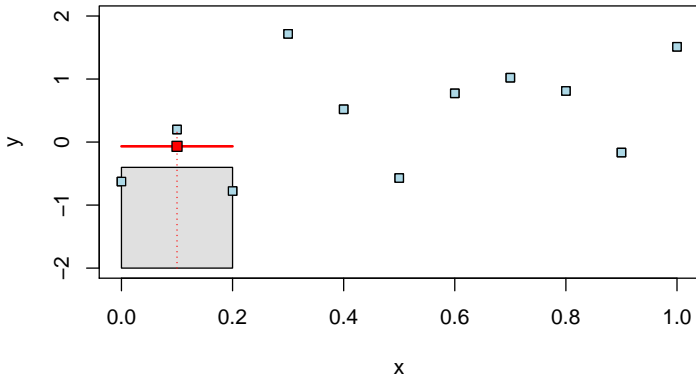
## Vážené klouzavé průměry

- Avšak pro vhodnou volbu vyhlazovacích vah je možné získat určitým zobecněním hladkou křivku v celém definičním oboru  $\mathcal{D}$ .



## Vážené klouzavé průměry

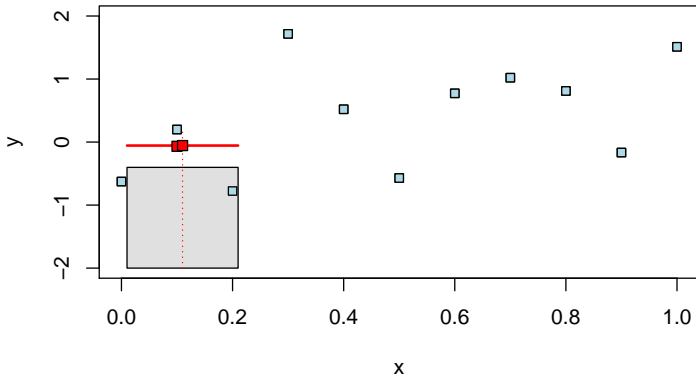
- Avšak pro vhodnú volbu vyhlazovacích váh je možné získať určitým zobecněním hladkú křivku v celém definičním oboru  $\mathcal{D}$ .





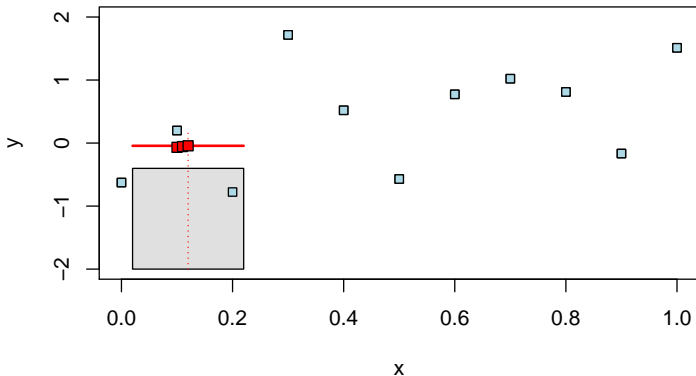
## Vážené klouzavé průměry

- Avšak pro vhodnú volbu vyhlazovacích váh je možné získať určitým zobecněním hladkú křivku v celém definičním oboru  $\mathcal{D}$ .



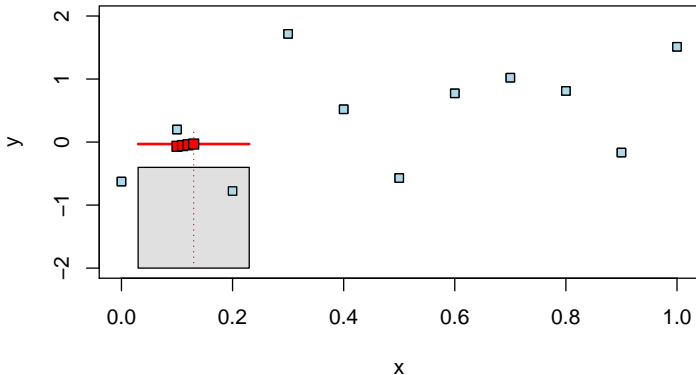
## Vážené klouzavé průměry

- Avšak pro vhodnú volbu vyhlazovacích váh je možné získať určitým zobecněním hladkú křivku v celém definičním oboru  $\mathcal{D}$ .



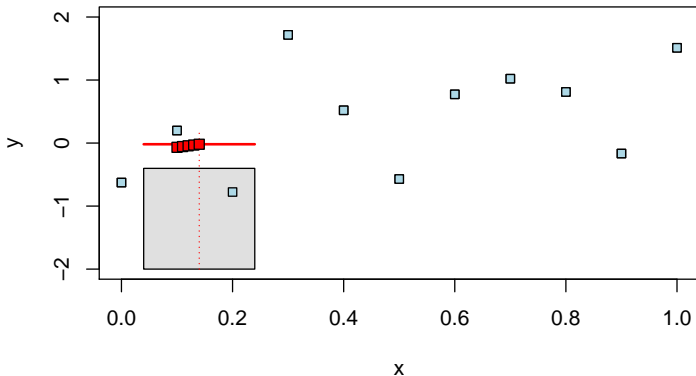
## Vážené klouzavé průměry

- Avšak pro vhodnú volbu vyhlazovacích váh je možné získať určitým zobecněním hladkú křivku v celém definičním oboru  $\mathcal{D}$ .



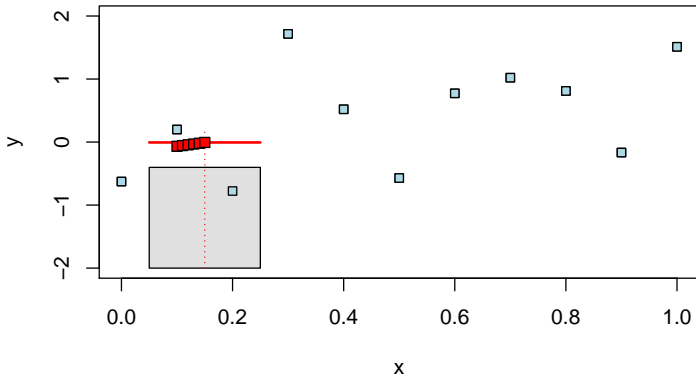
## Vážené klouzavé průměry

- Avšak pro vhodnú volbu vyhlazovacích váh je možné získať určitým zobecněním hladkú křivku v celém definičním oboru  $\mathcal{D}$ .



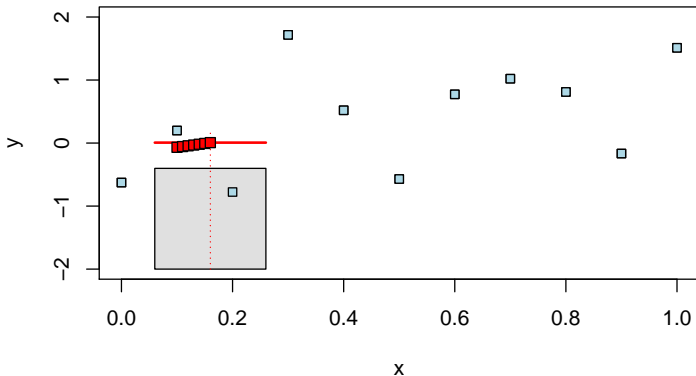
## Vážené klouzavé průměry

- Avšak pro vhodnú volbu vyhlazovacích váh je možné získať určitým zobecněním hladkú křivku v celém definičním oboru  $\mathcal{D}$ .



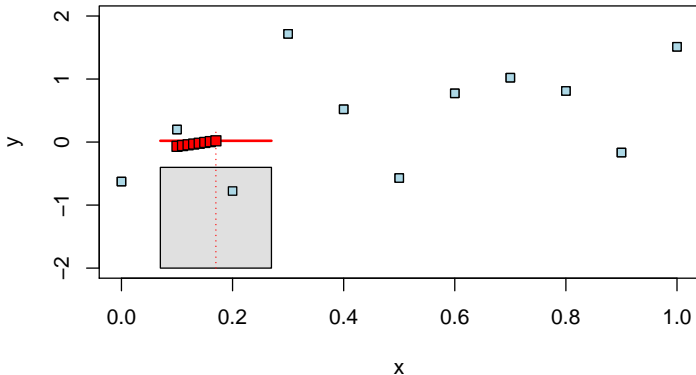
## Vážené klouzavé průměry

- Avšak pro vhodnú volbu vyhlazovacích váh je možné získať určitým zobecněním hladkú křivku v celém definičním oboru  $\mathcal{D}$ .



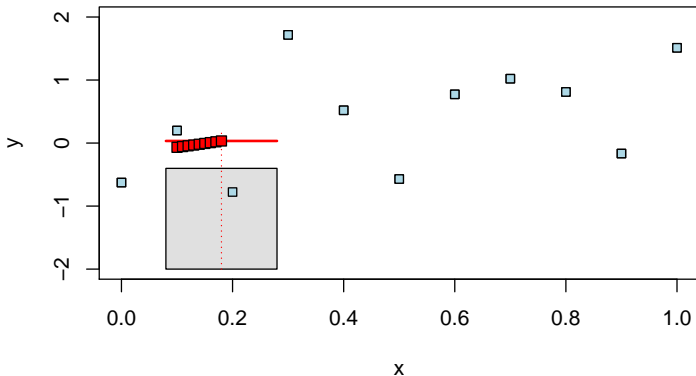
## Vážené klouzavé průměry

- Avšak pro vhodnú volbu vyhlazovacích váh je možné získať určitým zobecněním hladkú křivku v celém definičním oboru  $\mathcal{D}$ .



## Vážené klouzavé průměry

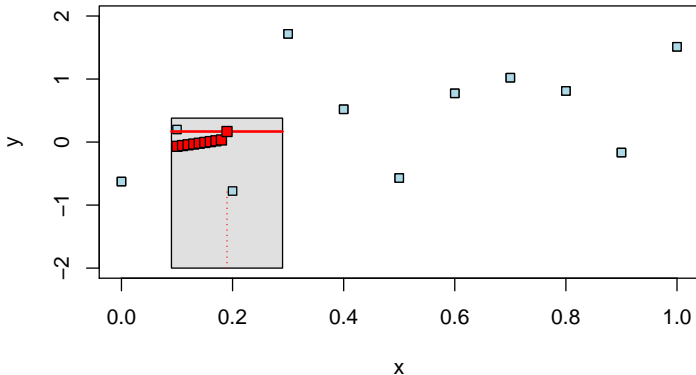
- Avšak pro vhodnú volbu vyhlazovacích váh je možné získať určitým zobecněním hladkú křivku v celém definičním oboru  $\mathcal{D}$ .





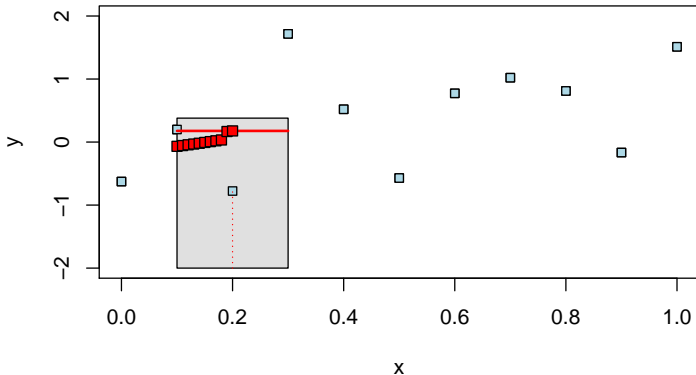
## Vážené klouzavé průměry

- Avšak pro vhodnú volbu vyhlazovacích váh je možné získať určitým zobecněním hladkú křivku v celém definičním oboru  $\mathcal{D}$ .



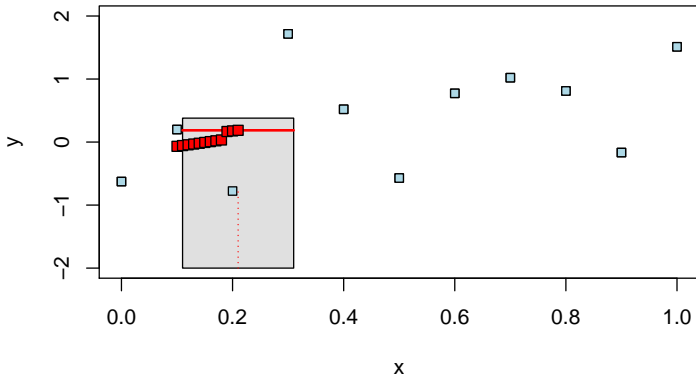
# Vážené klouzavé průměry

- Avšak pro vhodnú volbu vyhlazovacích váh je možné získať určitým zobecněním hladkú křivku v celém definičním oboru  $\mathcal{D}$ .



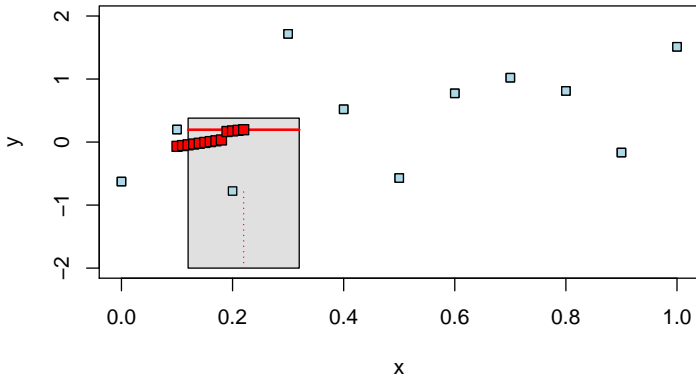
## Vážené klouzavé průměry

- Avšak pro vhodnú volbu vyhlazovacích váh je možné získať určitým zobecněním hladkú křivku v celém definičním oboru  $\mathcal{D}$ .



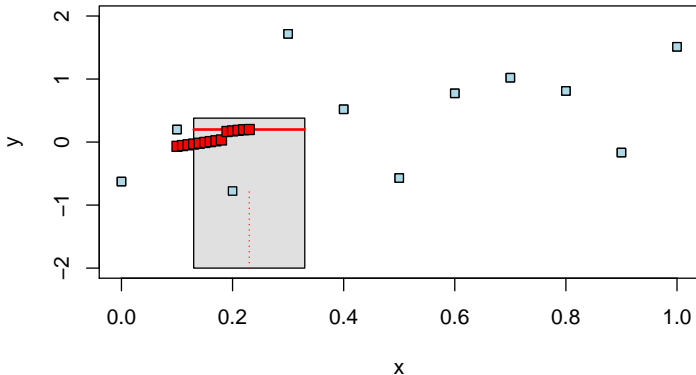
# Vážené klouzavé průměry

- Avšak pro vhodnú volbu vyhlazovacích váh je možné získať určitým zobecněním hladkú křivku v celém definičním oboru  $\mathcal{D}$ .



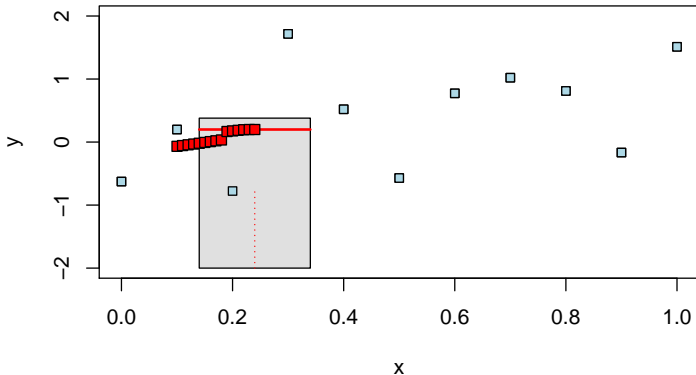
## Vážené klouzavé průměry

- Avšak pro vhodnú volbu vyhlazovacích váh je možné získať určitým zobecněním hladkú křivku v celém definičním oboru  $\mathcal{D}$ .



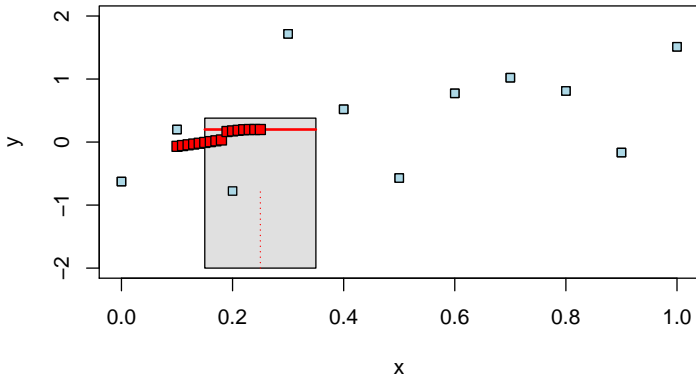
## Vážené klouzavé průměry

- Avšak pro vhodnú volbu vyhlazovacích váh je možné získať určitým zobecněním hladkú křivku v celém definičním oboru  $\mathcal{D}$ .



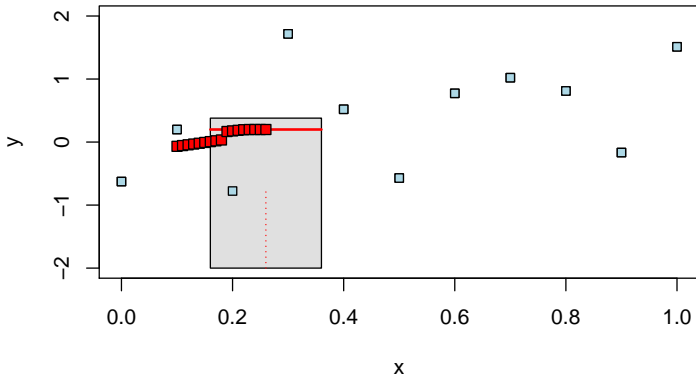
# Vážené klouzavé průměry

- Avšak pro vhodnú volbu vyhlazovacích váh je možné získať určitým zobecněním hladkú křivku v celém definičním oboru  $\mathcal{D}$ .



## Vážené klouzavé průměry

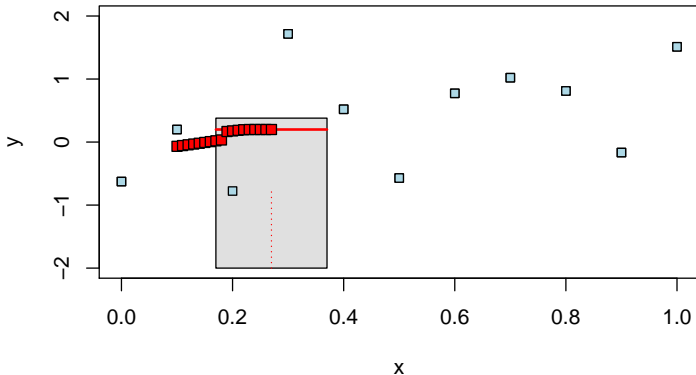
- Avšak pro vhodnú volbu vyhlazovacích váh je možné získať určitým zobecněním hladkú křivku v celém definičním oboru  $\mathcal{D}$ .





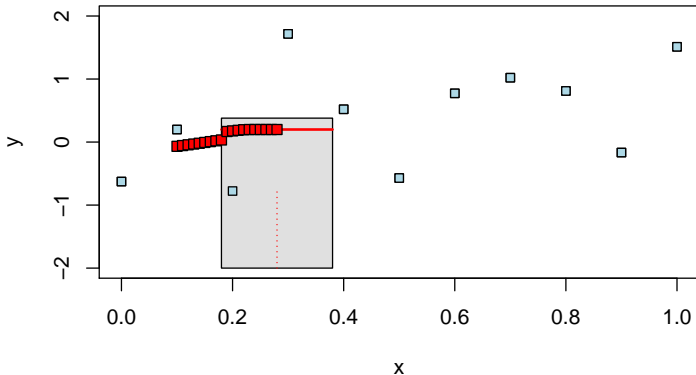
# Vážené klouzavé průměry

- Avšak pro vhodnú volbu vyhlazovacích váh je možné získať určitým zobecněním hladkú křivku v celém definičním oboru  $\mathcal{D}$ .



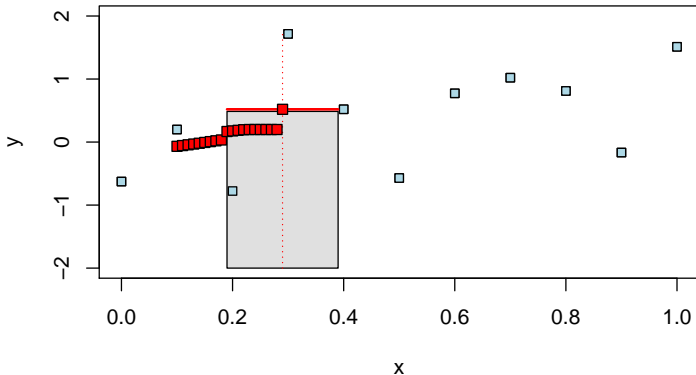
## Vážené klouzavé průměry

- Avšak pro vhodnú volbu vyhlazovacích váh je možné získať určitým zobecněním hladkú křivku v celém definičním oboru  $\mathcal{D}$ .



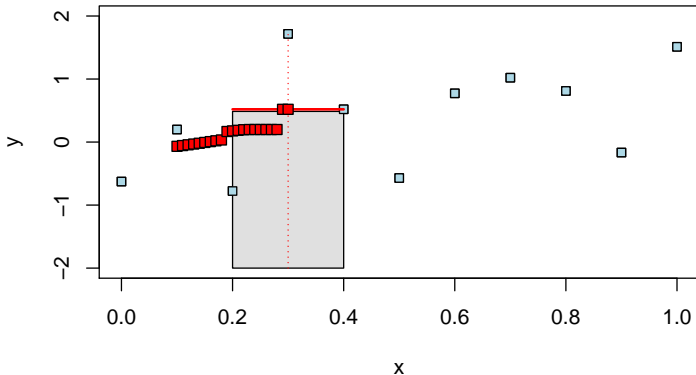
## Vážené klouzavé průměry

- Avšak pro vhodnú volbu vyhlazovacích váh je možné získať určitým zobecněním hladkú křivku v celém definičním oboru  $\mathcal{D}$ .



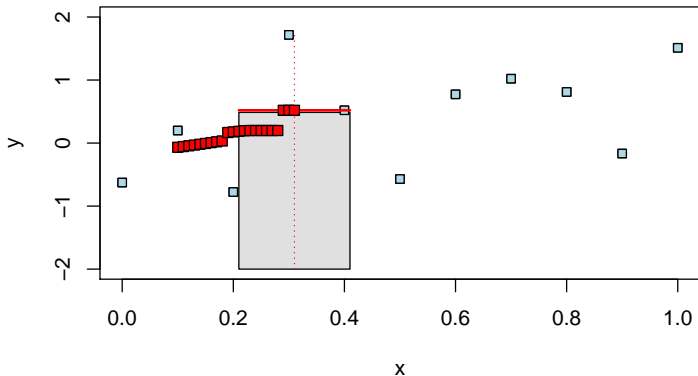
## Vážené klouzavé průměry

- Avšak pro vhodnú volbu vyhlazovacích váh je možné získať určitým zobecněním hladkú křivku v celém definičním oboru  $\mathcal{D}$ .



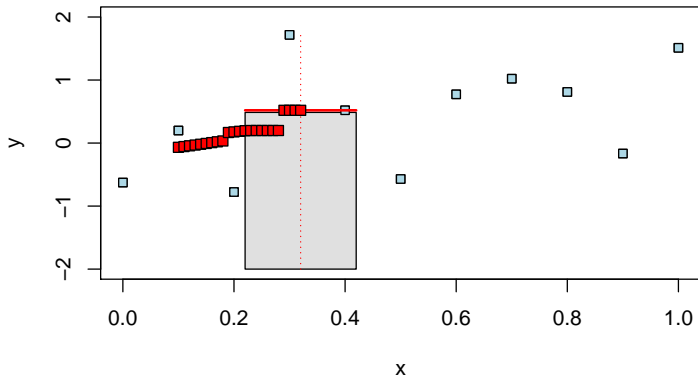
## Vážené klouzavé průměry

- Avšak pro vhodnú volbu vyhlazovacích váh je možné získať určitým zobecněním hladkú křivku v celém definičním oboru  $\mathcal{D}$ .



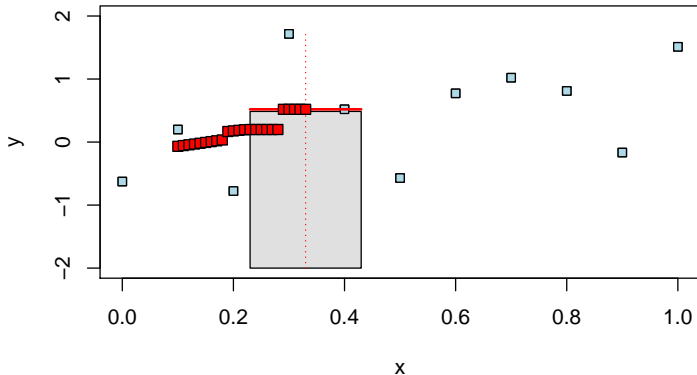
## Vážené klouzavé průměry

- Avšak pro vhodnú volbu vyhlazovacích váh je možné získať určitým zobecněním hladkú křivku v celém definičním oboru  $\mathcal{D}$ .



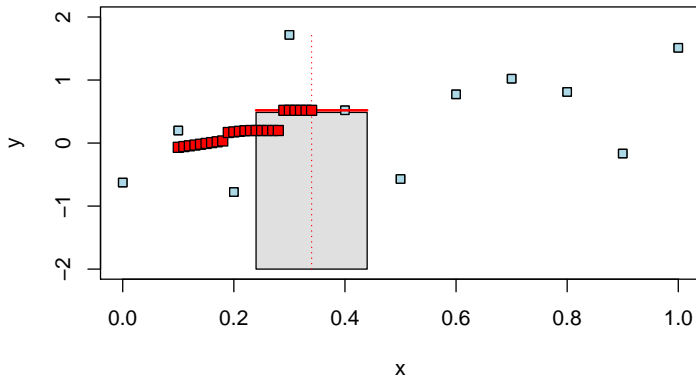
## Vážené klouzavé průměry

- Avšak pro vhodnú volbu vyhlazovacích váh je možné získať určitým zobecněním hladkú křivku v celém definičním oboru  $\mathcal{D}$ .



# Vážené klouzavé průměry

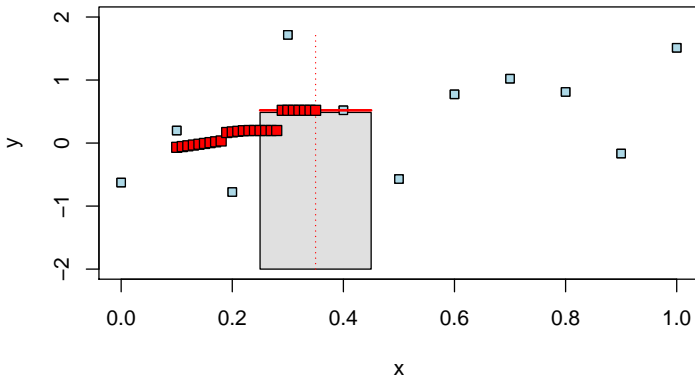
- Avšak pro vhodnú volbu vyhlazovacích váh je možné získať určitým zobecněním hladkú křivku v celém definičním oboru  $\mathcal{D}$ .





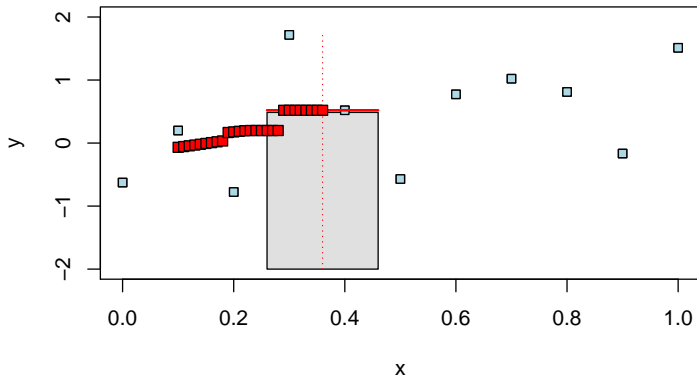
# Vážené klouzavé průměry

- Avšak pro vhodnú volbu vyhlazovacích váh je možné získať určitým zobecněním hladkú křivku v celém definičním oboru  $\mathcal{D}$ .



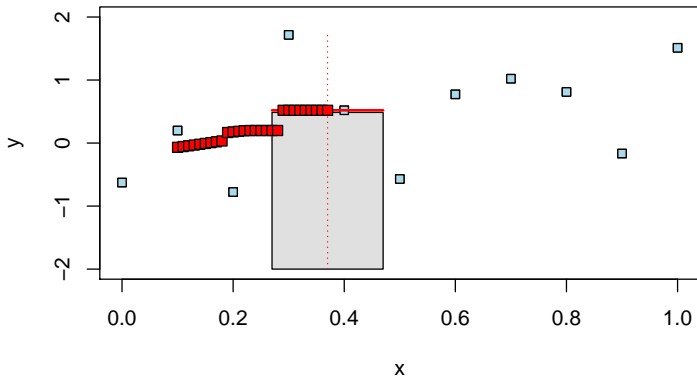
## Vážené klouzavé průměry

- Avšak pro vhodnú volbu vyhlazovacích váh je možné získať určitým zobecněním hladkú křivku v celém definičním oboru  $\mathcal{D}$ .



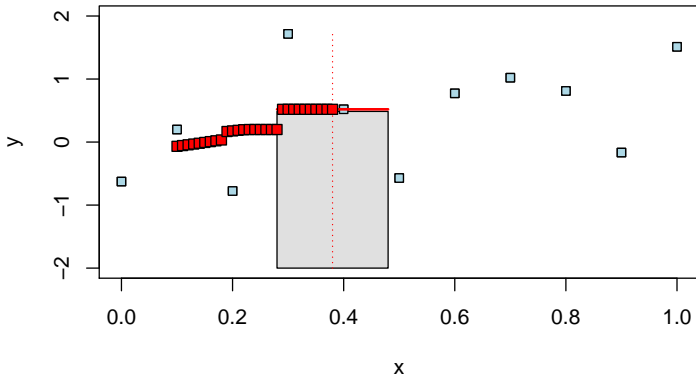
## Vážené klouzavé průměry

- Avšak pro vhodnú volbu vyhlazovacích váh je možné získať určitým zobecněním hladkú křivku v celém definičním oboru  $\mathcal{D}$ .



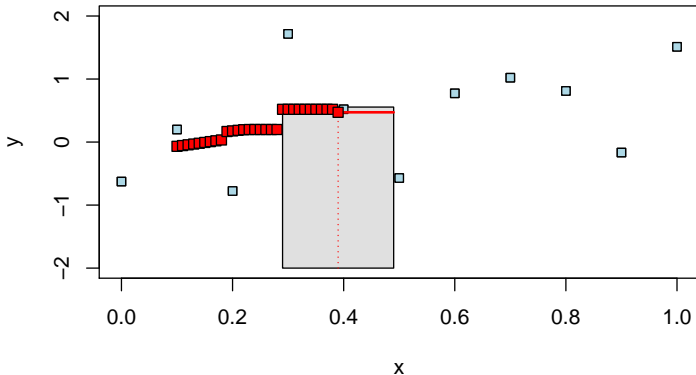
## Vážené klouzavé průměry

- Avšak pro vhodnú volbu vyhlazovacích váh je možné získať určitým zobecněním hladkú křivku v celém definičním oboru  $\mathcal{D}$ .



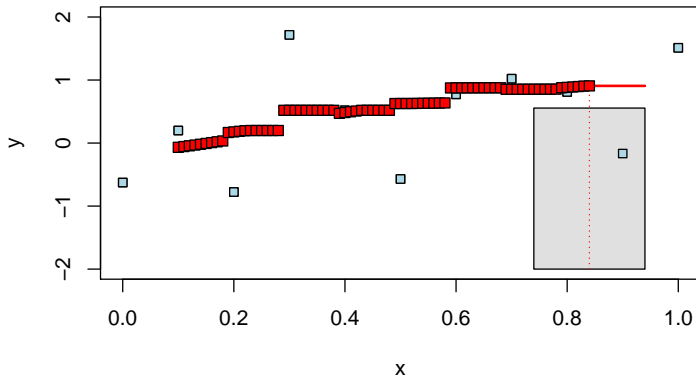
## Vážené klouzavé průměry

- Avšak pro vhodnú volbu vyhlazovacích váh je možné získať určitým zobecněním hladkú křivku v celém definičním oboru  $\mathcal{D}$ .



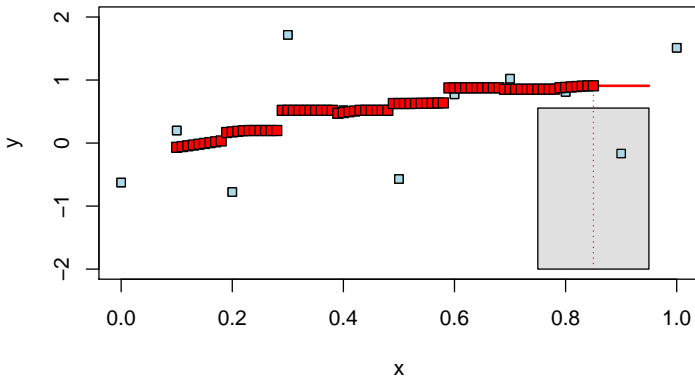
## Vážené klouzavé průměry

- Avšak pro vhodnú volbu vyhlazovacích váh je možné získať určitým zobecněním hladkú křivku v celém definičním oboru  $\mathcal{D}$ .



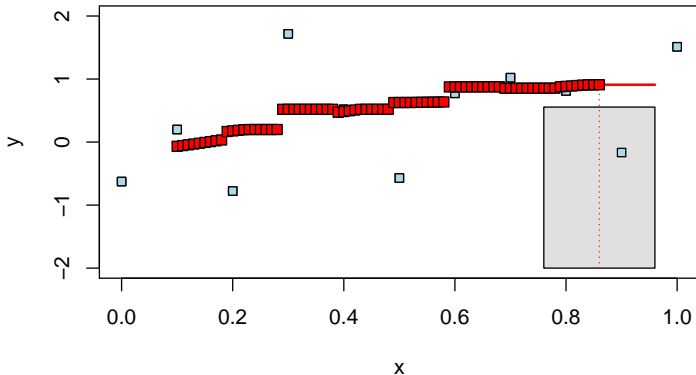
## Vážené klouzavé průměry

- Avšak pro vhodnú volbu vyhlazovacích váh je možné získať určitým zobecněním hladkú křivku v celém definičním oboru  $\mathcal{D}$ .



## Vážené klouzavé průměry

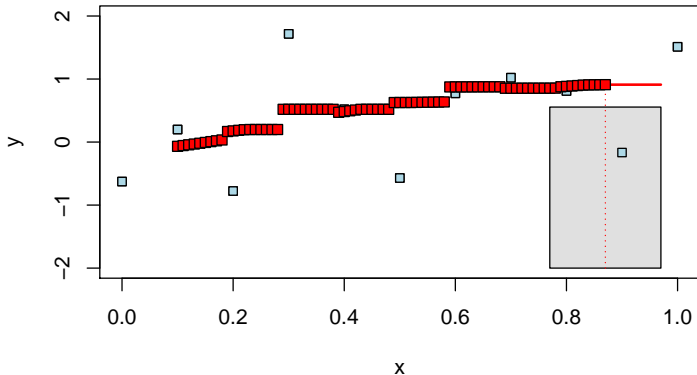
- Avšak pro vhodnú volbu vyhlazovacích váh je možné získať určitým zobecněním hladkú křivku v celém definičním oboru  $\mathcal{D}$ .





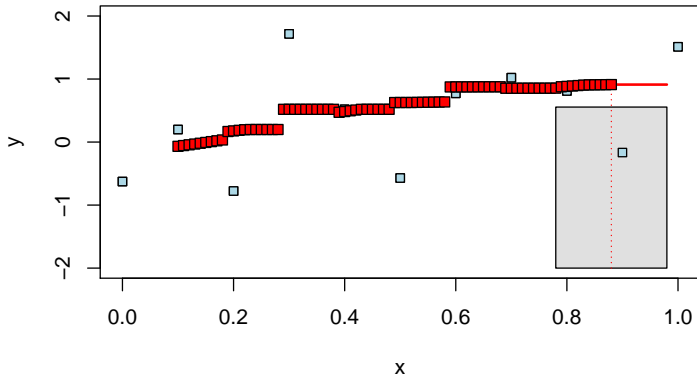
## Vážené klouzavé průměry

- Avšak pro vhodnú volbu vyhlazovacích váh je možné získať určitým zobrazením hladkú křivku v celém definičním oboru  $\mathcal{D}$ .



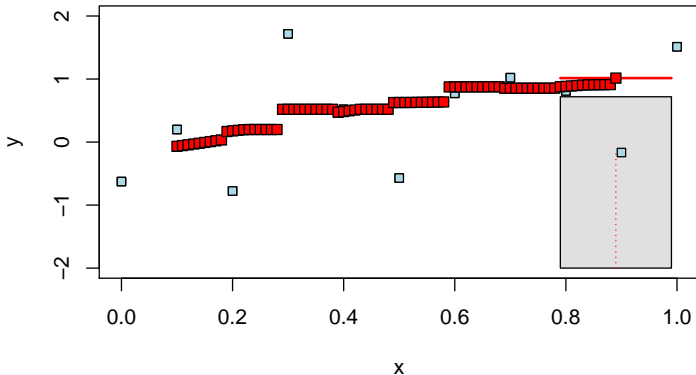
## Vážené klouzavé průměry

- Avšak pro vhodnú volbu vyhlazovacích váh je možné získať určitým zobecněním hladkú křivku v celém definičním oboru  $\mathcal{D}$ .



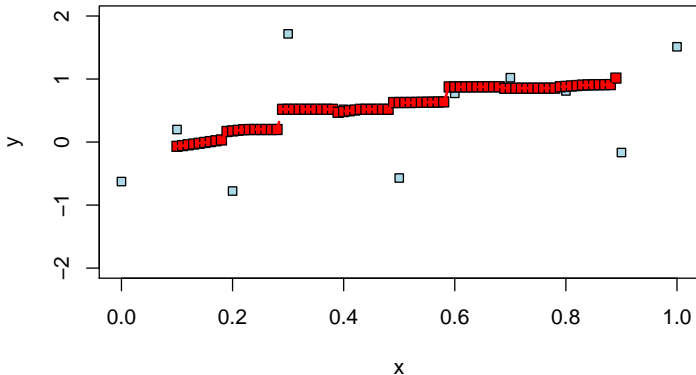
## Vážené klouzavé průměry

- Avšak pro vhodnú volbu vyhlazovacích váh je možné získať určitým zobecněním hladkú křivku v celém definičním oboru  $\mathcal{D}$ .



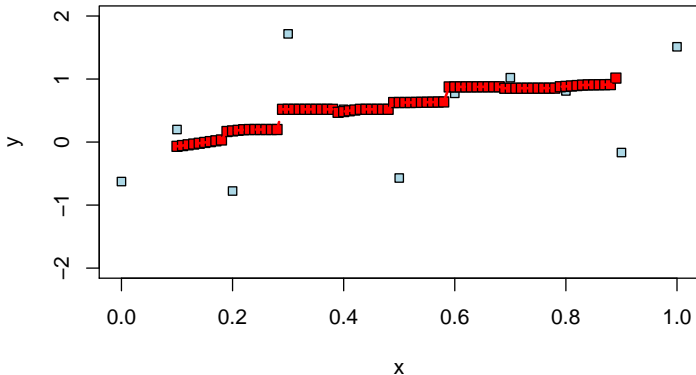
## Vážené klouzavé průměry

- Avšak pro vhodnou volbu vyhlazovacích vah je možné získat určitým zobecněním hladkou křivku v celém definičním oboru  $\mathcal{D}$ .



## Vážené klouzavé průměry

- Avšak pro vhodnou volbu vyhlazovacích vah je možné získat určitým zobecněním hladkou křivku v celém definičním oboru  $\mathcal{D}$ .



- Výsledná křivka nevypadá úplně hladce, ale to je z důvodu příliš hrubého gridu bodů z  $\mathcal{D}$ ) v kterých počítáme vážený průměr.

## Konstrukce KP vyrovnáním úseků polynomy

- **IDEA:** váhy  $w_j$  pro vyrovnání hodnot  $y_i$  volíme tak, že  $2r + 1$  členů řady, t.j. hodnoty  $y_{i-r}, \dots, y_i, \dots, y_{i+r}$ , aproximujeme vhodným polynomem stupně  $p \in \mathbb{N}$ ; Vyrovnána hodnota  $\hat{y}_i$  je pak hodnota polynomu, která odpovídá pozorování  $y_i$ .
- hodnota  $p \in \mathbb{N}$  se nazývá **řád klouzavého průměru**;
- formálně zapsáno, pro pozorování  $y_{i-r}, \dots, y_{i+r}$  uvažujeme polynom

$$y_{i+u} \approx c_0 + c_1 u + c_2 u^2 + \dots + c_p u^p \quad \text{pro } u = -r, \dots, r; \quad (2)$$

- resp. zapsáno v **maticovém tvaře**  $\mathbf{y}_{(i)} \approx \mathbb{F} \mathbf{c}$ , kde

$$\mathbf{y}_{(i)} = \begin{pmatrix} y_{i-r} \\ \vdots \\ y_{i+r} \end{pmatrix} \approx \begin{pmatrix} 1 & (-r) & (-r)^2 & \dots & (-r)^p \\ \vdots & \vdots & \vdots & & \vdots \\ 1 & r & r^2 & \dots & r^p \end{pmatrix} \cdot \begin{pmatrix} c_0 \\ \vdots \\ c_p \end{pmatrix}$$

- vyrovnanou hodnotu  $\hat{y}_i$  pro  $y_i$  pak dostaneme **dosazením**  $u = 0$  do (2);

## Váhy pomoci projekční matice

- pro část pozorování  $\mathbf{y}_{(i)} = (y_{i-r}, \dots, y_{i+r})^\top$  máme pro vyrovnání vztah

$$\hat{\mathbf{y}}_{(i)} = \mathbb{F} \cdot \hat{\mathbf{c}};$$

- pro odhadnuté parametry  $\hat{\mathbf{c}} = (\hat{c}_1, \dots, \hat{c}_p)^\top$  zase platí

$$\hat{\mathbf{c}} = (\mathbb{F}^\top \mathbb{F})^{-1} \mathbb{F}^\top \mathbf{y}_{(i)};$$

- pro vyrovnané hodnoty  $\hat{\mathbf{y}}_{(i)} = (\hat{y}_{i-r}, \dots, \hat{y}_{i+r})^\top$  proto dostaneme

$$\hat{\mathbf{y}}_{(i)} = \mathbb{F}(\mathbb{F}^\top \mathbb{F})^{-1} \mathbb{F}^\top \mathbf{y}_{(i)} = \mathbb{H} \mathbf{y}_{(i)};$$

- matice  $\mathbb{H} = \mathbb{F}(\mathbb{F}^\top \mathbb{F})^{-1} \mathbb{F}^\top$  se nazývá **projekční matice**;
- projekční matice definuje **linárne zobrazení** z  $\mathbb{R}^{2r+1}$  do  $p$  rozměrného podprostoru (projekce z  $\mathbb{R}^{2r+1}$  do  $\mathbb{R}^p$ );
- projekční matice  $\mathbb{H}$  je typu  $(2r+1) \times p$  a v prostředním řádku **obsahuje váhy** pro vyrovnání hodnoty  $y_i$ ;

## Váhy $w_j$ vs. parametre $c_1, \dots, c_p$

- pro vyhlazené hodnoty  $\hat{y}_i$ , pro  $i = r + 1, \dots, n - r$ , máme obecně

$$\hat{y}_i = \sum_{j=-r}^r w_j y_{i+j} = \mathbf{h}_{r+1}^\top \mathbf{y}_{(i)} = \hat{c}_1,$$

kde  $\mathbf{h}_{r+1} = (h_{(r+1)1}, \dots, h_{(r+1)(2r+1)})^\top = (w_{-r}, \dots, w_r)^\top$ , je  $(r + 1)$ -ní řádek projekční matice  $\mathbb{H} = (\mathbf{h}_1, \dots, \mathbf{h}_{2r+1})^\top$ ;

- maticově můžeme taktiež použít vyjádření ve tvaru

$$\hat{\mathbf{y}}_{(i)} = \mathbb{H} \mathbf{y}_{(i)} = \mathbb{F}(\mathbb{F}^\top \mathbb{F})^{-1} \mathbb{F}^\top \mathbf{y}_{(i)} = \mathbb{F} \hat{\mathbf{c}},$$

přičemž vyhlazená hodnota  $\hat{y}_i$ , která nás zajíma, je  $(r + 1)$ -ní element vektoru  $\hat{\mathbf{y}}_{(i)} = (\hat{y}_{i-r}, \dots, \hat{y}_{i+r})^\top$ ;

- je důležité si uvědomit, že váhy  $w_{-r}, \dots, w_r$  nezávisí na indexu  $i = r + 1, \dots, n - r$  a pro každou vyhlazenou hodnotu  $\hat{y}_i$  jsou stejné; (váhy  $w_{-r}, \dots, w_r$  závisí pouze na matici  $\mathbb{F}$ , která je pořád stejná)
- naproti tomu odhadnuté parametre  $\hat{\mathbf{c}} = (\hat{c}_1, \dots, \hat{c}_p)^\top$  na indexu  $i = r + 1, \dots, n - r$  závisí, a pro každé  $\hat{y}_i$  jsou parametry obecně různé; (odhady  $\hat{c}_1, \dots, \hat{c}_p$  závisí na matici  $\mathbb{F}$ , ale také na vektoru  $\mathbf{y}_{(i)}$ )



# Odhad parametrů $c_0, \dots, c_p$

- odhad parametrů  $c_0, \dots, c_p$  metodou nejmenších čtverců;

## Samostatný úkol

Jak vypadá v tomhle případě matice  $\mathbb{F}$  a jak se mění v závislosti na požadované hodnotě  $y_i$ , pro  $i = -r, \dots, r$ , kterou chceme vyhlazovat?

Jak vypadá projekční soustava normálních rovnic a příslušná projekční matice?

## Príklad

Uvažujte kubický polynom pro  $p = 3$  a  $r = 2$ . Polynom pro určení váh je ve tvaru  $y_{i+u} \approx c_0 + c_1 u + c_2 u^2 + c_3 u^3$ , kde  $c_0, \dots, c_3 \in \mathbb{R}$  jsou neznáme parametry.

- sestavte příslušnou matici  $\mathbb{F}$ ;
- nájděte projekčnou matici  $\mathbb{H} = \mathbb{F}(\mathbb{F}^T \mathbb{F})^{-1} \mathbb{F}^T$ ;
- nájděte váhy  $w_j$ , pro  $j = -2, 1, 0, 1, 2$  a spočtěte  $\hat{y}_i$ , pro  $i = 3, \dots, n - 2$ ;

## Vyrovnané hodnoty a predikce

- na rozdíl od klasických aritmetických klouzavých průměrů je možné využít vážené klouzavé průměry aj k vyrovnání počátečních a koncových hodnot;
- pro vyhlazení napr. koncového úseku stačí v (2) vhodne dosadit za  $u$ ;

Napr. pro  $r = 1$  a  $p = 1$ , máme  $y_{i+u} \approx c_0 + c_1 u$ , pro  $u = -1, 0, 1$  a  $i = 2, \dots, n-1$ ;

Pro vylazení  $y_n$  dosadíme:  $i \leftarrow n-1$  a  $u \leftarrow 1 \Rightarrow y_n = y_{(n-1)+1} \approx c_0 + c_1$  a  $\hat{y}_n = \hat{c}_0 + \hat{c}_1$ ;

- analogicky lze použít výraz (2) i pro budoucí predikce;

Napr. pro  $r = 2$  a  $p = 2$ , máme  $y_{i+u} \approx c_0 + c_1 u + c_2 u^2$ , pro  $u = -2, \dots, 2$  a  $i = 3, \dots, n-2$ ;

Predikce  $y_{n+1}$ :  $i \leftarrow n-2$  a  $u \leftarrow 3 \Rightarrow y_{n+1} = y_{(n-2)+3} \approx c_0 + 3c_1 + 9c_2$  a  $\hat{y}_{n+1} = \hat{c}_0 + 3\hat{c}_1 + 9\hat{c}_2$ ;

### Príklad

Uvažujte kubický polynom pro  $p = 3$  a  $r = 2$ . Polynom pro určení váh je ve tvaru  $y_{i+u} \approx c_0 + c_1 u + c_2 u^2 + c_3 u^3$ , kde  $c_0, \dots, c_3 \in \mathbb{R}$  jsou neznáme parametry.

- spočtete predikci o jeden krok dopředu a explicitně vyjadřite váhy pro vážený průměr;

## Zhrnutí předchozí přednášky/opakování

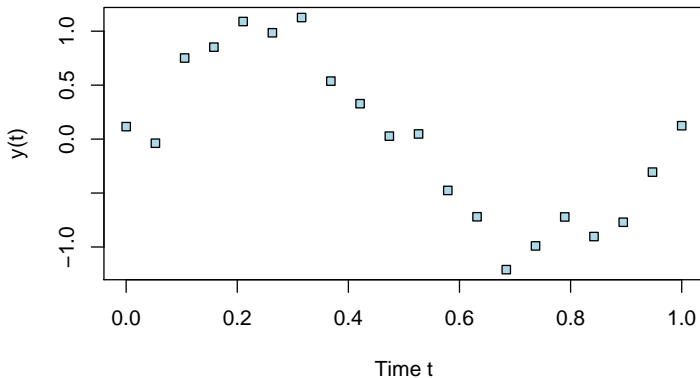
- ❑ **Parametrické vyrovnávání dat;**  
(prokládaná křivka je jednoznačně určena pomocí několika málo parametrů, které jsou odhadnuté pomocí metody nejmenších čtverců)
- ❑ **Semiparametrické vyrovnávání dat;**  
(proložená křivka definovaná jako lineární kombinace několika málo základních funkcí – napr. splinů – odhady metodou nejmenších čtverců)
- ❑ **Neparametrické vyrovnávání dat;**  
(proložená křivka definovaná pouze lokálně pomocí několika málo sousedů – případné váhy získané metodou nejmenších čtverců)

## Zhrnutí předchozí přednášky/opakování

- ❑ **Parametrické vyrovnávání dat;**  
(prokládaná křivka je jednoznačně určena pomoci několika málo parametrů, které jsou odhadnuté pomoci metody nejmenších čtverců)
- ❑ **Semiparametrické vyrovnávání dat;**  
(proložená křivka definovaná jako lineární kombinace několika málo bázeických funkcí – napr. splinů – odhady metodou nejmenších čtverců)
- ❑ **Neparametrické vyrovnávání dat;**  
(proložená křivka definovaná pouze lokálně pomoci několika málo sousedů – případné váhy získané metodou nejmenších čtverců)
- ❑ Příslušná metoda vyrovnávání musí být zvolená s ohledem na následnou aplikaci/využití proložené křivky: jiné požadavky jsou kladené pro interpretaci, jiné pro vhodné zachycení neznámého trendu;
- ❑ Problém optimálního vyhlazení: hladkost proložené křivky vs. korespondence s původními daty (tzv. bias-variance trade-off);  
(neboli flexibilita vs. komplexita finálního modelu)

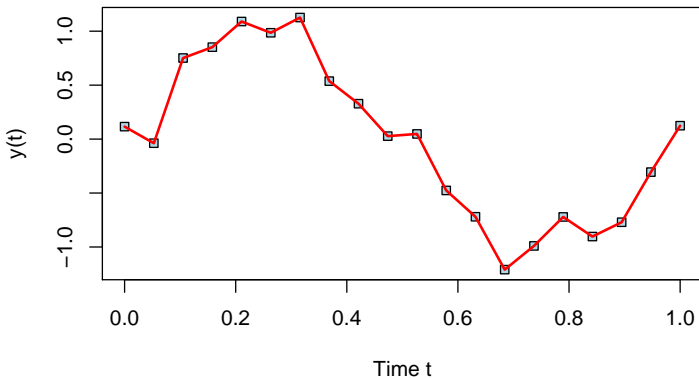
## Vychýlení vs. variabilita

- ❑ Jak zvolit/vybrat **vhodnou míru vyhlazení**?
- ❑ Lze aplikovat **nějaké optimální kritérium** pomoci kterého se rozhodnout?



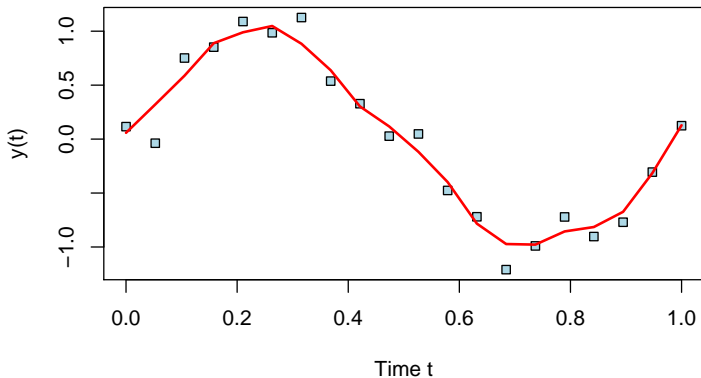
## Vychýlení vs. variabilita

- ❑ Jak zvolit/vybrat vhodnou míru vyhlazení?
- ❑ Lze aplikovat nějaké optimální kritérium pomoci kterého se rozhodnout?



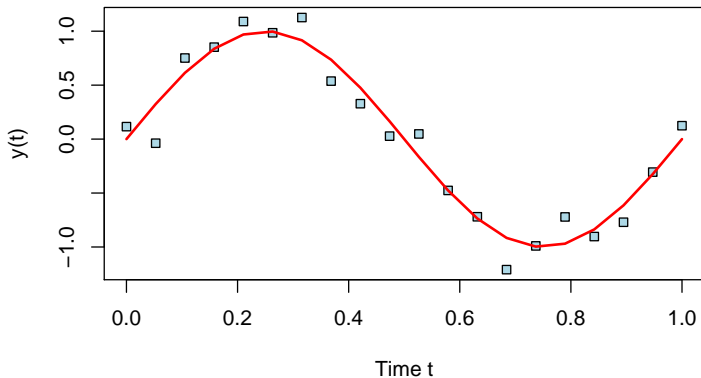
## Vychýlení vs. variabilita

- ❑ Jak zvolit/vybrat **vhodnou míru vyhlazení**?
- ❑ Lze aplikovat **nějaké optimální kritérium** pomoci kterého se rozhodnout?



## Vychýlení vs. variabilita

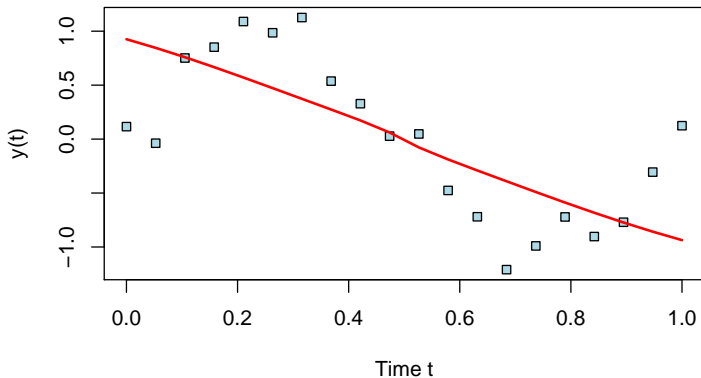
- ❑ Jak zvolit/vybrat vhodnou míru vyhlazení?
- ❑ Lze aplikovat nějaké optimální kritérium pomoci kterého se rozhodnout?





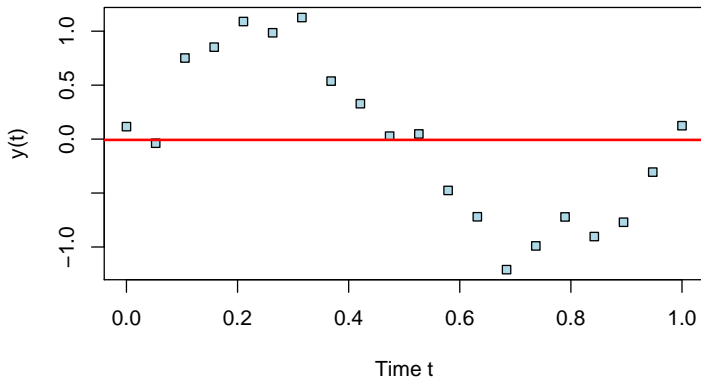
## Vychýlení vs. variabilita

- ❑ Jak zvolit/vybrat **vhodnou míru vyhlazení**?
- ❑ Lze aplikovat **nějaké optimální kritérium** pomoci kterého se rozhodnout?



## Vychýlení vs. variabilita

- ❑ Jak zvolit/vybrat **vhodnou míru vyhlazení**?
- ❑ Lze aplikovat **nějaké optimální kritérium** pomoci kterého se rozhodnout?



## Whittacker-Hendersonová metoda

Základnou úlohou vyhlazování dat je odhadnout hladký, pomalu se měnící trend. Zároveň chceme dosáhnout co nejlepší zhodu mezi původními daty a vylazenými daty;

- ❑ **Dokonalé vyhlazení**  
⇒ příliš velký součet čtverců odchylek, a malá zhoda s původními daty;
- ❑ **Dokonalá zhoda s daty**  
⇒ nulový součet čtverců odchylek, příliš velká variabilita, interpolace;

## Whittacker-Hendersonová metoda

Základnou úlohou vyhlazování dat je odhadnout hladký, pomalu se měnící trend. Zároveň cheme dosáhnout co nejlepší zhodu mezi původními daty a vylazenými daty;

- **Dokonalé vyhlazení**  
⇒ příliš velký součet čtverců odchylek, a malá zhoda s původními daty;
- **Dokonalá zhoda s daty**  
⇒ nulový součet čtverců odchylek, příliš velká variabilita, interpolace;

### Whittacker/Hendersonova metoda

Metoda, která umožňuje hledat kompromis mezi těmito dvěma požadavky tím, že jim přiděluje rozdílnou váhu. Vyrovnané hodnoty minimalizují kritérium

$$M(\hat{y}) = \underbrace{\sum_{i=1}^n (y_i - \hat{y}_i)^2}_{\text{součet čtverců}} + \lambda \cdot \underbrace{\sum_{i=r+1}^n (\Delta^r \hat{y}_i)^2}_{\text{penalta}},$$

kde  $\lambda > 0$  je nějaký vhodně zvolený ladící parametr.

## Whittacker-Hendersonová metoda

- W-H metoda nepředpokládá **žádný konkrétní tvar** prokladané křivky;
- symbol  $\Delta^r \hat{y}_i$  označuje **rekuzivnou  $r$ -tou zpětnou diferenci** posloupnosti  $\hat{y}_i$ ;
- obecně platí, že  $\Delta^0 \hat{y}_i = \hat{y}_i$  a  $\Delta^1 \hat{y}_i = \Delta \hat{y}_i = \hat{y}_i - \hat{y}_{i-1}$ ;
- pro  $r$ -tou zpětnou diferenci platí  $\Delta^r \hat{y}_i = \Delta^{r-1} \hat{y}_i - \Delta^{r-1} \hat{y}_{i-1}$ ;
- obecně lze také zapsat pomocí binomické formule

$$\Delta^r \hat{y}_i = \binom{r}{0} \hat{y}_i - \binom{r}{1} \hat{y}_{i-1} + \cdots + (-1)^r \binom{r}{r} \hat{y}_{i-r},$$

## Whittacker-Hendersonová metoda

- ❑ W-H metoda nepředpokládá žádný konkrétní tvar prokladané křivky;
- ❑ symbol  $\Delta^r \hat{y}_i$  označuje rekurzivnou  $r$ -tou zpětnou diferencii posloupnosti  $\hat{y}_i$ ;
- ❑ obecně platí, že  $\Delta^0 \hat{y}_i = \hat{y}_i$  a  $\Delta^1 \hat{y}_i = \Delta \hat{y}_i = \hat{y}_i - \hat{y}_{i-1}$ ;
- ❑ pro  $r$ -tou zpětnou diferencii platí  $\Delta^r \hat{y}_i = \Delta^{r-1} \hat{y}_i - \Delta^{r-1} \hat{y}_{i-1}$ ;
- ❑ obecně lze také zapsat pomocí binomické formule

$$\Delta^r \hat{y}_i = \binom{r}{0} \hat{y}_i - \binom{r}{1} \hat{y}_{i-1} + \dots + (-1)^r \binom{r}{r} \hat{y}_{i-r},$$

### IDEA:

Rekurzivní zpětná diference je diskrétné zobecnění pojmu derivace. Základnou myšlenkou je penalizovat příliš velké rozdíly v dané  $r$ -té diferencii. Napr. pro  $r = 1$  penalizujeme příliš velké rozdíly v první diferencii, t.j. pro  $\lambda \rightarrow \infty$  dostaneme vyhlazení ve tvaru přímky.

## Whittacker-Hendersonová metoda

- kritérium  $M(\hat{\mathbf{y}})$  lze zapsát aj v maticovém tvaru jako

$$M(\hat{\mathbf{y}}) = (\mathbf{y} - \hat{\mathbf{y}})^\top (\mathbf{y} - \hat{\mathbf{y}}) + \lambda \cdot \hat{\mathbf{y}}^\top \mathbb{K}^\top \mathbb{K} \hat{\mathbf{y}};$$

- matice  $\mathbb{K}$  je typu  $(n - r) \times n$  a ma tvar

$$\mathbb{K} = \begin{pmatrix} (-1)^r & \dots & -\begin{pmatrix} r \\ 1 \end{pmatrix} & 1 & \dots & 0 \\ \vdots & (-1)^r & \dots & -\begin{pmatrix} r \\ 1 \end{pmatrix} & \dots & \vdots \\ \vdots & \vdots & \vdots & \vdots & \vdots & \vdots \\ 0 & \dots & (-1)^r & \dots & -\begin{pmatrix} r \\ 1 \end{pmatrix} & 1 \end{pmatrix}$$

- derivováním podle  $\hat{\mathbf{y}}$  dostaneme soustavu normálních rovnic

$$\nabla_{\hat{\mathbf{y}}} M(\hat{\mathbf{y}}) = \left( \frac{\partial M(\hat{\mathbf{y}})}{\partial \hat{y}_1}, \dots, \frac{\partial M(\hat{\mathbf{y}})}{\partial \hat{y}_n} \right) = 2\mathbf{y} - 2\hat{\mathbf{y}} + 2\lambda \mathbb{K}^\top \mathbb{K} \hat{\mathbf{y}}$$

- riešime soustavu rovnic  $\nabla_{\hat{\mathbf{y}}} M(\hat{\mathbf{y}}) = 0 \implies$  řešení ve tvaru

$$\hat{\mathbf{y}} = (\mathbb{I} + \lambda \mathbb{K}^\top \mathbb{K})^{-1} \mathbf{y};$$

## To conclude

- ❑ Různé metody vyhlazování dat – prokládání vhodnou hladkou křivkou;
  - ❑ Parametrické metody  
(jednoduché, ale málo flexibilné)
  - ❑ Semiparametrické metody  
(vyrovnání jako lineární kombinace funkcí báze, poměrně dobrá flexibilita)
  - ❑ Neparаметrické metody  
(bez omezení na tvar prokládané křivky, nelze ale vyjádřit explicitně)
- ❑ V některých případech lze konstruovat predikci do budoucnosti;  
(není vhodné používat na predikci o moc kroků dopředu...)
- ❑ Whitttacker-Henderson - regularizační neparаметrický postup;  
(vhodnou volbou  $\lambda > 0$  a  $r \in \mathbb{N} \cup \{0\}$  lze dosáhnout požadovaný tvar)
- ❑ Při vyhlazování dat pamatovat na vztah mezi vychýlením a variabilitou;  
(přílišné vyhlazení  $\equiv$  malá variabilita a příliš velké odchýlky | vice versa)



## Kapitola 2

# Diferenciální rovnice a modely růstu

# Modely růstu – motivace

Modely, kde velikost změny (růstu) závisí na aktuálním stavu...

## Široké uplatnění modelů v ...

- ❑ **biologii**  
(růst populace mikroorganismů, viry, ...)
- ❑ **fyzice**  
(štiepenie, nukleárne reakcie, lavíny)
- ❑ **ekonómia a finance**  
(pyramidové schémy, modely kapitálu a poptávky)
- ❑ **IT a informatika**  
(výpočetná síla a zložitost, singularity, atď.)

## Modely růstu – formálně

- ❑ jedná se **víceparametrický deterministický (nelineární) model** pro modelování růstu nějaké populace (počet obyvatelstva, zásoby nějakého statku, objem komodity, atd');
  - ❑ zaužívané značení:  $y(t)$  – stav (velikost) populace v čase  $t \in \mathbb{R}$ ;
  - ❑ model určen pomocí **diferenciální rovnice**, čo umožňuje vyjádřit **závislost rychlosti růstu na velikosti populace** v čase  $t \in \mathbb{R}$ ;
  - ❑ **IDEA**: očekáváme, že populace by měla růst rychleji, když je velká, a naopak zase pomaleji, když je malá;
  - ❑ diferenciální rovnice často v tvaru, který v určitém zmyslu modeluje **lineární závislost růstu na velikosti**:

$$\frac{dy}{dt} = a \cdot y \cdot g\left(\frac{y}{k}\right)$$

kde  $y \equiv y(t)$  je funkce  $t \in \mathbb{R}$  a  $a, k > 0$  jsou **neznáme parametry**;

## Korekce lineární závislosti růstu na velikosti

Funkce  $g(\cdot)$  v zápisu diferenciální rovnice se používá ke korekci lineární závislosti růstu na velikosti populace – bez tehle korekce je totiž většina modelů praktický nesmyslných;

- ❑ **Volba  $g(x) = 1$ : Klasický model exponenciálního růstu**

$$\frac{dy}{dt} = a \cdot y \quad \implies \text{řešení } y(t) = be^{at};$$

- ❑ **Volba  $g(x) = 1 - x$ : Model logistického růstu**

$$\frac{dy}{dt} = a \cdot y \cdot \left(1 - \frac{y}{k}\right) \quad \implies \text{řešení } y(t) = \frac{k}{1 + be^{-at}};$$

- ❑ **Volba  $g(x) = -\log x$ : Model Gomertzovej křivky**

$$\frac{dy}{dt} = -a \cdot y \cdot \log\left(\frac{y}{k}\right) \quad \implies \text{řešení } y(t) = k \cdot \exp\{-be^{-at}\};$$

# Modely růstu

## Príklad

Uvažujte jednoduchý model exponenciálního růstu. Ukážete, že funkce

$$y(t) = be^{at}$$

je skutečně řešením diferenciální rovnice  $dy/dt = ay$ .

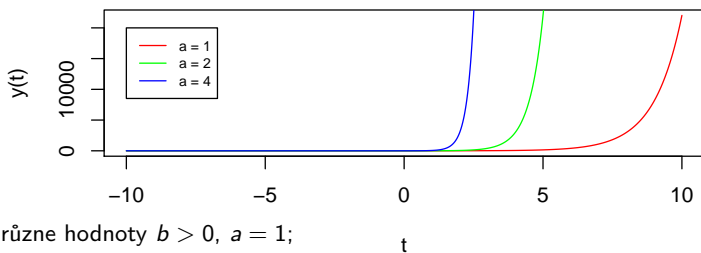
## Príklad

Uvažujte model logistického růstu pro nějaké obecné  $k > 0$ .

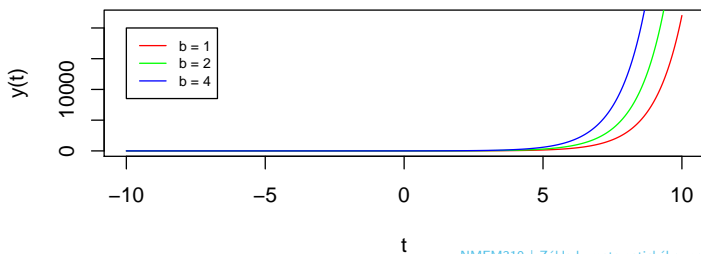
- ukážete, že funkce  $y(t) = \frac{k}{1+be^{-at}}$  je řešením diferenciální rovnice  $dy/dt = ay(1 - y/k)$
- nájde inflexní bod a dokážete, že křivka logistického růstu je symetrická kolem tohoto bodu;

# Modely exponenciálního růstu

- různé hodnoty  $a > 0$ ,  $b = 1$ ;

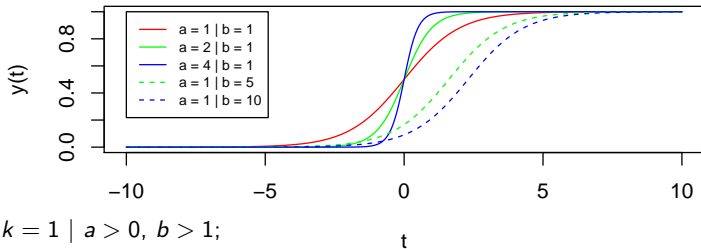


- různé hodnoty  $b > 0$ ,  $a = 1$ ;

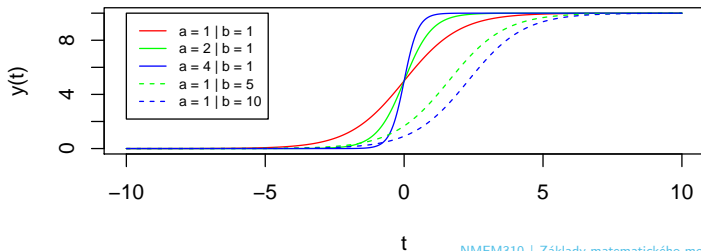


# Modely logistického růstu

□  $k = 1 \mid a > 0, b > 0;$

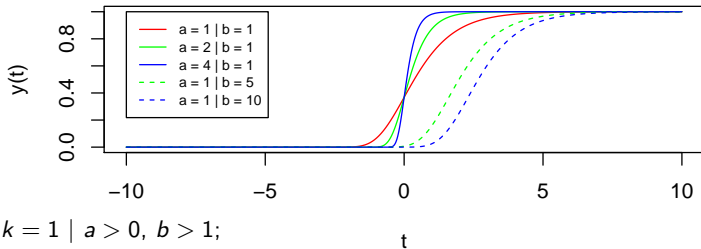


□  $k = 1 \mid a > 0, b > 1;$

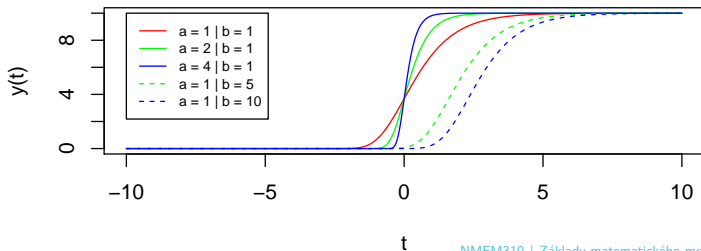


# Modely Gompertzové křivky

□  $k = 1 \mid a > 0, b > 0;$



□  $k = 1 \mid a > 0, b > 1;$





# Modely růstu – aplikace

## ❑ Model exponenciálního růstu

- ❑ model neomezeného růstu při neomezených zdrojích;
- ❑ aplikovatelný pouze v krátkodobem časovém horizontu;
- ❑ v praxi většinou nedostupnost zdrojů při určitém stavu populace;

## ❑ Model logistického růstu

- ❑ model s korekcí pro saturovanou hodnotu – parametr  $k > 0$ ;
- ❑ pro celkový stav populace vždy platí, že  $0 < y(t) < k$  pro  $t \in \mathbb{R}$ ;
- ❑  $(1 - y/k)$  omezuje nové přírůstky, pro velkou populaci – málo zdrojů;
- ❑ jedná se o tzv. sigmoidální křivku (sigmoid function);

## ❑ Gompertzová křivka

- ❑ zbecněná sigmoidální křivka (prudký nárůst, pomalejší saturace);
- ❑ inflexní bod pro  $t \in \mathbb{R}$ , kde  $y(t) = k/e$  (symetrická);
- ❑ častá aplikace např. pro tabulky úmrtnosti, růst nádorů, počet mobilních telefonů v populaci, a pod.;

# Odhady parametrů pro modely růstu

Základný problém spočíva v tom, že funkce, které chceme prokládat daty, nejsou lineární funkcí hledaných (neznámých) parametrů – koeficientů.

Nelze proto přímo aplikovat metodu nejmenších čtverců.

## Řešení:

- ❑ preparametrizování modelu do lineárního tvaru;
- ❑ aproximace modelu a iterativní postupy;
- ❑ numerické řešení pomocí počítačů;

# Odhad parametrů pro exponenciální růst

- základní diferenciální rovnice a příslušné řešení:

$$\frac{dy}{dt} = a \cdot y \quad \text{a} \quad y(t) = be^{at};$$

pro nějaké neznáme parametry  $a, b > 0$ ;

- rovnici lze logaritmovat a vyjádřit ve tvaru

$$\log(y(t)) = \log(b) + at;$$

- následně lze metodu nejmenších čtverců aplikovat na data

$$(t_1, \log(y(t_1)))^\top, \dots, (t_n, \log(y(t_n)))^\top;$$

## Samostatný úkol

Uvažujte jednoduchý exponenciální růst a nájděte řešení pro odhad parametrů  $\log(b) \in \mathbb{R}$  a  $a > 0$ . Vyjádřete příslušnou matici  $\mathbb{F}$  a spočtěte také projekční matici  $\mathbb{H}$ . Nájděte vhodné odhady pro  $a, b > 0$ .

## Odhad parametrů pro logistický růst

- základní diferenciální rovnice a příslušné řešení:

$$\frac{dy}{dt} = a \cdot y \cdot \left(1 - \frac{y}{k}\right) \quad \text{a} \quad y(t) = \frac{k}{1 + be^{-at}};$$

pro nějaké neznáme parametry  $a, b > 0$ ;

- diferenciální rovnici lze aproximovat pomocí diferenční rovnice

$$\frac{\Delta y_{t_i}}{\Delta t_i} = a y_{t_i} \left(1 - \frac{y_{t_i}}{k}\right)$$

- následně lze metodu nejmenších čtverců aplikovat na data

$$\left(y_{t_2}, \frac{\Delta y_{t_2}}{\Delta t_2 y_{t_2}}\right)^\top, \dots, \left(y_{t_n}, \frac{\Delta y_{t_n}}{\Delta t_n y_{t_n}}\right)^\top;$$

pro parametre  $a$  a  $a/k$ . Parametr  $b > 0$  pak vyjádřit z rovnice pro řešení.

### Samostatný úkol

Uvažujte jednoduchý logistický růst a nájděte řešení pro odhad parametrů  $a, k > 0$ . Nájděte také vhodný odhad pro parametr  $b > 0$ .

## Vylepšení odhadů pro logistický růst

Odhady parametrů  $a, b, k > 0$  získané v předchozím kroku jsou hodně hrubé jelikož jsme diferenciální rovnici diskretizovali – t.j. aproximovali pomocí diferenční rovnice. Získané odhady ale lze vylepšit – opět pomocí metody nejmenších čtverců.

- ☐ řešení diferenciální rovnice lze také parametrizovat jako

$$y(t) = \frac{k}{1 + be^{-at}} = \frac{d}{c + e^{-(a_1 + \epsilon)t}},$$

pro  $a = a_1 + \epsilon$ ,  $b = \frac{1}{c}$  a  $k = \frac{d}{c}$ .

- ☐ pro hodnoty  $\epsilon t$  hodně malé, lze použít Taylorov rozvoj

$$e^{-\epsilon t} \approx 1 - \epsilon t;$$

- ☐ následně dostaneme aproximaci pro  $y_{t_i}$  ve tvaru

$$y_{t_i} \approx \frac{d}{c + e^{-a_1 t_i} (1 - \epsilon t_i)}, \quad i = 1, \dots, n;$$

- ☐ metodu nejmenších čtverců následně aplikovat na model

$$y_{t_i} e^{-a_1 t_i} \approx d - c y_{t_i} + \epsilon t_i y_{t_i} e^{-a_1 t_i}, \quad i = 1, \dots, n;$$

## Vylepšení odhadů pro logistický růst

### Samostatný úkol

Uvažujte logistický model růstu a navrhněte, jak by měla vypadat matice  $\mathbb{F}$  pro vylepšení odhadu parametrů  $a, b, k > 0$  pomoci nové parametrizace

$$y(t) = \frac{k}{1 + be^{-at}} = \frac{d}{c + e^{-(a_1 + \epsilon)t}},$$

pro  $a = a_1 + \epsilon$ ,  $b = \frac{1}{c}$  a  $k = \frac{d}{c}$ .

Nájděte soustavu lineárních rovnic pro odhad parametrů  $d, c$  a  $\epsilon$ .

- ❑ dosazením odhadů  $\hat{d}$ ,  $\hat{c}$  a  $\hat{\epsilon}$  do vyjádření původních parametrů  $a, b$  a  $k$  dostaneme vylepšené odhady  $\hat{a}$ ,  $\hat{b}$  a  $\hat{k}$ ;
- ❑ tenhle postup lze iterativně opakovat a získat ještě přesnější odhady;

## Zhrnutí předchozí přednášky/opakování

- ❑ **Diferenciální modely a modely růstu** jako vhodné a užitečné nástroje pro modelování růstu populací v závislosti na jejich velikosti.
- ❑ Jedná se o **nelineární parametrické modely**, přičemž na odhad neznámých parametrů nelze většinou přímo aplikovat metodu nejmenších čtverců.
  - ❑ **Model exponenciálního růstu** – jednoduchý model ale aplikovatelný pouze v krátkodobem časovém horizontu (předpoklad neomezeného růstů při neomezených zdrojích);
  - ❑ **Model logistického růstu** – modifikace předchozího modelu pomocí dodatečného parametru – tzv. saturační hladiny pro maximální úroveň modelované populace;
  - ❑ **Model Gompertzovej křivky** – rozšíření modelu logistického růstu pro případy s nesymetickým počátečním nárůstem a konečnou saturací – model asymetrický kolem inflexního bodu;
- ❑ **Odhady neznámých parametrů** v těchto modelech pomocí iterativních postupů, aproximací a přeparametrizování původních rovnic, tak aby bylo možné aplikovat **metodu nejmenších čtverců**;

## Newton-Raphson: Algoritmus

**IDEA:** Odhad neznámých parametrů přímo pomocí minimalizace součtu čtverců – hledáme ale argument minima nelineární funkce. Např. pro logistickou křivku řešíme

$$S(a, b, k) = \underset{a, b, k > 0}{\operatorname{Argmin}} \sum_{i=1}^n \left( y_{t_i} - \frac{k}{1 + be^{-at_i}} \right)^2,$$

kde předpokládáme, že máme pozorování  $y_{t_1}, \dots, y_{t_n}$  v časech  $t_1, \dots, t_n$ ;

- předpokládáme, že existují nějaké **počáteční hodnoty**  $a_0, b_0, k_0 > 0$ , které jsou dostatečně blízko skutečným (neznámým) hodnotám, pro které je dosaženo minimum;
- **Newton-Raphsonová metoda** pak spočívá v aproximaci  $S(a, b, k)$  pomocí Taylorovej řady v okolí bodu  $(a_0, b_0, k_0)^T$ ;
- opakovaným postupem – **iteracemi** – získáme finální řešení;  
*(finální řešení je pouze aproximace skutečného řešení... dokonalost aproximace závisí od volby počátečních hodnot  $a_0, b_0, k_0 > 0$  a také od celkového počtu uskutečněných iterací)*



## Newton-Raphson: Teoretické odvození

- Taylorov rozvoj pro  $S(a, b, k)$  v bodě  $(a_0, b_0, k_0)$ :

$$\begin{aligned} S(a, b, k) &= S(a_0, b_0, k_0) + \nabla S(a_0, b_0, k_0)^\top (a - a_0, b - b_0, k - k_0)^\top \\ &\quad + \frac{1}{2} (a - a_0, b - b_0, k - k_0) \nabla^2 S(a_0, b_0, k_0) (a - a_0, b - b_0, k - k_0)^\top \\ &\quad + R(\tilde{a}, \tilde{b}, \tilde{k}); \end{aligned}$$

- hledáme bod, pro který  $\nabla S(a, b, c) = 0$ , teda

$$(-1) \cdot \nabla S(a_0, b_0, k_0) = \nabla^2 S(a_0, b_0, k_0) (a - a_0, b - b_0, k - k_0)^\top$$

- pro iterovaný postup definujeme obecně krok  $\ell \in \mathbb{N}$  následovně:

$$\nabla S(a_{\ell-1}, b_{\ell-1}, k_{\ell-1}) = -\nabla^2 S(a_{\ell-1}, b_{\ell-1}, k_{\ell-1}) (a_\ell - a_{\ell-1}, b_\ell - b_{\ell-1}, k_\ell - k_{\ell-1})^\top;$$

- postup opakujeme, až kým nedosáhneme požadovanou přesnost, t.j.  
 $|a_\ell - a_{\ell-1}| < \epsilon$ ,  $|b_\ell - b_{\ell-1}| < \epsilon$  a  $|k_\ell - k_{\ell-1}| < \epsilon$ , pro nějaké malé  $\epsilon > 0$ ;

## Příklad: Růst českého strakatého skota

### Príklad

#### Modelování dynamiky růstu hospodářských zvířat

- ❑ výhodné z ekonomického i hospodářského hlediska;
- ❑ chov na maso: rychlý růst (fiziologický), vysoká hmotnost;
- ❑ jednoduché modelovat v krátkodobem horizontu;
- ❑ nutné použít několik modelů od narození až po dospělost;
- ❑ býky českého strakatého skota mezi 30 až 1470 dnů:

$$y(t) = 926.07 \exp\{-2.548e^{-0.0032t}\} \quad (\text{Nešetřilová, ČZU});$$

- ❑ odhady parametrů  $a, b, k > 0$  pomocí Newton-Raphson metody;
- ❑ později vylepšení pomocí modelu dvou logistických křivek;

Kapitola 3

# Teorie Lineární Regulace

# Modely lineární regulace

- jedná se o modely, kde **vstupné data** – t.j. posloupnost  $u_0, u_1, u_2, \dots$ , je převáděná na **výstupne data** – posloupnost  $y_0, y_1, y_2, \dots$ , a to pomocí specifické lineární transformace – tzv. **lineární regulace**;
- **model lineární regulace** lze formálně zapsát jako

$$y_t = \sum_{j=0}^t h_j u_{t-j} = \sum_{j=0}^{\infty} h_j u_{t-j},$$

pro  $t \in \mathbb{Z}$  a  $y_{-j} = u_{-j} = 0$  pro  $j = 1, 2, \dots$ .

- neznáme **parametre**  $h_j$  pro  $j = 0, 1, \dots$ , určíj konkrétní tvar modelu lineární regulace;
- vliv posloupnosti  $u_0, u_1, u_2, \dots$  na  $y_0, y_1, y_2, \dots$  nemusí být přímý, ale napr. prostřednictvím dalších stavov systému – tzv. **lineární soustavy**;

## Model jednotkového impulsu

### Definice: Model jednotkového skoku

Vstupní posloupnost je ve tvaru  $u_0 = 1, u_1 = 0, u_2 = 0, \dots$ , nazýváme **jednotkovým impulzem**. Odezvou systému lineární regulace na tento impuls je pak posloupnost  $h_0, h_1, h_2, \dots$ , která se nazývá **impulzní charakteristika soustavy** lineární regulace.

### Samostatný úkol

Z definice modelu lineární regulace lze okamžitě ověřit, že platí:

- pro  $t = 0$ :  $y_0 = h_0 u_0 = h_0$ ;
- pro  $t = 1$ :  $y_1 = h_0 u_1 + h_1 u_0 = h_1$ ;
- pro  $t = 2$ :  $y_2 = h_0 u_2 + h_1 u_1 + h_2 u_0 = h_2$ ;
- pro  $t \in \mathbb{N}$ :  $y_t = h_0 u_t + \dots + h_t u_0 = h_t$ ;
- pro  $t \in \mathbb{N}$ :  $y_{-t} = u_{-t} = 0$ ;

## Model jednotkového skoku

### Definice: Model jednotkového impulzu

Vstupní posloupnost ve tvaru  $u_t = 1$  pro  $t = 0, 1, 2, \dots$  nazýváme **jednotkový skokem** (v čase  $t = 0$  se totiž hodnoty  $u_t$  změny z 0 na 1). Odezvou systému lineární regulace na tento skok je pak posloupnost, která se nazývá **přechodová charakteristika soustavy lineární regulace** a platí, že

$$y_t = \sum_{j=0}^{\infty} h_j u_{t-j} = \sum_{j=0}^t h_j u_{t-j} = \sum_{j=0}^t h_j.$$

K analýze lineárních soustav se obecně hodí používat tzv. vytvořující funkce pro číselné posloupnosti a speciálně tzv. **z-transformace**.

## Z-transformace

**Z-transformace** se obecně používá pro vyjádření signálu s diskrétním časem (t.j. posloupnosti reálných, nebo komplexních čísel) pomocí reprezentace v rámci **komplexnej frekvenčnej domény**. Jedná se o diskrétní verzi **Laplacovej transformácie**.

### Definice: Z-transformace (jednostranná)

Pro libovolnou posloupnost reálných čísel  $\{a_k; k \in \mathbb{N} \cup \{0\}\}$  definujeme její **z-transformaci** jako funkci

$$A(z) = \sum_{j=0}^{\infty} a_j z^{-j}, \quad \text{obecně pro } z \in \mathbb{C}.$$

- V teorii se také používá tzv. **bilaterální (oboustranná) z-transformace**;  
Pro oboustrannou z-transformaci platí  $A(z) = \sum_{j=-\infty}^{\infty} a_j z^{-j}$ ;

## Definice značení pro z-transformaci

### Samostatný úkol

- ❑ Nekonečná řada  $\sum_{j=0}^{\infty} a_j z^{-j}$  konverguje pro  $|z| > z_0$  a diverguje pro  $|z| < z_0$ , pro nějaké  $z_0 \in [0, \infty]$ ;
  - ❑ Množina  $\{z \in \mathbb{C}; |A(z)| < \infty\}$  se často v literatuře značí jako ROC (tzv. "Region Of Convergence");
  - ❑ na kružnici  $|z| = z_0$  se řada může chovat libovolně (konvergovat pro některé body a divergovat pro jiné);
- 
- ❑ pro **posloupnost vstupů**  $\{u_t; t \in \mathbb{N} \cup \{0\}\}$  budeme značit příslušnou z-transformaci jako funkci  $U(z)$ ;
  - ❑ pro **posloupnost výstupů**  $\{y_t; t \in \mathbb{N} \cup \{0\}\}$  budeme značit příslušnou z-transformaci jako funkci  $Y(z)$ ;
  - ❑ pro **impulzní charakteristiku**  $\{h_t; t \in \mathbb{N} \cup \{0\}\}$  budeme značit příslušnou z-transformaci jako funkci  $H(z)$ ;



# Impulzní přenosová funkce soustavy

**Definice:** Impulzní přenosová funkce

Funkce

$$H(z) = \sum_{j=0}^{\infty} h_j z^{-j}$$

se nazývá impulzní přenosová funkce soustavy.

Samostatný úkol

Ukážte, že pro impulzní přenosovou funkci soustav platí

$$Y(z) = H(z) \cdot U(z),$$

pro taková  $z \in \mathbb{C}$ , že  $H(z)$  a  $U(z)$  konvergují.

# Impulzní přenosová funkce soustavy

**Definice:** Impulzní přenosová funkce

Funkce

$$H(z) = \sum_{j=0}^{\infty} h_j z^{-j}$$

se nazývá impulzní přenosová funkce soustavy.

Samostatný úkol

Ukážte, že pro impulzní přenosovou funkci soustav platí

$$\begin{aligned} Y(z) &= \sum_{j=0}^{\infty} y_j z^{-j} = \sum_{j=0}^{\infty} \left( \sum_{\ell=0}^{\infty} h_{\ell} u_{j-\ell} \right) z^{-j} = \sum_{\ell=0}^{\infty} h_{\ell} z^{-\ell} \left( \sum_{j=0}^{\infty} u_{j-\ell} z^{-(j-\ell)} \right) \\ &= \sum_{\ell=0}^{\infty} h_{\ell} z^{-\ell} \cdot \sum_{j=-\ell}^{\infty} u_j z^{-j} = \sum_{\ell=0}^{\infty} h_{\ell} z^{-\ell} \cdot \sum_{j=0}^{\infty} u_j z^{-j} = H(z) \cdot U(z), \end{aligned}$$

pro taková  $z \in \mathbb{C}$ , že  $H(z)$  a  $U(z)$  konvergují.

## Příklad: Bakaláři na australských univerzitách

### Príklad

Chceme zjistovat závislost počtu bakalářských promoci na počtu studentů zapsaných v předchozích letech do prvního ročníka.

- ❑ počet studentů zapsaných do studia v roce  $t$ :  $u_t$ ;  
(do prvního ročníku teda nastoupí v roce  $t + 1$ )
- ❑ počet studentů v  $i$ -tém ročníku v roce  $t$ :  $x_t^{(i)}$  pro  $i = 1, \dots, 4$ ;
- ❑ podíl studentů, kteří přejdou z  $i$ -tého do  $j$ -tého ročníka v následujícím školním roce:  $p_{ij}$ ;
- ❑ podíl studentů, kteří skončí v  $i$ -tém ročníku:  $q_i$ ;
- ❑ zřejmě platí, že  $p_{ii} + p_{i(i+1)} + q_i = 1$  pro všechny  $i = 1, 2, 3, 4$ ;

Bakalářský titul lze získat v třetím roce (Pass Degree), nebo pokračovat ve čtvrtém roce a získat Honours Degree.

# Příklad: Bakaláři na australských univerzitách

## Príklad

- nechť  $y_t$  značí počet promujících bakalářů v roce  $t$ ;
- pak lze psát, že

$$y_t = c_3 x_t^{(3)} + c_4 x_t^{(4)},$$

pro  $c_3, c_4 \in (0, 1)$  proporce studentu, kteří v třetím a čtvrtém roce promují.

- zřejmě také platí následující:

$$x_{t+1}^{(1)} = u_t + p_{11} x_t^{(1)}; \quad (3)$$

$$x_{t+1}^{(i+1)} = p_{i(i+1)} x_t^{(i)} + p_{(i+1)(i+1)}^{(i+1)}, \quad \text{pro } i = 1, 2, 3; \quad (4)$$

- proporce odhadnuté pomoci historických statistik na univerzitách:  
 $p_{12} = 0.61; p_{23} = 0.71; p_{34} = 0.16; c_3 = 0.81; c_4 = 0.91;$   
 $p_{11} = 0.15; p_{22} = 0.11; p_{33} = 0.10; p_{44} = 0.05;$

## Jak teda závisí $y_t$ na hodnotách $u_{t-j}$ ?

### Príklad

- Obecně můžeme pro  $x_t^{(i)}$  psát, že

$$x_t^{(i)} = \sum_{j=0}^{\infty} f_j^{(i)} u_{t-j}, \quad (5)$$

kde  $f_j^{(i)}$  je podíl těch, co se zapsali před  $j$  lety a teď jsou v  $i$ -tém ročníku a platí, že  $f_0^{(i)} = 0$  pro všechny  $i = 1, 2, 3, 4$ ;

- Přímým dosazením do (3) dostaneme

$$\sum_{j=0}^{\infty} f_j^{(1)} u_{t+1-j} = u_t + p_{11} \sum_{j=0}^{\infty} f_j^{(1)} u_{t-j};$$

- Porovnáním koeficientu dostaneme:

$$f_1^{(1)} = 1, f_2^{(1)} = p_{11} f_1^{(1)} = p_{11}, f_3^{(1)} = p_{11} f_2^{(1)} = p_{11}^2, \dots, f_n^{(1)} = p_{11}^{n-1};$$

# Příklad: Bakaláři na australských univerzitách

## Príklad

- celkový počet studentů v prvním ročníku v roce  $t$  lze vyjádřit jako součet nově zapsaných a recyklovaných studentů:

$$X_t^{(1)} = u_{t-1} + \sum_{j=2}^{\infty} (p_{11})^{j-1} u_{t-j};$$

- Následně dosadíme (6) do (4):

$$\sum_{j=0}^{\infty} f_j^{(i+1)} u_{t+1-j} = p_{i(i+1)} \sum_{j=0}^{\infty} f_j^{(i)} u_{t-j} + p_{(i+1)(i+1)} \sum_{j=0}^{\infty} f_j^{(i+1)} u_{t-j};$$

- Zjednodušení:** obecně předpokládáme, že  $f_j^{(i)} = 0$ , pro  $j < i$ ;

# Příklad: Bakaláři na australských univerzitách

## Príklad

- Postupně dostaneme:

$$f_2^{(2)} = p_{12}f_1^{(1)} + p_{22}f_{12} = p_{12}$$

$$f_3^{(3)} = p_{23}f_2^{(2)} + p_{33}f_2^{(3)} = p_{23}f_2^{(2)} = p_{12}p_{23}$$

a obecně:

$$f_{j+1}^{(i+1)} = p_{i(i+1)}f_j^{(i)} + p_{(i+1)(i+1)}f_j^{(i+1)}$$

- Celkově pro  $y_t$  teda máme:

$$y_t = c_3x_t^{(3)} + c_4x_t^{(4)} = \sum_{j=0}^{\infty} \left( c_3f_j^{(3)} + c_4f_j^{(4)} \right) u_{t-j}$$

$$= 0.3508u_{t-3} + 0.1901u_{t-4} + 0.0567u_{t-5} + 0.0131u_{t-6} + \dots$$

## Maticový zápis | Stavový model

- Příklad o bakalářích na austrálských univerzitách lze také zapsat i pomocí alternativního maticového zápisu (více kompaktně);
- Necht'  $\mathbf{x}_t = (x_t^{(1)}, \dots, x_t^{(4)})^\top$ . Pak lze problém zapsat jako

$$\mathbf{x}_{t+1} = \underbrace{\begin{pmatrix} p_{11} & 0 & 0 & 0 \\ p_{12} & p_{22} & 0 & 0 \\ 0 & p_{23} & p_{33} & 0 \\ 0 & 0 & p_{34} & p_{44} \end{pmatrix}}_A \mathbf{x}_t + \underbrace{\begin{pmatrix} 1 \\ 0 \\ 0 \\ 0 \end{pmatrix}}_b u_t;$$

$$y_t = \underbrace{(0, 0, c_3, c_4)}_c \cdot \mathbf{x}_t + \underbrace{0}_d \cdot u_t.$$

- Uveděný zápis definuje **lineární stavovou** ;  
(vstupní posloupnost  $u_t$ , stavy systému  $\mathbf{x}_t$ , výstupná posloupnost  $y_t$ )



## Zhrnutí předchozí přednášky/opakování

### □ Modely lineární regulace

↪ posloupnost výstupných dat je vyjádřena jako specifická lineární funkce vstupných dat, t.j.  $y_t = h_0 u_t + \dots + h_t u_0$ , pro  $t \in \mathbb{N} \cup \{0\}$  a vhodně zvolené parametry  $h_0, \dots, h_t \in \mathbb{R}$ ;

### □ Z-transformace a impulzní přenosová funkce;

↪ impulzní přenosová funkce  $Y(z) = H(z)U(z)$  jako nástroj pro reprezentaci výstupnej posloupnosti  $\{y_t\}$  vo frekvenčnej doméně pomoci z-transformace vstupu  $\{u_t\}$  a parametru  $\{h_t\}$ :  
 $U(z) = \sum_{j=0}^{\infty} u_j z^{-j}$  a  $H(z) = \sum_{j=0}^{\infty} h_j z^{-j}$ ;

### □ Lineární soustavy;

↪ komplexný systém lineární regulace, kde mezi vstupní a výstupní posloupnosti existuje množina stavov  $\mathbf{x}_t = (x_t^{(1)}, \dots, x_t^{(r)})^T$ ;

### □ Obecný zápis lineární soustavy

$$\mathbf{x}_{t+1} = \mathbf{A} \mathbf{x}_t + \mathbf{b} u_t;$$

$$y_t = \mathbf{c} \cdot \mathbf{x}_t + d \cdot u_t,$$

pro matici  $\mathbf{A} \in \mathbb{R}^{r \times r}$ , vektory  $\mathbf{b}, \mathbf{c} \in \mathbb{R}^r$  a skalár  $d \in \mathbb{R}$ ;

## Stavový model – formálně

- uvažujeme systém, jehož stav lze popsat vektorem  $\mathbf{x} \in \mathbb{R}^r$ ;
- vývoj systému pak definujeme pomocí posloupnosti  $\{\mathbf{x}_t; t \in \mathbb{N} \cup \{0\}\}$ ;
- předpokládáme, že stav systému v čase  $t = 0$  je  $\mathbf{x}_0 = \mathbf{0} \in \mathbb{R}^r$ ;
- následující stavy systému v čase  $t + 1$  jsou popsány pomocí modelu

$$\mathbf{x}_{t+1} = \mathbb{A}\mathbf{x}_t + \mathbf{b}u_t,$$

pro nějakou čtvercovou matici  $\mathbb{A} \in \mathbb{R}^{r \times r}$  a vektor  $\mathbf{b} \in \mathbb{R}^r$ ;

- nepozorujeme ale přímo stav systému, ale pouze výstup  $y_t$  ve tvaru

$$y_t = \mathbf{c}^\top \mathbf{x}_t + du_t,$$

pro nějaký vektor  $\mathbf{c} \in \mathbb{R}^r$  a skalár  $d \in \mathbb{R}$ ;

- Jak získat z tohoto modelu přímou závislost výstupní posloupnosti  $y_t$  na vstupních datech  $u_t$  ve tvaru  $y_t = \sum_{j=0}^{\infty} h_j u_{t-j}$ ?

# Stavový model a stavové rovnice

- namísto původního systému rovnic

$$\begin{aligned} \mathbf{x}_{t+1} &= \mathbb{A} \mathbf{x}_t + \mathbf{b} u_t \\ y_t &= \mathbf{c}^\top \mathbf{x}_t + d u_t \end{aligned}$$

- budeme uvažovat systém rovnic ve tvaru

$$\begin{aligned} \sum_{t=0}^{\infty} \mathbf{x}_{t+1} z^{-t} &= \mathbb{A} \underbrace{\sum_{t=0}^{\infty} \mathbf{x}_t z^{-t}}_{\mathbf{X}(z)} + \mathbf{b} \underbrace{\sum_{t=0}^{\infty} u_t z^{-t}}_{U(z)} \\ \underbrace{\sum_{t=0}^{\infty} y_t z^{-t}}_{Y(z)} &= \mathbf{c}^\top \underbrace{\sum_{t=0}^{\infty} \mathbf{x}_t z^{-t}}_{\mathbf{X}(z)} + d \underbrace{\sum_{t=0}^{\infty} u_t z^{-t}}_{U(z)} \end{aligned}$$

↪ kde jsme původní rovnice postupně vynásobili faktorem  $z^{-t}$  a pak sečetli přes všechny hodnoty pro  $t = 0, 1, 2, \dots$ ;

# Stavový model a stavové rovnice

- namísto původního systému rovnic

$$\begin{aligned} \mathbf{x}_{t+1} &= \mathbb{A} \mathbf{x}_t + \mathbf{b} u_t \\ y_t &= \mathbf{c}^\top \mathbf{x}_t + d u_t \end{aligned}$$

- budeme uvažovat systém rovnic ve tvaru

$$\begin{aligned} z \sum_{t=0}^{\infty} \mathbf{x}_{t+1} z^{-t-1} &= \mathbb{A} \underbrace{\sum_{t=0}^{\infty} \mathbf{x}_t z^{-t}}_{\mathbf{X}(z)} + \mathbf{b} \underbrace{\sum_{t=0}^{\infty} u_t z^{-t}}_{U(z)} \\ \underbrace{\sum_{t=0}^{\infty} y_t z^{-t}}_{Y(z)} &= \mathbf{c}^\top \underbrace{\sum_{t=0}^{\infty} \mathbf{x}_t z^{-t}}_{\mathbf{X}(z)} + d \underbrace{\sum_{t=0}^{\infty} u_t z^{-t}}_{U(z)} \end{aligned}$$

↪ kde jsme původní rovnice postupně vynásobili faktorem  $z^{-t}$  a pak sečetli přes všechny hodnoty pro  $t = 0, 1, 2, \dots$ ;

# Stavový model a stavové rovnice

- namísto původního systému rovnic

$$\begin{aligned} \mathbf{x}_{t+1} &= \mathbf{A}\mathbf{x}_t + \mathbf{b}u_t \\ y_t &= \mathbf{c}^\top \mathbf{x}_t + du_t \end{aligned}$$

- budeme uvažovat systém rovnic ve tvaru

$$\begin{aligned} z \sum_{t=-1}^{\infty} \mathbf{x}_{t+1} z^{-t} &= \mathbf{A} \underbrace{\sum_{t=0}^{\infty} \mathbf{x}_t z^{-t}}_{\mathbf{X}(z)} + \mathbf{b} \underbrace{\sum_{t=0}^{\infty} u_t z^{-t}}_{U(z)} \\ \underbrace{\sum_{t=0}^{\infty} y_t z^{-t}}_{Y(z)} &= \mathbf{c}^\top \underbrace{\sum_{t=0}^{\infty} \mathbf{x}_t z^{-t}}_{\mathbf{X}(z)} + d \underbrace{\sum_{t=0}^{\infty} u_t z^{-t}}_{U(z)} \end{aligned}$$

↪ kde jsme původní rovnice postupně vynásobili faktorem  $z^{-t}$  a pak sečetli přes všechny hodnoty pro  $t = 0, 1, 2, \dots$ ;

# Stavový model a stavové rovnice

- namísto původního systému rovnic

$$\begin{aligned} \mathbf{x}_{t+1} &= \mathbb{A} \mathbf{x}_t + \mathbf{b} u_t \\ y_t &= \mathbf{c}^\top \mathbf{x}_t + d u_t \end{aligned}$$

- budeme uvažovat systém rovnic ve tvaru

$$\begin{aligned} z \underbrace{\sum_{t=-1}^{\infty} \mathbf{x}_{t+1} z^{-t-1}}_{\mathbf{X}(z)} &= \mathbb{A} \underbrace{\sum_{t=0}^{\infty} \mathbf{x}_t z^{-t}}_{\mathbf{X}(z)} + \mathbf{b} \underbrace{\sum_{t=0}^{\infty} u_t z^{-t}}_{U(z)} \\ \underbrace{\sum_{t=0}^{\infty} y_t z^{-t}}_{Y(z)} &= \mathbf{c}^\top \sum_{t=0}^{\infty} \mathbf{x}_t z^{-t} + d \sum_{t=0}^{\infty} u_t z^{-t} \end{aligned}$$

↪ kde jsme původní rovnice postupně vynásobili faktorem  $z^{-t}$  a pak sečetli přes všechny hodnoty pro  $t = 0, 1, 2, \dots$ ;

## Stavový model – řešení

- systém rovnic v maticovém zápisu:

$$z\mathbf{X}(z) = \mathbb{A}\mathbf{X}(z) + \mathbf{b}U(z)$$

$$Y(z) = \mathbf{c}^T \mathbf{X}(z) + dU(z)$$

- pokud existuje inverze  $(z\mathbb{I} - \mathbb{A})^{-1}$ , lze řešení pro  $\mathbf{X}(z)$  získat jako:

$$z\mathbf{X}(z) - \mathbb{A}\mathbf{X}(z) = \mathbf{b}U(z)$$

$$(z\mathbb{I} - \mathbb{A})\mathbf{X}(z) = \mathbf{b}U(z)$$

$$\mathbf{X}(z) = (z\mathbb{I} - \mathbb{A})^{-1} \cdot \mathbf{b}U(z)$$

- následně pak pro  $Y(z)$  získáme řešení ve tvaru:

$$Y(z) = \mathbf{c}^T \mathbf{X}(z) + dU(z)$$

$$= [\mathbf{c}^T \cdot (z\mathbb{I} - \mathbb{A})^{-1} \mathbf{b} + d] U(z)$$

## Přenosová funkce soustavy

### Definice: Přenosová funkce soustavy

Funkce  $H(z) = [\mathbf{c}^T \cdot (z\mathbb{I} - \mathbb{A})^{-1} \mathbf{b} + d]$  se nazývá přenosová funkce soustavy a platí, že

$$Y(z) = H(z)U(z),$$

pro každé  $z \in \mathbb{C}$ , pro které funkce  $Y(z)$  a  $U(z)$  konvergují.

### Samostatný úkol

Ověřte, že pro libovolnou matici  $\mathbb{A} \in \mathbb{R}^{r \times r}$ , vektory  $\mathbf{b}, \mathbf{c} \in \mathbb{R}^r$  a reální číslo  $d \in \mathbb{R}$ , takové, že inverzní matice  $(z\mathbb{I} - \mathbb{A})^{-1}$  existuje, je funkce  $H(z)$  funkcí z  $\mathbb{R}$  do  $\mathbb{R}$ , pro  $z \in \mathbb{R}$  (tzn., ověřte příslušné rozměry v zápisu funkce  $H$ ).



# Přenosová funkce soustavy – vyjádření

## Samostatný úkol

Přenosovou funkci soustavy lze vyjádřit jako podíl dvou polynomů stupně nejvýše  $r$ . Platí, že

$$\begin{aligned} H(z) &= \left[ \mathbf{c}^T \cdot (z\mathbb{I} - \mathbb{A})^{-1} \mathbf{b} + d \right] = \frac{\mathbf{c}^T \text{Adj}(z\mathbb{I} - \mathbb{A}) \mathbf{b} + d \cdot \det(z\mathbb{I} - \mathbb{A})}{\det(z\mathbb{I} - \mathbb{A})} \\ &= \frac{N(z)}{D(z)} = \frac{n_0 z^r + \dots + n_r}{d_0 z^r + \dots + d_r} = \frac{n_0 + \dots + n_r z^{-r}}{d_0 + \dots + d_r z^{-r}}, \end{aligned}$$

kde  $N(z)$  a  $D(z)$  jsou příslušné  $z$ -transformace polynomů  $n_0 + \dots + n_r z^{-r}$  a  $d_0 + \dots + d_r z^{-r}$ .

# Příklad: Bakaláři na australských univerzitách

## Príklad

- pro model s bakaláři na australských univerzitách máme

$$\mathbb{A} = \begin{pmatrix} p_{11} & 0 & 0 & 0 \\ p_{12} & p_{22} & 0 & 0 \\ 0 & p_{23} & p_{33} & 0 \\ 0 & 0 & p_{34} & p_{44} \end{pmatrix}, \quad \mathbf{b} = (1, 0, 0, 0)^T,$$
$$\mathbf{c} = (0, 0, c_3, c_4)^T, \quad b = 0;$$

- pro matici  $(z\mathbb{I} - \mathbb{A})$  dostaneme vyjádření ve tvaru

$$(z\mathbb{I} - \mathbb{A}) = \begin{pmatrix} z - p_{11} & 0 & 0 & 0 \\ -p_{12} & z - p_{22} & 0 & 0 \\ 0 & -p_{23} & z - p_{33} & 0 \\ 0 & 0 & -p_{34} & z - p_{44} \end{pmatrix};$$

- a pro determinant matice  $(z\mathbb{I} - \mathbb{A})$  dostaneme

$$\det(z\mathbb{I} - \mathbb{A}) = (z - p_{11})(z - p_{22})(z - p_{33})(z - p_{44});$$

## Příklad: Bakaláři na australských univerzitách

### Příklad

- vzhledem k tvaru vektorů  $\mathbf{b}, \mathbf{c} \in \mathbb{R}^r$  stačí pro adjungovanou matici spočítat prvky na pozici [3,1] a [4,1];
- pro **přenosovou funkci soustavy** pak přímo dostaneme

$$H(z) = \frac{c_3 p_{12} p_{23} (z - p_{44}) + c_3 p_{12} p_{23} p_{34}}{(z - p_{11})(z - p_{22})(z - p_{33})(z - p_{44})}$$

- pomocí přenosové funkce soustavy  $H(z)$  dostaneme přímo vyjádření počtu promujících bakalářů na počte zapsaných studentů (prostřednictvím spektrální domény) – bez explicitné přítomnosti stavů systému;

## Obecný model

- v praxi je výhodnější uvažovat obecnou situaci, kdy výstup v čase  $t$  závisí také na předchozích výstupech, t.j., uvažujeme rovnici

$$d_0 y_t + \dots + d_r y_{t-r} = n_0 u_t + \dots + n_r u_{t-r}, \quad (6)$$

pro  $d_0 \neq 0$ ;

- co lze také ekvivalentně přepsát jako

$$y_t = \underbrace{-\frac{d_1}{d_0} y_{t-1} - \dots - \frac{d_r}{d_0} y_{t-r}}_{\text{autoregresní část soustavy}} + \underbrace{\frac{n_0}{d_0} u_t + \dots + \frac{n_r}{d_0} u_{t-r}}_{\text{regresní část soustavy}}$$

pro  $d_0 \neq 0$ ;

- délky pro autoregresní část a regresní část mohou být obecně různé  
 $\hookrightarrow$  některé koeficienty  $d_1, \dots, d_r, n_0, \dots, n_r$  mohou být nulové;
- **IDEA:** Opět chceme najít vyjádření ve tvaru  $y_t = \sum_{k=0}^{\infty} h_k y_{t-k}$ ;

## Obecný model

- analogickým postupem (vynásobíme členem  $z^{-t}$  a sečteme přes všechny hodnoty  $t$ ) dostaneme vyjádření (6) ve tvaru

$$\begin{aligned} \sum_{t=0}^{\infty} (d_0 z^{-0} y_t z^{-t} + \dots + d_r z^{-r} y_{t-r} z^{-(t-r)}) \\ = \sum_{t=0}^{\infty} (n_0 z^0 u_t z^{-t} + \dots + n_r z^{-r} u_{t-r} z^{-(t-r)}) \end{aligned}$$

- díky zavedenému značení  $u_{-t} = y_{-t} = 0$  pro  $t \in \mathbb{N}$  můžeme psát

$$(d_0 z^{-0} + \dots + d_r z^{-r}) \sum_{k=0}^{\infty} y_k z^{-k} = (n_0 z^{-0} + \dots + n_r z^{-r}) \sum_{k=0}^{\infty} u_k z^{-k};$$

- co lze také přepsat do obecného tvaru lineárního modelu jako

$$d(z^{-1})Y(z) = n(z^{-1})U(z)$$

pro  $d(x) = d_0 + d_1 x + \dots + d_r x^r$  a  $n(x) = n_0 + n_1 x + \dots + n_r x^r$ ;

## Obecný model – některé vlastnosti

- obecně i zde platí, že  $Y(z) = H(z)U(z)$ , pro takové  $z \in \mathbb{C}$ , že  $H(z)$  a  $U(z)$  konvergují;
- dostazením tedy dostaneme, že

$$d(z^{-1})Y(z) = d(z^{-1})H(z)U(z) = n(z^{-1})U(z),$$

pro takové  $z \in \mathbb{C}$ , že pravá strana konverguje;

- pro přenosovou funkci soustavy máme

$$H(z) = \frac{n(z^{-1})}{d(z^{-1})} = \frac{n_0 + \dots + n_r z^{-r}}{d_0 + \dots + d_r z^{-r}};$$

- rovnice (6) se někdy zapisuje ve tvaru

$$(d_0 + \dots + d_r z^{-r})y_t = (n_0 + \dots + n_r z^{-r})u_t$$

nebo zjednodušeně  $d(z^{-1})y_t = n(z^{-1})u_t$ , kde  $z$  se interpretuje jako operátor posunutí, t.j.,  $zx_t = x_{t+1}$  a  $z^{-1}$  jako operátor zpětného posunutí, t.j.,  $z^{-1}x_t = x_{t-1}$ ;

# Obecný model – příklad

## Príklad

Předpokládáme jednoduchý model lineárního systému ve tvaru

$$y_{t+1} - ay_t = u_t \quad \text{resp.} \quad (1 - az^{-1})y_t = u_t.$$

- pro přenosovou funkci soustavy dostaneme

$$H(z) = \frac{1}{1 - az^{-1}} = \frac{z}{z - a};$$

- Ize jednoduše rozvinout jako

$$H(z) = \sum_{k=0}^{\infty} a^k z^{-k};$$

- pro impulzní charakteristiku soustavy teda máme  $y_t = h_t = a^t$ ;
- pro přechodovou charakteristiku soustavy máme  $y_t = \sum_{k=0}^t h_k$ ;

# Stabilita lineární soustavy

## □ Stabilita soustavy

Jedná se o základní vlastnost, která se u lineárních soustav zkoumá.

### Definice: Stabilita lineární soustavy

Řekneme, že lineární soustava je stabilní, pokud platí, že

$$\lim_{t \rightarrow \infty} h_t = 0. \quad (7)$$

- Alternativně lze říct, že odezva soustavy na jednotkový impuls se postupně vytrácí, pokud je soustava stabilní;
- (7) je zároveň nutná podmínka k tomu, aby přechodová charakteristika soustavy, tedy řada  $\sum_{k=0}^{\infty} h_k$ , byla konvergentní (ale ne postačující);



# Stabilita lineární soustavy

## Věta: Stabilita lineární soustavy

Soustava odpovídající obecnému modelu s přenosovou funkcí ve tvaru

$$H(z) = \frac{n(z^{-1})}{d(z^{-1})} = \frac{N(z)}{D(z)},$$

kde  $N(z) = n_0z^r + \dots + n_rz^0$  a  $D(z) = d_0z^r + \dots + d_rz^0$  jsou nesoudělné polynomy, je stabilní právě tehdy, když se všechny kořeny polynomu  $D(z)$  nacházejí uvnitř jednotkového kruhu v komplexní rovině.

## Prříklad

Jeli  $h_k = a^k$ , pak je soustava stabilní právě tehdy, když je  $|a| < 1$ .

## Stabilita stavového modelu

- pro stavový model obecně platí:  $D(z) = \det(z\mathbb{I} - \mathbb{A})$ ;
- kořeny  $D(z)$  jsou právě všechna vlastní čísla matice  $\mathbb{A}$  a jsou v absolutní hodnotě menší než hodnota 1;

### Príklad

Uvažujme nějakou stabilní soustavu a jednotkový skok  $1 = u_0 = u_1 = \dots$ , jako vstup. Pak pro přechodovou charakteristiku soustavy, posloupnost  $y_t$  dostaneme

$$\lim_{t \rightarrow \infty} y_t = \lim_{t \rightarrow \infty} \sum_{k=0}^t h_k y_{t-k} = \lim_{t \rightarrow \infty} \sum_{k=0}^t h_k = \sum_{k=0}^{\infty} h_k = y_{\infty}$$

a soustava se tedy v nekonečném horizontu ustálí na nové úrovni. Obecně tedy předpoklad  $h_t \rightarrow 0$  není postačující k tomu, aby řada  $\sum_{k=0}^{\infty} h_k$  byla konvergentní.

- Pokud jsou ale kořeny  $D(z)$  v jednotkovém kruhu (podmínka stability), pak také řada  $\sum_{k=0}^{\infty} h_k$  konverguje absolutně.

## Zhrnutí předchozí přednášky/opakování

### ❑ Modely lineární regulace & lineární soustavy

↪ modely, které posloupnost výstupných dat  $\{y_t\}$  modelují jako lineární funkci vstupných dat  $\{u_t\}$ , t.j.  $y_t = h_0 u_t + \dots + h_t u_0$ , pro  $t \in \mathbb{N} \cup \{0\}$ ;

### ❑ Obecný maticový zápis systému se stavy $\mathbf{x}_t = (x_{t1}, \dots, x_{tr})^\top$

$$\mathbf{x}_{t+1} = \mathbb{A} \mathbf{x}_t + \mathbf{b} u_t;$$

$$y_t = \mathbf{c} \cdot \mathbf{x}_t + d \cdot u_t,$$

pro nějakou matici  $\mathbb{A} \in \mathbb{R}^{r \times r}$ , vektory  $\mathbf{b}, \mathbf{c} \in \mathbb{R}^r$  a skalár  $d \in \mathbb{R}$ ;

### ❑ Řešení pomocí přenosové funkce soustavy

↪ cílem je najít vyjádření závislosti výstupné posloupnosti na vstupních datech prostřednictvím tzv. přenosové funkce soustavy:  $Y(z) = H(z)U(z)$ ;

$$H(z) = \sum_{k=0}^{\infty} h_k z^{-k} = [\mathbf{c}^\top \cdot (z\mathbb{I} - \mathbb{A})^{-1} \mathbf{b} + d] = N(z)/D(z)$$

### ❑ Základní vlastnosti lineární soustavy

- ❑ přechodová charakteristika soustavy  $\sum_{k=0}^t h_k$ ;
- ❑ stabilita lineární soustavy pro  $\lim_{t \rightarrow \infty} h_t = 0$ ;

Kapitola 4

# Markovské řetězce

## Deterministické data $\Rightarrow$ Stochastické data

- ❑ v **deterministických modelech** je výstup (reakce) jednoznačně definovaná pomocí vstupu (akce) – napr. **model lineární soustavy**;
- ❑ v **stochastických modelech** je přítomen náhodný element, který přináší do výstupu jistou míru neurčitosti – napr. **náhodná procházka**;

# Deterministické data $\Rightarrow$ Stochastické data

- v **deterministických modelech** je výstup (reakce) jednoznačně definovaná pomocí vstupu (akce) – napr. **model lineární soustavy**;
- v **stochastických modelech** je přítomen náhodný element, který přináší do výstupu jistou míru neurčitosti – napr. **náhodná procházka**;

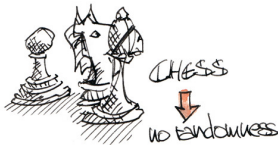


vs.



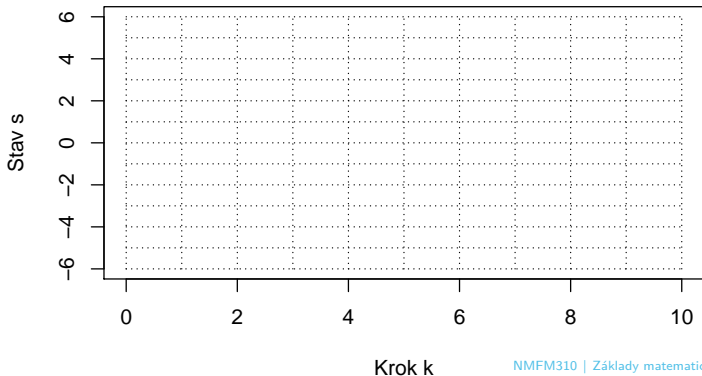
AGENT'S ACTIONS  
UNIQUELY DETERMINE  
THE OUTCOME

SOME RANDOMNESS  
INVOLVED



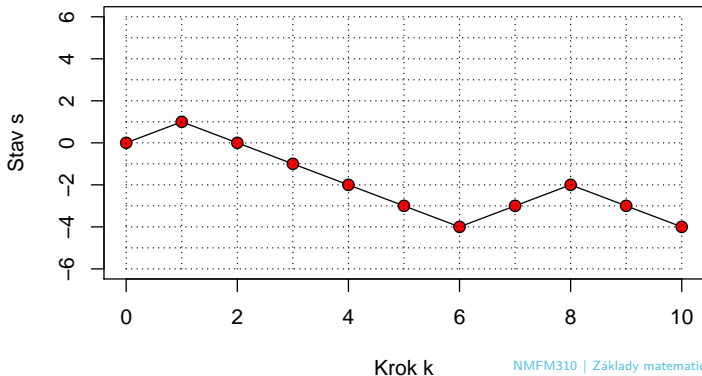
# Náhodná procházka na přímce

- ❑ házíme **symetrickou minci** (pravděpodobnost, že padne hlava je  $1/2$ );
- ❑ začínáme v počátku, t.j. **počátečný stav je v bodě nula**;
- ❑ když padne **hlava**, posuneme se na ose **napravo**, když **líce**, tak **nalevo**;



# Náhodná procházka na přímce

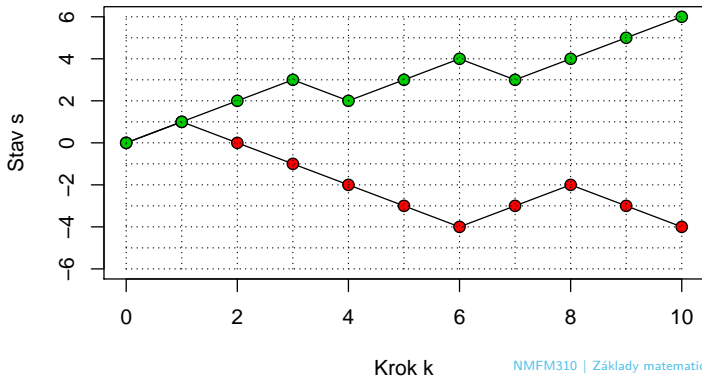
- ❑ házíme **symetrickou minci** (pravděpodobnost, že padne hlava je  $1/2$ );
- ❑ začínáme v počátku, t.j. **počáteční stav je v bodě nula**;
- ❑ když padne **hlava**, posuneme se na ose **napravo**, když **líce**, tak **nalevo**;





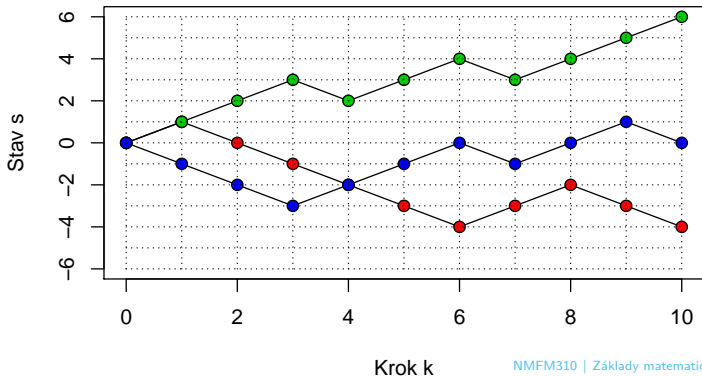
# Náhodná procházka na přímce

- ❑ házíme **symetrickou minci** (pravděpodobnost, že padne hlava je  $1/2$ );
- ❑ začínáme v počátku, t.j. **počátečný stav je v bodě nula**;
- ❑ když padne **hlava**, posuneme se na ose **napravo**, když **líce**, tak **nalevo**;



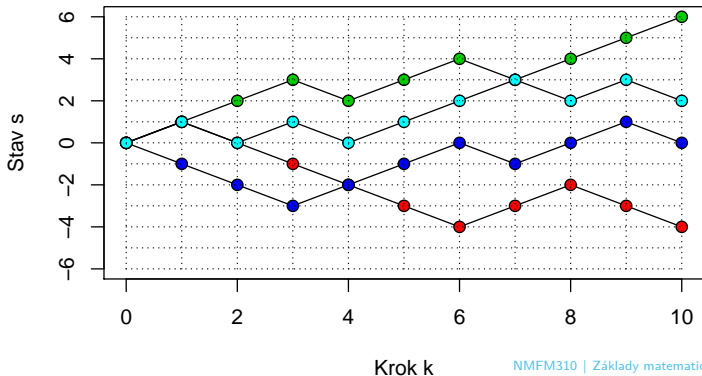
# Náhodná procházka na přímce

- ❑ házíme **symetrickou minci** (pravděpodobnost, že padne hlava je  $1/2$ );
- ❑ začínáme v počátku, t.j. **počáteční stav je v bodě nula**;
- ❑ když padne **hlava**, posuneme se na ose **napravo**, když **líce**, tak **nalevo**;



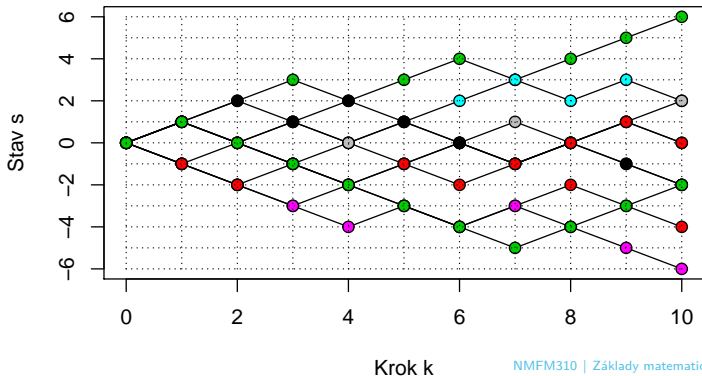
# Náhodná procházka na přímce

- ❑ házíme **symetrickou minci** (pravděpodobnost, že padne hlava je  $1/2$ );
- ❑ začínáme v počátku, t.j. **počáteční stav je v bodě nula**;
- ❑ když padne **hlava**, posuneme se na ose **napravo**, když **líce**, tak **nalevo**;



# Náhodná procházka na přímce

- házíme **symetrickou minci** (pravděpodobnost, že padne hlava je  $1/2$ );
- začínáme v počátku, t.j. **počáteční stav je v bodě nula**;
- když padne **hlava**, posuneme se na ose **napravo**, když **líce**, tak **nalevo**;



# Stochastické celočíselné posloupnosti

- ❑ uvažujme nějakou posloupnost  $\{X_n; n \in \mathbb{N}\}$ , která nabývá pouze celočíselné hodnoty;
- ❑ hodnoty  $n \in \mathbb{N}$  interpretujeme jako časové okamžiky, ve kterých posloupnost  $\{X_n\}$  nabývá své hodnoty;
- ❑ hodnoty  $s \in \mathbb{S}$ , které může posloupnost  $\{X_n\}$  hypoteticky nabývat, nazýváme stavy;
- ❑ množina  $\mathcal{S}$  všech možných stavů posloupnosti  $\{X_n\}$ , které může posloupnost nabývat, se nazývá stavový prostor;
- ❑ budeme uvažovat pouze diskrétní časové okamžiky a posloupnosti, kde  $\mathcal{S}$  je nejvýše spočetná množina;
- ❑ stav posloupnosti  $\{X_n\}$  v nějakem konkrétním čase  $n \in \mathbb{N}$  závisí na předchozích stavech, ale závislost není deterministická;
- ❑ stav posloupnosti  $\{X_n\}$  v čase  $n \in \mathbb{N}$  je vyjádřen prostřednictvím pravděpodobnostního modelu;

# Markovský řetězec a markovská vlastnost

## Definice: Markovův řetězec

Řekneme, že posloupnost celočíselných náhodných veličin  $\{X_n\}_{n=0}^{\infty}$  se nazývá **Markovův řetězec** (markovský řetězec), jestliže platí, že

$$P[X_{n+1} = j | X_n = i_n, \dots, X_0 = i_0] = P[X_{n+1} = j | X_n = i_n],$$

pro každé  $n \geq 0$  a každé  $i_0, \dots, i_n \in \mathbb{Z}$  takové, že

$$P[X_n = i_n, \dots, X_0 = i_0] > 0.$$

Množina všech stavů je v tomto případě množina  $\mathbb{Z}$ , t.j.,  $\mathcal{S} \equiv \mathbb{Z}$ .

**Markovskou vlastností** nazýváme fakt, že výsledek v čase  $n + 1$  závisí pouze na stavu daného řetězce v čase  $n$  (tudíž na stave v předchozím kroku, neboli v přítomnosti), nikoli na minulosti, t.j. na posloupnosti realizovaných stavů před časem  $n$ .

# Markovský řetězec a markovská vlastnost

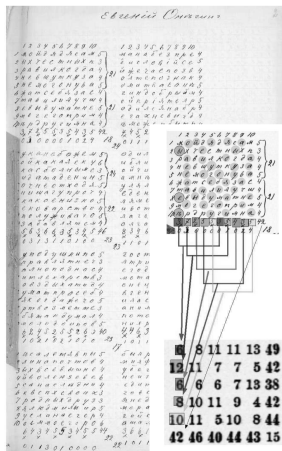


## Příklady Markovských řetězců

- ❑ **První aplikace:** Andrei A. Markov použil Markovský řetězec na analýzu 20.000 listů z Pushkinovej básne Eugeny Onegin a studoval pravděpodobnosti výskytu samohlásek a souhlasek na základě předchozího výskytu (samohlásek a souhlasek);
- ❑ **Teória informací:** striktně povedané, každý proces pri ktorom zdroj prenáša nějaké informace, je markovský řetězec (Shannonova teorie);
- ❑ **Informatika (IT):** aplikácia pre vyhľadavacie algoritmy (napr. Google), hodnotenie web stránok (PageRank), computer performance evaluation;
- ❑ **Marketing:** systémy hromadné obsluhy, modelování správania zákazníkov/klientov a modelování změn ich preferencí;
- ❑ **Finance a business:** modelování různých finančných trhů, změny různých stavů, jejich chování a pod.
- ❑ **Matematika:** simulačné metody, rozhodovací algoritmy, analýza a spracování dat, atd'.



# Markovský řetězec a Eugeny Onegin



- prvních 800 písmen z celkových 20.000 listů v Pushkinovom Eugeny Oneginovi;
- výskyt jednotlivých písmen zapsán pomoci 40 čtvercových matic typu  $10 \times 10$ ;
- spodní matice typu  $6 \times 6$  zobrazuje frekvenční výskyt některých písmen v 500 případech;
- na základě této analýzy sa ukázalo, že není žádný matematický rozdíl mezi kostkou, kterou hodíme 1000 krát a 1000 kostkami, které hodíme jednou;

Hilgers, P. and Langville, A. (2006). The Five Greatest Applications of Markov Chains. MAM 2006: Markov Anniversary Meeting . Raleigh 2006.

## Pravděpodobnosti přechodu

**Definice:** Pravděpodobnost přechodu

Pravděpodobnost  $p_{ij}(n, n + 1) \in [0, 1]$ , pro  $i, j \in \mathcal{S}$ , definovanou jako

$$p_{ij}(n, n + 1) = P[X_{n+1} = j | X_n = i],$$

nazýváme pravděpodobnost přechodu ze stavu  $i$  v čase  $n$  do stavu  $j$  v čase  $n + 1$ ;

**Definice:** Homogenní Markovský řetězec

Markovský řetězec se nazývá homogenní, jestliže platí, že

$$p_{ij} = p_{ij}(n, n + 1),$$

pro všechny  $i, j \in \mathcal{S}$ , tudíž pravděpodobnosti přechodů ze stavu  $i$  do stavu  $j$  nezávisí na čase  $n$ .

## Počáteční rozdělení řetězce

### Definice: Počáteční rozdělení

Pravděpodobnosti  $p_i \in [0, 1]$ , pro  $i \in \mathcal{S}$ , které jsou definovány jako

$$p_i = P[X_0 = i],$$

pro  $i \in \mathcal{S}$ , nazýváme **počáteční rozdělení řetězce**.

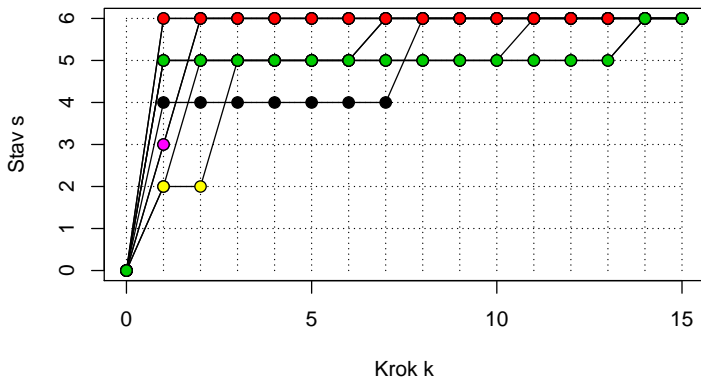
- v případě homogenních Markovských řetězců se obvykle přechodové pravděpodobnosti zapisují v maticovém tvaru – tzv. **matici přechodových pravděpodobností** (resp. přechodová matice):  $\mathbb{P} = (p_{ij})_{i,j \in \mathcal{S}}$ ;
- počáteční rozdělení řetězce se zapisuje pomocí vektoru pravděpodobnosti počátečního rozdělení:  $\mathbf{p} = (p_1, \dots, p_{|\mathcal{S}|})^\top$ ;

# Matice přechodových pravděpodobnosti

- ❑ matice přechodových pravděpodobnosti je definována jako  $\mathbb{P} = (p_{ij})_{i,j=1}^{|\mathcal{S}|}$ ; (pro nejvýše spočetný stavový prostor  $\mathcal{S}$  a stavy  $i, j \in \mathcal{S}$ )
- ❑ matice přechodových pravděpodobnosti může být **obecně nekonečná**; (pro nekonečnou, ale nejvýše spočetnou množinu stavů  $\mathcal{S}$ )
- ❑ matice přechodových pravděpodobnosti je **stochastická matice**; (součet hodnot v každém řádku je roven hodnotě jedna)
- ❑ vektor počátečního rozdělení řetězce má **součet jedna**; (v nějakom stave  $s \in \mathcal{S}$  musí řetězec začít)
- ❑ obecně řádky přechodové matice  $\mathbb{P} = (p_{ij})_{i,j=1}^{|\mathcal{S}|}$  značí výchozí stav  $i \in \mathcal{S}$  a v sloupcích matice se uvádějí koncové stavy  $j \in \mathcal{S}$ ;

## Příklad: Dosažené maximum na hrací kostce

- obecně v  $n$ -tém tahu sledujeme dosažené maximum v  $n$  hodech;
- minimální hodnota (stav) je jedna, maximální (stav) je hodnota 6;



## Příklad: Dosažené maximum na hrací kostce

### Příklad

Házíme spravedlivou hrací kostkou a sledujeme dosažené maximum v  $n \in \mathbb{N}$  hodech. Množina stavů je  $\mathcal{S} = \{1, \dots, 6\}$  a matici přechodových pravděpodobností pak můžeme zapsát jako

$$\mathbb{P} = \begin{pmatrix} \frac{1}{6} & \frac{1}{6} & \frac{1}{6} & \frac{1}{6} & \frac{1}{6} & \frac{1}{6} \\ 0 & \frac{2}{6} & \frac{1}{6} & \frac{1}{6} & \frac{1}{6} & \frac{1}{6} \\ 0 & 0 & \frac{3}{6} & \frac{1}{6} & \frac{1}{6} & \frac{1}{6} \\ 0 & 0 & 0 & \frac{4}{6} & \frac{1}{6} & \frac{1}{6} \\ 0 & 0 & 0 & 0 & \frac{5}{6} & \frac{1}{6} \\ 0 & 0 & 0 & 0 & 0 & 1 \end{pmatrix},$$

kde  $p_{ij}$  značí pravděpodobnost přechodu ze stavu  $i$  (řádek) do stavu  $j$  (sloupec), pro libovolné  $i, j \in \mathcal{S}$ .

## Existence cesty v Markovském řetězci

- v souvislosti s Markovskými řetězci je někdy důležité vyšetřit existenci cesty z nějakého stavu  $i \in \mathcal{S}$  do nějakého jiného stavu  $j \in \mathcal{S}$ ;

### Věta: Existence cesty v Markovském řetězci

Nechť  $\{X_n\}_{n=0}^{\infty}$  je homogenní Markovský řetězec s nejvýše spočetnou množinou stavů  $\mathcal{S}$ , počátečním rozdělením  $(p_i; i \in \mathcal{S})$  a maticou přechodových pravděpodobností  $\mathbb{P} = (p_{ij})_{i,j \in \mathcal{S}}$ .

Pak platí, že

$$P[X_0 = i_0, X_1 = i_1, \dots, X_n = i_n] = p_{i_0} p_{i_0 i_1} \cdots p_{i_{n-1} i_n},$$

pro libovolné stavy  $i_0, \dots, i_n \in \mathcal{S}$ .

## Pravděpodobnosti přechodů vyšších řádů

- existence cesty ze stavu  $i \in \mathcal{S}$  do stavu  $j \in \mathcal{S}$  v  $n$  krocích souvisí s přechodovými pravděpodobnostmi vyšších řádů – pravděpodobnostmi  $p_{ij}^{(n)}$ ;

**Definice:** Pravděpodobnost přechodu v  $n$  krocích

Nechť  $p_{ij}^{(0)} = \mathbb{I}_{\{i=j\}}$  a  $p_{ij}^{(1)} = p_{ij}$ . Pak pravděpodobnost

$$p_{ij}^{(n+1)} = \sum_{k \in \mathcal{S}} p_{ik}^{(n)} p_{kj}$$

se nazývá pravděpodobnost přechodu ze stavu  $i$  do stavu  $j$  po  $(n + 1)$  krocích (resp.  $p_{ik}^{(n)}$  je pravděpodobnost přechodu  $n$ -tého řádu ze stavu  $i$  do stavu  $k$ ).

- pro matici přechodových pravděpodobností  $n$ -tého řádu pak používáme značení  $\mathbb{P}^{(n)} = (p_{ij}^{(n)})_{i,j \in \mathcal{S}}$ ;



## Pravděpodobnost přechodu $n$ -tého řádu

**Věta:** Pravděpodobnost přechodu v  $n$ -tém kroku

Nechť  $m \in \mathbb{N} \cup \{0\}$  a  $i, j \in \mathcal{S}$ . Pak platí, že

$$P[X_{m+n} = j | X_m = i] = p_{ij}^{(n)}.$$

Pro matici přechodových pravděpodobností  $n$ -tého řádu zároveň platí, že

$$\mathbb{P}^{(n)} = \mathbb{P}^n.$$

- stejně jako matice  $\mathbb{P}$  aj matice přechodových pravděpodobností vyšších řádů  $\mathbb{P}^{(m)}$ , jsou **stochastické matice**, t.j. součet prvků v každém řádku je roven hodnotě jedna;

## Příklad: Dosažené maximum na hrací kostce

### Príklad

Házíme spravodlivou hrací kostkou a sledujeme dosažené maximum v  $n \in \mathbb{N}$  hodech. Množina stavů je  $\mathcal{S} = \{1, \dots, 6\}$  a matici přechodových pravděpodobností pak můžeme zapsat jako  
Pro přechodové pravděpodobnosti vyšších řádů máme

$$p_{ij}^{(n)} = \begin{cases} 0 & \text{pro } i > 0; \\ \left(\frac{j}{6}\right)^n & \text{pro } i = j; \\ \left(\frac{j}{6}\right)^n - \left(\frac{j-1}{6}\right)^n & \text{pro } j > i; \end{cases}$$

# Chapman-Kolmogorova věta

## Věta: Chapman-Kolmogorov

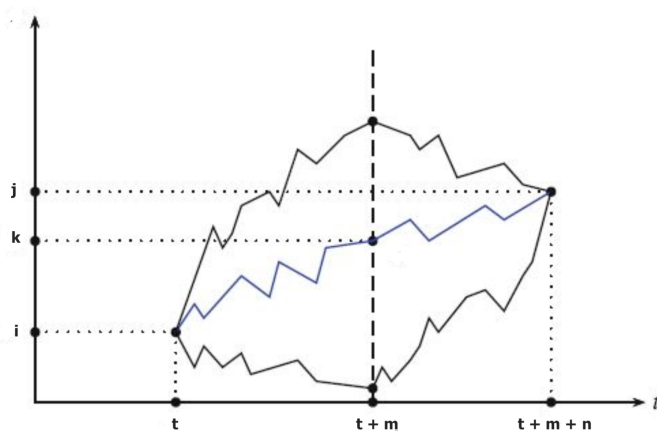
Nechť  $\{X_n\}_{n=0}^{\infty}$  je homogenní Markovský řetězec. Pak pro libovolná  $n, m \in \mathbb{N}$  platí, že

$$p_{ij}^{(n+m)} = \sum_{k \in S} p_{ik}^{(n)} p_{kj}^{(m)}.$$

### □ IDEA:

Pro pravděpodobnost cesty ze stavu  $i \in S$  do stavu  $j \in S$  v  $n+m$  krocích, se stačí podívat na všechny možné dosažitelné stavy  $k \in S$  po  $n$  krocích a pak všechny možné cesty ze stavu  $k \in S$  do stavu  $j \in S$  v  $m$  krocích.

# Chapman-Kolmogorova věta



# Zhrnutí předchozí přednášky/opakování

## □ Markovské řetězce

- Poslopnosti celočíselných náhodných veličin:  $\{X_n; n \in \mathbb{N}\}$ ; (uvažujeme pouze diskrétní čas a diskrétní stavy);
- Množina stavů  $\mathcal{S}$  je nejvýše spočetná (např.  $\mathcal{S} \equiv \mathbb{Z}$ );
- Platí Markovská vlastnost:  $P[X_{n+1} = j | X_n, \dots, X_1] = P[X_{n+1} = j | X_n]$ ;
- **Homogenita**: nezávislost přechodů mezi stavy na čase  $n \in \mathbb{N}$ ;

## □ Pravděpodobnosti přechodů a počáteční rozdělení

- Pravděpodobnost přechodu ze stavu  $i$  do stavu  $j$ :

$$p_{ij} = P[X_{n+1} = j | X_n = i]$$

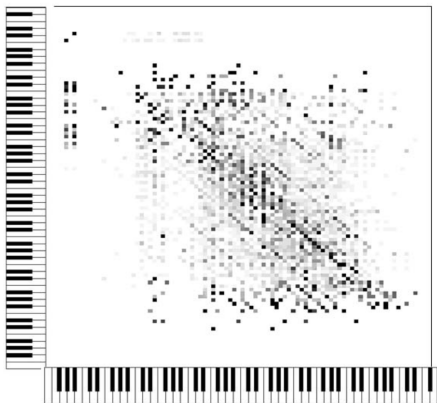
- Pravděpodobnost přechodu ze stavu  $i$  do  $j$   $n$ -tého řádku:

$$p_{ij}^{(n)} = P[X_{m+n} = j | X_m = i]$$

- Počáteční rozdělení Markovského řetězce pro stavy  $i \in \mathcal{S}$ :

$$p_i = P[X_0 = i]$$

# Reprezentace Markovského řetězce



I. Stravinsky "The Fire-bird" suite melody

- pomoci matice přechodových pravděpodobnosti  $\mathbb{P} = (p_{ij})_{i,j \in S}$ ;
- případně matice přechodových pravděpodobnosti vyšších řádů  $\mathbb{P}^{(n)}$ ;
- orientovaný graf s vrcholy pro stavy a váhami pro jednotlivé hrany;
- obrázek ilustrující matici přechodových pravděpodobnosti;

## Klasifikace stavů Markovského řetězce

**Definice:** Dosažitelnost stavu v Markovském řetězci

Řekneme, že nějaký stav  $j \in \mathcal{S}$  je **dosažitelný** ze stavu  $i \in \mathcal{S}$ , pokud existuje číslo  $n \in \mathbb{N}$  takové, že  $p_{ij}^{(n)} > 0$ .

- pro vyjádření faktu, že stav  $j$  je dosažitelný ze stavu  $i$  (ne nutně v jednom kroku), používáme značení  $i \longrightarrow j$ ;

**Definice:** Nerozložitelnost Markovského řetězce

Řekneme, že Markovský řetězec je **nerozložitelný**, pokud každý stav je dosažitelný z každého stavu.

- dosažitelnost stavů v Markovském řetězci a nerozložitelnost řetězce nemusí být patrná pouze z pohledu na samotnou matici  $\mathbb{P}$ ;

# Rozložitelnost a nerozložitelnost řetězce

## příklad

Uvažujme Markovský řetězec se čtyřprvkovou množinou stavů  $S$  a maticou přechodových pravděpodobnosti

$$\mathbb{P} = \begin{pmatrix} 1/2 & 1/2 & 0 & 0 \\ 0 & 0 & 1 & 0 \\ 0 & 0 & 0 & 1 \\ 0 & 1 & 0 & 0 \end{pmatrix}$$

- ❑ jedná se o rozložitelný Markovský řetězec protože stav 1 nelze dosáhnout ze žádného jiného stavu 2,3 a 4;
- ❑ pro nerozložitelnost řetězce by stačilo umožnit přechod ze stavu 2 do stavu 1, t.j., definovat  $p_{21} > 0$ ;

## Samostatný úkol

Reprezentujte Markovský řetězec z příkladu pomocí vhodného grafu.



## Uzavřená množina stavů

### Definice: Množna uzavřených stavů

Řekneme, že neprázdná množina stavů  $\mathcal{C} \subset \mathcal{S}$  je **uzavřená množina**, pokud každý stav vně množiny  $\mathcal{C}$  není dosažitelný z žádného stavu množiny  $\mathcal{C}$ .

#### ❑ IDEA:

Jakmile řetězec jednou vejde do nějakého stavu  $s \in \mathcal{C}$ , pak již nemůže řetězec nabýt žádného jiného stavu, kromě stavů v množině  $\mathcal{C}$ .

- ❑ uzavřenost ve zmyslu *nemůžeme ven, ale pořád můžeme dovnitř*;

### Věta: Nerozložitelnost řetězce I

Markovský řetězec je nerozložitelný právě tehdy, když neexistuje žádná uzavřená množina  $\mathcal{C} \subset \mathcal{S}$ , taková, že  $\mathcal{C} \neq \mathcal{S}$ .

## Rozložitelnost a nerozložitelnost řetězce

### Věta: Uzavřená množina stavů

Množina stavů  $C \subset S$ , taková, že  $C \neq S$  je uzavřená právě tehdy, když platí, že

$$p_{jk} = 0 \quad \text{pro} \quad \forall j \in C \quad \text{a} \quad \forall k \notin C.$$

### Věta: Nerozložitelnost řetězce II

Řetězec je nerozložitelný právě tehdy, když po vhodném přecíslování stavů řetězce (a teda příslušnou permutaci řádků a sloupců matice  $\mathbb{P}$ ) je matice přechodových pravděpodobností ve tvaru

$$\mathbb{P} = \begin{pmatrix} \mathbb{P}_1 & \mathbf{0} \\ \mathbf{Q} & \mathbb{R} \end{pmatrix},$$

kde  $\mathbb{P}_1$  a  $\mathbb{R}$  jsou čtvercové matice a  $\mathbb{P}_1$  je navíc stochastická.

## Doba prvního vstupu (návratu) do stavu

**Definice:** Doba prvního vstupu

Pro libovolný stav  $i \in \mathcal{S}$  definujeme

$$\nu_i = \inf\{n \in \mathbb{N}; X_n = i\}$$

jako čas prvního vstupu (resp. doba prvního návratu) řetězce  $\{X_n; n \in \mathbb{N}\}$  do stavu  $i \in \mathcal{S}$ , t.j., záleží na počátečním rozdělení).

- analogicky lze definovat i obecný čas  $k$ -tého vstupu (návratu) řetězce do stavu  $i \in \mathcal{S}$  jako

$$\nu_i(k) = \inf\{n > \nu_i(k-1); X_n = i\},$$

kde definujeme  $\nu_i(1) \equiv \nu_i$ , pro  $i \in \mathcal{S}$ ;

## Doba mezi návraty do stavu

Pro doby, které Markovský řetězec stráví mezi jednotlivými návraty do daného stavu  $i \in \mathcal{S}$  se obecně zavádí značení

- $T_i(1) = \nu_i = \nu_i(1)$ : doba do prvního návratu/vstupu do stavu  $j \in \mathcal{S}$ ;
  - $T_i(2) = \nu_i(2) - \nu_i(1)$ : doba mezi prvním a druhým návratem/vstupem;
  - $T_i(k) = \nu_i(k) - \nu_i(k-1)$ : doba mezi  $k$ -tým a  $(k-1)$ -vým návratem;
- Samozřejmě platí, že

$$\nu_i(k) = T_i(1) + T_i(2) + \dots + T_i(k);$$

### Poznámka:

Je vhodné rozlišovat **návrat do stavu**  $i \in \mathcal{S}$  (pokud již řetězec v tomto stavu v minulosti byl) a **vstup do stavu**  $i \in \mathcal{S}$  (pokud řetězec v daném stavu ještě nebyl). V praxi (ovšem ne nutně vždy a všude) se obecně používá vyjádření o prvním vstupu do stavu  $i \in \mathcal{S}$  ("nultý" návrat) a pak o  $k$ -tém návratu (t.j.,  $(k+1)$ -ní vstup).

## Trvalý a přechodný stav v Markovském řetězci

### Definice: Trvalý stav

Stav  $i \in \mathcal{S}$  takový, že platí

$$P_i[\nu_i < \infty] = P[\nu_i < \infty | X_0 = i] = 1,$$

se nazývá **trvalý stav** řetězce  $\{X_n; n \in \mathbb{N}\}$ .

### Definice: Přechodný stav

Stav  $i \in \mathcal{S}$  takový, že platí

$$P_i[\nu_i = \infty] = P[\nu_i = \infty | X_0 = i] > 0,$$

se nazývá **přechodný (transientní) stav** řetězce  $\{X_n; n \in \mathbb{N}\}$ .

## Přechodný a trvalý nulový a nenulový stav

- ❑ **Trvalý stav** je teda takový, že řetězec, který vychází ze stavu  $i \in \mathcal{S}$  (proto podmínka, že  $X_0 = i$ ), se v konečně mnoha krocích do tohoto stavu **vrátí s pravděpodobností 1**;
- ❑ V opačném případě (t.j., existuje kladná pravděpodobnost, že řetězec, který začal ve stavu  $i \in \mathcal{S}$ , se již nikdy do tohoto stavu nevrátí) řekneme, že **stav je přechodný**.

### Definice: Trvalý nulový a nenulový stav

- ❑ Trvalý stav  $i \in \mathcal{S}$  takový, že  $E_i \nu_i = \infty$ , se nazývá **nulový stav**;
- ❑ Trvalý stav  $i \in \mathcal{S}$  takový, že  $E_i \nu_i < \infty$ , se nazývá **nenulový stav**;

Střední hodnoty v definici jsou definované vzhledem k pravděpodobnostní míře  $P_i[\cdot] = P[\cdot | X_0 = i]$  (t.j., záleží na počátečním rozdělení);

## Klasifikace stavů v Markovském řetězci

- Do trvalého stavu se Markovský řetězec vrátí nekonečně mnoho krát s pravděpodobností 1.
- Do přehodného stavu se Markovský řetězec vrátí nekonečně mnoho krát s pravděpodobností nula.
- Necht'  $f_i^{(n)} = P_i[\nu_i = n]$  (první návrat v čase  $n$ ) a necht'  $f_i^{(0)} = 0$ . Pak je zřejmé, že stav  $i \in \mathcal{S}$  je trvalý, právě tehdy, když platí, že

$$\sum_{n=1}^{\infty} f_i^{(n)} = \sum_{n=0}^{\infty} f_i^{(n)} = 1;$$

- Pro střední hodnotu  $E_i \nu_i$  platí:  $E_i \nu_i = \sum_{n=1}^{\infty} n P_i[\nu_i = n] = \sum_{n=1}^{\infty} n f_i^{(n)}$ ;
- Obecně pro  $n \geq 1$  platí, že  $p_{ij}^{(n)} = P_i[X_n = j] = \sum_{k=1}^n f_i^{(k)} p_{ij}^{(n-k)}$ ;
- Obecně pro  $n \geq 0$  a  $i \neq j$  platí  $p_{ij}^{(n)} = P_i[X_n = j] = \sum_{k=1}^n f_{ij}^{(k)} p_{ij}^{(n-k)}$ ,  
kde  $f_{ij}^{(n)} = P_i[\nu_j = n] = P[\nu_j = n | X_0 = i]$  (první vstup v čase  $n$ );

## Periodický a neperiodický stav

### Definice: Periodický stav

Stav  $i \in \mathcal{S}$  v homogénním Markovském řetězci  $\{X_n; n \in \mathbb{N}\}$  se nazývá **periodický s periodou**  $d \in \mathbb{N}$ , pokud platí, že

$$d = NSD(n > 0; p_{ii}^{(n)} > 0) > 1,$$

teda největší společný dělitel pro čas návratu do stavu  $i$  je větší jako jedna.

- Pokud platí, že  $NSD = 1$ , pak řekneme, že stav  $i \in \mathbb{N}$  je **aperiodický** neboli **neperiodický**.



## Stavy stejného typu

### Definice: Stavy stejného typu

Řekneme, že dva stavy jsou stejného typu, pokud platí, že oba stavy jsou **trvalé/přechodné**, **nulové/nenulové** a **periodické/neperiodické**, so stejnou periodou  $d > 1$ .

### Príklad

- Ověřte, že v Markovském řetězci s přechodovou maticí

$$\mathbb{P} \begin{pmatrix} 0 & 1 & 0 & 0 & 0 \\ 0 & 0 & p & (1-p) & 0 \\ 1 & 0 & 0 & 0 & 0 \\ 0 & 0 & 0 & 0 & 1 \\ 0 & 1 & 0 & 0 & 0 \end{pmatrix},$$

jsou všechny stavy periodické, s periodou  $d = 3$  pro  $p \in (0, 1)$ .

- Co se stane, když do procesu přidáme jednu smyčku typu  $p_{ii} > 0$ ?

# Klasifikace stavů v Markovském řetězci

## Věta: Trvalý a trvalý nulový stav

- ❑ Stav  $i \in \mathcal{S}$  je **trvalý**  $\Leftrightarrow \sum_{n=0}^{\infty} p_{ii}^{(n)} = \infty$ ;
- ❑ Stav  $i \in \mathcal{S}$  je **přechodný**  $\Leftrightarrow \sum_{n=0}^{\infty} p_{ii}^{(n)} < \infty$ ;
- ❑ Trvalý stav  $i \in \mathcal{S}$  je **nulový**  $\Leftrightarrow p_{ii}^{(n)} \rightarrow 0$  pro  $n \rightarrow \infty$ ;

## Věta: Řetězec s konečně mnoho stavů

- ❑ V řetězci s konečně mnoho stavů nemohou být všechny stavy přechodné.
- ❑ V řetězci s konečně mnoho stavů neexistují stavy trvalé nulové.
- ❑ Když existuje **cesta**  $i \rightarrow j \rightarrow i$ , pak jsou oba **stavy**  $i$  a  $j$  **stejného typu**. Pokud  $i \rightarrow j \not\rightarrow i$ , pak stav  $i$  je **přechodný**.
- ❑ V **nerozložitelném** řetězci jsou **všechny stavy stejného typu**.

## Absorbčné a ergodické stavy

- V případě Markovských procesů je užitečné ještě definovat tzv. absorbční stav a ergodický stav procesu.

### Definice: Absorbční stav

Stav, ze kterého není dosažitelný žádný jiný stav, se nazývá **absorbční**.

### Definice: Ergodický stav

Stav, který je trvalý, nenulový a neperiodický, se nazývá **ergodický**.

## Příklad: Dosažené maximum na hrací kostce

### Príklad

- ❑ stav  $i \in \mathcal{S}$  je trvalý  $\Leftrightarrow \sum_{n=0}^{\infty} p_{ii}^{(n)} = \infty$ , pro  $i = 1, \dots, 6$ ;
  - ❑ v našem případě platí:  $p_{ii}^{(n)} = \left(\frac{i}{6}\right)^n$ ;
  - ❑ pro  $i = 1, \dots, 5$  je řada konvergentní;
  - ❑ pro  $i = 6$  je suma divergentní;
- ❑ stav  $i = 6$  je proto trvalý, stavy  $i = 1, \dots, 5$  jsou přechodné;
- ❑ je stav  $i = 6$  nulový nebo nenulový?
  - ❑ podle definice:  $E_i \nu_i = 1 \cdot 1 = 1 < \infty$ ;
  - ❑ stav  $i = 6$  je proto trvalý nenulový;
  - ❑ střední doba návratu do stavu  $i = 6$  je 1 ( $\nu_6 = 1$ );
  - ❑ množina stavů  $\{6\}$  je uzavřená, a stav je absorbční;

## Příklad: Náhodná procházka

### Príklad

- ❑ otázka zní, jak se chovají pravděpodobnosti  $p_{ii}^{(n)}$ ?
- ❑ z povahy řetězce je zřejmé, že  $p_{ii}^{(n)} = 0$  pro  $n \in \mathbb{N}$  liché;
- ❑ pro pravděpodobnosti  $p_{ii}^{(2n)}$  pak dostaneme:

$$p_{ii}^{(2n)} = \binom{2n}{n} 2^{-2n} = \frac{(2n)! 2^{-2n}}{(n!)^2} \approx \frac{(2n)^{2n} e^{-2n} \sqrt{4\pi n} 2^{-2n}}{n^{2n} e^{-2n} 2\pi n} = \frac{1}{\sqrt{n\pi}} \rightarrow 0,$$

kde jsme využili Stirlingovou aproximaci  $n! \approx n^n e^{-n} \sqrt{2\pi n}$ ;

- ❑ tudíž platí, že  $p_{ii}^{(n)} \rightarrow 0$ , pro  $n \rightarrow \infty$ ;
- ❑ zároveň platí, že  $\sum_{n=1}^{\infty} p_{ii}^{(n)} = \infty$ ;
- ❑ všechny stavy jsou proto trvale nulové;

## Příklad: Človeče nezlob se!

### Samostatný úkol

Uvažujte hru Človeče nezlob se, kde hrací plocha má pouze 15 stanovišť. Hráč se posune o tolik kroků dopředu, kolik hodil bodů na kostce. Když hodí hodnotu šest, háže opět a posune se o počet kroků daný součtem bodů v jednotlivých hodech. Hra končí, když se hráč vrátí spátky na startovací pozici – t.j. políčko č. 15.

Jak vypadá matice přechodových pravděpodobností? Klasifikujte stavy Markovského procesu.



## Zhrnutí předchozí přednášky/opakování

- ❑ Homogénní Markovské řetězce s diskrétným časem  $n \in \mathbb{N}$  a nejvýše spočetnou množinou stavů  $S$ ;
- ❑ Klasifikace stavů v Markovském řetězci:
  - ❑ Trvalé nulové a nenulové stavy;
  - ❑ Přejídné stavy;
  - ❑ Neperiodické a periodické stavy s periodou  $d > 1$ ;
  - ❑ Absorbční a ergodické stavy;
- ❑ Rozložitelnost a nerozložitelnost řetězce:
  - ❑ Dosažitelnost stavů (existence cesty  $i \rightarrow j \rightarrow i$ );
  - ❑ Uzavřené podmnožiny stavů  $\Rightarrow$  rozložitelnost řetězce;
- ❑ Zavedené veličiny a značení:
  - ❑ Počáteční a přechodové pravděpodobnosti:  $p_i, p_{ij}, p_{ij}^{(n)}$  pro  $i, j \in S$ ;
  - ❑ Čas prvního (obecně  $k$ -tého) návratu/vstupu do stavu  $i \in S$ :  $\nu_i(k)$ ;
  - ❑ Čas mezi  $k$ -tým a  $(k - 1)$ -ním vstupem do stavu  $i \in S$ :  $T_i(k)$ ;
  - ❑ Podmíněná pravděpodobnost počátečním stavem:  $P_i[\cdot] = P[\cdot | X_0 = i]$ ;
  - ❑ Pravděpodobnost návratu/vstupu do stavu  $i \in S$  v čase  $n \in \mathbb{N}$ :  $f_i^{(n)}, f_{\ell i}^{(n)}$ ;

# Chování Markovských řetězců

- ❑ homogénní Markovský řetězec  $\{X_n; n \in \mathbb{N}\}$  s diskrétním časem a nejvýše spočetnou množinou stavů  $S$ ;
- ❑ zajíma nás dlouhodobé chování Markovských řetězců, t.j., pro  $n \rightarrow \infty$ ;
- ❑ jaké je marginální rozdělení náhodnej veličiny  $X_n$ , pro  $n \rightarrow \infty$ ;
- ❑ náhodné veličiny  $X_n$  mají obecně různé rozdělení pro různá  $n \in \mathbb{N}$ ;



# Chování Markovských řetězců

- ❑ homogenní Markovský řetězec  $\{X_n; n \in \mathbb{N}\}$  s diskrétním časem a nejvýše spočetnou množinou stavů  $\mathcal{S}$ ;
- ❑ zajímá nás dlouhodobé chování Markovských řetězců, t.j., pro  $n \rightarrow \infty$ ;
- ❑ jaké je marginální rozdělení náhodnej veličiny  $X_n$ , pro  $n \rightarrow \infty$ ;
- ❑ náhodné veličiny  $X_n$  mají obecně různé rozdělení pro různá  $n \in \mathbb{N}$ ;
  
- ❑ **Otázka:** Lze něco obecně říct o rozdělení  $X_n$ , pro  $n \rightarrow \infty$ ?
  - ❑ např., rozdělení je stejné pro všechny  $n \geq n_0$ , pro nějaké vhodně zvolené  $n \in \mathbb{N}$ ;
  - ❑ nebo rozdělení náhodne veličiny  $X_n$  konverguje k nějakému limitnímu rozdělení pro  $n \rightarrow \infty$ ;
  - ❑ nebo existuje nějaké rozdělení Markovského řetězce, které zaručuje nějakou "stabilitu" řetězce;

# Stacionární rozdělení Markovského řetězce

## Definice: Stacionární rozdělení Markovského řetězce

Řekneme, že pravděpodobnostné rozdělení  $\pi = (\pi_i; i \in \mathcal{S})$  na množině stavů  $\mathcal{S}$  je **stacionární rozdělení Markovského řetězce**, pokud platí, že

$$\pi_j = \sum_{i \in \mathcal{S}} \pi_i p_{ij},$$

pro všechny  $j \in \mathcal{S}$ . Maticově lze také zapsat jako

$$\pi^T = \pi^T \mathbb{P},$$

pro matici přechodových pravděpodobnosti  $\mathbb{P}$ .

## Samostatný úkol

Vysvětlete, co znamená, že  $\pi = (\pi_i; i \in \mathcal{S})$  je pravděpodobnostné rozdělení na množině stavů  $\mathcal{S}$ .

## Limitní rozdělení Markovského řetězce

### Definice: Limitní rozdělení Markovského řetězce

Řekneme, že pravděpodobnostné rozdělení  $\mathcal{P} = (p_i; i \in \mathcal{S})$  na množině stavů  $\mathcal{S}$  je **limitní rozdělení Markovského řetězce**, pokud platí, že

$$p_i = \lim_{n \rightarrow \infty} p_i(n),$$

kde  $p_i(n) = P[X_n = i]$ , pro  $i \in \mathcal{S}$ .

### Samostatný úkol

Ukážte, že pro Markovský řetězec s maticou přechodových pravděpodobnosti

$$\mathbb{P} = \begin{pmatrix} 1/2 & 1/2 & 0 & 0 \\ 1/2 & 1/2 & 0 & 0 \\ 0 & 0 & 1/2 & 1/2 \\ 0 & 0 & 1/2 & 1/2 \end{pmatrix}$$

neexistuje limitní rozdělení.

## Limitní vs. stacionární rozdělení

- ❑ **Stacionární rozdělení** Markovského řetězce se vztahuje pouze k pravděpodobnostem přechodu  $p_{ij}$ , pro  $i, j \in \mathcal{S}$ . **Nezávisí teda na počátečním rozdělení Markovského řetězce.**
- ❑ **Limitní rozdělení** se vztahuje k rozdělení celého Markovského řetězce. Je tedy ovlivněno i počátečním rozdělením Markovského řetězce.
- ❑ Snadno lze nahlédnout, že pokud je počáteční rozdělení řetězce rovno stacionárnímu rozdělení  $\pi$ , pak je i rozdělení řetězce ve všech dalších časech  $n \in \mathbb{N}$ , t.j. rozdělení  $(p_i(n); i \in \mathcal{S})$ , **rovné rozdělení  $\pi$ .**

### Věta: Stritně stacionární proces

V případě, že počáteční rozdělení řetězce je stejné jako stacionární rozdělení, pak pro libovolnou posloupnost  $i_0, \dots, i_k$  stavů z  $\mathcal{S}$  a libovolné  $n \in \mathbb{N}$  platí

$$P[X_0 = i_0, \dots, X_k = i_k] = P[X_n = i_0, \dots, X_{n+k} = i_k].$$

Takový řetězec se nazývá **striktně stacionární**.

## Limitní rozdělení $\Rightarrow$ stacionární rozdělení

### Věta: Limitní rozdělení a stacionární rozdělení

Nechť existuje limitní rozdělení  $\mathcal{P} = (p_i; i \in \mathcal{S})$  Markovského řetězce  $\{X_n; n \in \mathbb{N}\}$ . Pak je toto rozdělení zároveň stacionárním rozdělením Markovského řetězce a tudíž platí, že

$$\mathcal{P} = \pi.$$

- Opačná implikace samozřejmě obecně neplatí: není pravda, že existence stacionárního rozdělení by byla postačující podmínka pro existenci limitního rozdělení Markovského řetězce;

# Nerozložitelnost a stacionární rozdělení

**Věta:** Nerozložitelnost a existence stacionárního rozdělení

Nechť  $\{X_n; n \in \mathbb{N}\}$  je nerozložitelný Markovský řetězec s množinou stavů  $\mathcal{S}$ . Pak platí, že

- jsou-li všechny stavy přechodné, nebo trvalé nulové, pak **stacionární rozdělení neexistuje**;
- jsou-li všechny stavy trvalé nenulové, pak **stacionární rozdělení existuje a je dané jednoznačně**.
  - Jsou-li navíc všechny stavy neperiodické, pak

$$\lim_{n \rightarrow \infty} p_j(n) = \lim_{n \rightarrow \infty} p_{ij}^{(n)} = \pi_j = \frac{1}{E_j \nu_j},$$

- Jsou-li všechny stavy periodické, pak

$$\lim_{n \rightarrow \infty} \frac{1}{n} \sum_{k=1}^n p_j(k) = \frac{1}{n} \lim_{n \rightarrow \infty} \sum_{k=1}^n p_{ij}^{(k)} = \pi_j.$$

## Příklad: Nehodové pojištění s bonusem

- ❑ V konečném nerozložitelném řetězci stacionární rozdělení vždy existuje. *(všechny stavy jsou totiž trvalé nenulové)*
- ❑ Stacionární rozdělení nerozložitelného řetězce nepopisuje pouze limity absolutních pravděpodobností jednotlivých stavů, ale popisuje také četnosti návratu do jednotlivých stavů, čas který daný Markovský řetězec v jednotlivých stavech stráví.

### Príklad

Uvažujeme nehodové pojištění se třemi různými úrovněmi:

- ❑ základní sazba (stav 1);
- ❑ sazba s bonusem 30 % (stav 2);
- ❑ sazba s bonusem 35 % (stav 2);

Rok bez pojistní události znamená postup do lepší pojistní kategorie pro příští rok (když taková možnost existuje). Jedná pojistní událost v průběhu roka znamená posun o jednu kategorii níž (pokud to lze) pro další rok. V případě většího počtu události posun do základní kategorie.

## Příklad: Nehodové pojištění s bonusem

### Príklad

- ❑ situaci chceme modelovat pomocí Markovského řetězce;
- ❑ počet pojistných událostí  $Y_n$  v daném roce  $n \in \mathbb{N}$  má Poissonovo rozdělení s parametrem  $\lambda > 0$ ;
- ❑ náhodná veličina  $X_{n+1}$  je definovaná následovně:

$$X_{n+1} = \begin{cases} \min(X_n + 1, 2) & \text{pro } Y_n = 0 \\ \max(X_n - 1, 0) & \text{pro } Y_n = 1 \\ 0 & \text{pro } Y_n > 1 \end{cases}$$

- ❑ ukážete, že  $\{X_n; n \in \mathbb{N}\}$  je Markovský řetězec;
- ❑ nájděte matici přechodových pravděpodobností  $\mathbb{P}$ ;
- ❑ nájděte soustavu rovnic pro nalezení stacionárního rozdělení;



## Počet přechodů stavem $j \in \mathcal{S}$

**Definice:** Počet přechodů daným stavem

Náhodná veličina

$$N_j(n) = \sum_{k=1}^n \mathbb{I}_{\{X_k=j\}},$$

se nazývá **počet přechodů stavem  $j \in \mathcal{S}$  v prvních  $n \in \mathbb{N}$  krocích** (resp. počet návratů do stavu  $j \in \mathcal{S}$ ).

- počet návratů do stavu  $j$  (náhodná veličina  $N_j(n)$ ) úzce souvisí s časy návratu do stavu  $j \in \mathcal{S}$ ;

## Počet přechodů, časy návratů a klasifikace

- Limitním přechodem získáme celkový počet návratu do stavu  $j \in \mathcal{S}$  jako

$$N_j = \lim_{n \rightarrow \infty} N_j(n) = \lim_{n \rightarrow \infty} \sum_{k=1}^n \mathbb{I}_{\{X_k=j\}}.$$

- Snadno se nahlédne, že platí následující:
  - $N_j \geq k \Leftrightarrow \nu_j(k) < \infty$ ;
  - $N_j = k \Leftrightarrow \nu_j(k) < \infty \wedge \nu_j(k+1) = \infty$ ;

### Věta: 0 – 1 zákon

- ak je stav  $j \in \mathcal{S}$  trvalý, pak  $P_j[N_j = \infty] = 1$ ;
- ak je stav  $j \in \mathcal{S}$  přechodný, pak  $P_j[N_j = \infty] = 0$ ;

## Počet přechodů $N_j(n)$ a stacionární rozdělení

**Věta:** Stacionární rozdělení v řetězci s trvalými nenulovými stavy

V nerozložitelném Markovském řetězci s trvalými nenulovými a neperiodickými stavy platí s pravděpodobností jedna, že

$$\lim_{n \rightarrow \infty} \frac{N_j(n)}{n} = \pi_j,$$

pro všechny stavy  $j \in \mathcal{S}$ .

## Příklad: Stacionární rozdělení

### Príklad

Uvažujme Markovský řetězec s maticou přechodových pravděpodobností

$$\mathbb{P} = \begin{pmatrix} q & p & 0 & 0 & \dots \\ q & 0 & p & 0 & \dots \\ 0 & q & 0 & p & \dots \\ 0 & 0 & q & 0 & \dots \\ \vdots & \vdots & \vdots & \vdots & \ddots \end{pmatrix},$$

pro nějaké vhodně zvolené  $p > 0$  a  $q > 0$ , takové, že  $p + q = 1$ .

- Najděte stacionární rozdělení pro daný Markovský řetězec.

## Zhrnutí předchozí přednášky/opakování

- ❑ Homogénní Markovské řetězce s diskrétním časem  $n \in \mathbb{N}$  a nejvýše spočetnou množinou stavů  $S$ ;
- ❑ Klasifikace stavů v Markovském řetězci:
  - ❑ Trvalé nulové a nenulové stavy;
  - ❑ Přejídné stavy;
  - ❑ Neperiodické a periodické stavy s periodou  $d > 1$ ;
  - ❑ Absorbční stavy a ergodické stavy;
- ❑ Rozložitelnost a nerozložitelnost řetězce:
  - ❑ Dosažitelnost stavů;
  - ❑ Uzavřené podmnožiny stavů;
  - ❑ Počty přechodu, návratu a vstupu do daného stavu;
- ❑ Limitní a stacionární rozdělení Markovského řetězce
  - ❑ Limitní rozdělení - popisuje chování celého Markovského řetězce včetně počátečního rozdělení;
  - ❑ Stacionární rozdělení - vyjadřuje určitou stabilitu řetězce vzhledem k pravděpodobnostem přechodu;

## Kapitola 5

# Časové řady

# Nádodné procesy vs. časové řady

## □ Stochastický proces

↪ posloupnost (reálných) náhodných veličin  $\{X_t; t \in T\}$  definovaných na stejném pravděpodobnostním prostoru  $(\Omega, \mathcal{A}, P)$ ;

## □ Časová řada (proces)

↪ stochastický proces indexovaný celočíselnou množinou  $T$  (resp. stochastický proces s diskrétnym časom);

- v niektorých literárnych zdrojoch sa pod pojmom **časová řada** rozumí již nějaká konkrétní **realizace náhodného procesu**  $\{X_t; t \in T\}$ , t.j., posloupnost konkrétních hodnot  $X_1, X_2, \dots$ , neboli  $x_1, x_2, \dots$ ;

# Bílý šum

## Definice: Bílý šum

Posloupnost centrovaných a nekorelovaných náhodných veličin  $\{X_t; t \in T\}$  s kladným konečným rozptylem se nazývá **bílý šum**.

## Definice: Striktní bílý šum

Posloupnost nezávislých, stejně rozdělených, nedegenerovaných a centrovaných náhodných veličin  $\{X_t; t \in T\}$  se nazývá **striktní bílý šum**.

- v podstatě je bílý šum náhodný **signál s rovnoměrnou spektrální hustotou**; *(analógie s bílým světlem, které obsahuje všechny ostatné frekvence)*



## Příklad: Bílý šum a striktní bílý šum

### Príklad

- ❑ posloupnost nezávislých náhodných veličin z rozdělení  $N(0, 1)$  je **bílý šum** a zároveň aj **striktní bílý šum** (obecně  $N(0, \sigma^2)$ );
  - ❑ posloupnost nezávislých náhodných veličin z rozdělení  $C(0, 1)$  je **striktní bílý šum**, ale není to **bílý šum** – neexistuje totiž ani střední hodnota, ani konečný rozptyl;
  - ❑ posloupnost nekorelovaných náhodných veličin z nějakého obecného rozdělení  $F$  je **bílý šum**, pokud jsou veličiny centrované (t.j. s nulovou střední hodnotou) a s konečným rozptylem; Pokud navíc je rozdělení  $F$  normální, pak se jedná o **striktní bílý šum**;
- 
- ❑ **Striktní bílý šum** a **bílý šum** jsou obecně časové řady s nejjednodušší závislostní strukturou – nekorelované, neboli dokonce nezávislé. Zároveň v sobě nenesou žádnou informaci, jedna se pouze o náhodné chyby, stochastické fluktuační.

## Silná stacionarita

### Definice: Silná stacionarita

Řekneme, že posloupnost náhodných veličin  $\{X_t; t \in T\}$  je **striktně stacionární** (resp. silně stacionární), pokud pro  $l \in \mathbb{N}$ , libovolné  $k_1, \dots, k_l \in T$  a každé  $h > 0$  takové, že  $k_1 + h, \dots, k_l + h \in T$  platí, že

$$\mathcal{L}(X_{k_1}, \dots, X_{k_l}) = \mathcal{L}(X_{k_1+h}, \dots, X_{k_l+h}).$$

- **Silná stacionarita** znamená, že libovolná  $l$ -tice náhodných veličin je stejně rozdělená v libovolném časovém okamžiku;
- Z definice samozřejmě plyne, že pro silně stacionární posloupnost  $\{X_t; t \in T\}$  jsou náhodné veličiny  $X_t$  **stejně rozdělené** pro všechny  $t \in T$ ;

## Slabá stacionarita

### Definice: Slabá stacionarita

Řekneme, že posloupnost náhodných veličin  $\{X_t; t \in T\}$  je **slabě stacionární**, pokud platí:

- ❑  $EX_t = \mu$  pro všechna  $t \in T$  (t.j., nezávisí na  $t$ );
- ❑  $R(k) = E[(X_{t+k} - \mu)(X_t - \mu)]$  (t.j., nezávisí na  $t \in T$ );

- ❑ funkce  $R(k)$  se nazývá **autokovarianční funkce** posloupnosti;
- ❑ hodnota  $R(0) = E(X - \mu)^2$  je rozptyl posloupnosti (konstantní v čase);
- ❑ funkce  $r(k) = R(k)/R(0)$  se nazývá **autokorelační funkce** posloupnosti;
- ❑ samozřejmě platí, že  $R(k) = R(-k)$  pro libovolné  $k \in \mathbb{N}$ ;

## Příklad: Bílý šum a striktní bílý šum

### Príklad

- ❑ pokud má silně stacionární posloupnost konečné druhé momenty, pak je zřejmě slabě stacionární;
- ❑ pokud je posloupnost náhodných veličin gausovská (t.j. všechny konečněrozměrná rozdělení jsou normální) a slabě stacionární, pak je také silně stacionární;
- ❑ striktní bílý šum je silně (striktně) stacionární (nezávislé a stejně rozdělené náhodné veličiny);
- ❑ bílý šum je obecně slabě stacionární (centrované a nekorelované náhodné veličiny);

## Klouzavé průměry řádu $q \in \mathbb{N}$

### Definice: $MA(q)$ proces

Nechť posloupnost  $\{\varepsilon_t; t \in \mathbb{Z}\}$  je bílý šum s konečným rozptylem  $\sigma^2 < \infty$ . Pak náhodnou posloupnost

$$X_t = a_0\varepsilon_t + a_1\varepsilon_{t-1} + \cdots + a_q\varepsilon_{t-q}, \quad \text{pro } t \in \mathbb{Z},$$

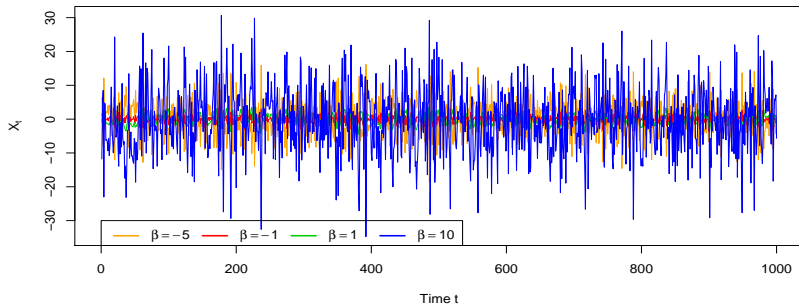
pro nějaké koeficienty  $a_0, \dots, a_q \in \mathbb{R}$ , takové, že  $a_0 \neq 0 \neq a_q$ , nazýváme **posloupnost klouzavých průměrů řádu  $q$** .

- obecně mají  $MA(q)$  procesy složitější korelační strukturu než bílý šum, avšak složky  $X_t$  a  $X_{t+k}$  jsou nekorelované pro  $k > q$ .

# Příklad: $MA(1)$ proces

## Příklad

- ❑ necht'  $X_t = \varepsilon_t + \beta\varepsilon_{t-1}$ , pro  $\{\varepsilon_t; t \in \mathbb{Z}\}$  bílý šum;
- ❑ Pro jaké hodnoty  $\beta \in \mathbb{R}$  je  $\{X_t; t \in \mathbb{Z}\}$  stacionární?
- ❑ Jak je definovaná autokovarianční a autokorelační funkce?



## Autoregresní model řádu $p \in \mathbb{N}$

**Definice:**  $AR(p)$  proces

Nechť posloupnost  $\{\varepsilon_t; t \in \mathbb{Z}\}$  je bílý šum s konečným rozptylem  $\sigma^2 < \infty$ . Pak náhodnou posloupnost

$$d_0 X_t + d_1 X_{t-1} + \dots + d_p X_{t-p} = \varepsilon_t, \quad \text{pro } t \in \mathbb{Z}, \quad (8)$$

pro nějaké koeficienty  $d_0, \dots, d_p \in \mathbb{R}$ , takové, že  $d_0 \neq 0 \neq d_p$ , nazýváme **autoregresní posloupnost řádu  $q$** .

- Ekvivalentně lze model přepsát pomocí rovnice  $X_t = \tilde{d}_1 X_{t-1} + \dots + \tilde{d}_p X_{t-p} + \tilde{\varepsilon}_t$ , kde  $\text{Var} \tilde{\varepsilon}_t = \frac{1}{d_0^2} \text{Var} \varepsilon_t$  a  $\tilde{d}_j = -d_j/d_0$ ;
- Obecně jsou pro tyto modely **autokorelace nenulové** a jednotlivé složky se navzájem ovlivňují i když jsou libovolně daleko od sebe.
- Pokud je posloupnost stacionární, pak **závislost mezi složkami se vzrůstajícím rozdílem v čase nutně slabne**;

# Stacionarita autoregresní posloupnosti

## Věta: Stacionarita autoregresní posloupnosti

Nechť  $\{X_t; t \in \mathbb{Z}\}$  je autoregresní posloupnost  $p$ -tého řádu definovaný rovnicí (8) a necht' bez ujmy na obecnosti  $d_0 = 1$ . Necht' jsou všechny kořeny polynomu

$$d(z) = 1 + d_1z + \dots + d_pz^p$$

vně jednotkového kruhu v komplexní rovině. Pak je proces  $\{X_t; t \in \mathbb{Z}\}$  slabě stacionární a náhodná veličina  $\varepsilon_t$  je nekorelovaná se všemi náhodnými veličinami  $X_{t-1}, X_{t-2}, \dots$ .



## Centrovanost a kauzálnost AR posloupnosti

- za platnosti podmínek předchozí věty je posloupnost  $\{X_t; t \in \mathbb{Z}\}$  také **centrovaná**, protože ze slabé stacionarity také automaticky plyne, že

$$0 = E\varepsilon_t = d_0 EX_t + \dots d_p EX_{t-p} = \mu \left( \sum_{i=1}^p d_i \right),$$

a tudíž  $\mu = 0$ . Ak by  $\sum_{i=1}^p d_i = 0$ , pak by to znamenalo, že 1 je také kořenem polynomu  $d(z)$ , což je spor s předpokladem uvedené věty;

- za platnosti podmínek předchozí věty také platí, že posloupnost  $\{X_t; t \in \mathbb{Z}\}$  lze vyjádřit v **kauzálním tvare**, t.j. existuje vyjádření

$$X_t = \sum_{k=0}^{\infty} c_k \varepsilon_{t-k},$$

kde koeficienty  $c_k$  jsou určeny vztahem  $c(z) = \sum_{k=0}^{\infty} c_k z^k = \frac{1}{d(z)}$ ,  
pro  $|z| \leq 1$ .

## Příklad: $AR(1)$ proces

### Příklad

- ❑ necht'  $X_t = aX_{t-1} + \varepsilon_t$ , pro  $\{\varepsilon_t; t \in \mathbb{Z}\}$  bílý šum;
- ❑ polynom  $d(z) = 1 - az$  má kořen v bodě  $z = 1/a$ ;
- ❑ kořen je vně jednotkového kruhu  $\Leftrightarrow |a| > 1$ ;
- ❑ potom platí, že

$$X_t = aX_{t-1} + \varepsilon_t = a(aX_{t-2} + \varepsilon_{t-1}) + \varepsilon_t = \dots = a^k X_{t-k} + \sum_{\ell=0}^{k-1} a^\ell \varepsilon_{t-\ell};$$

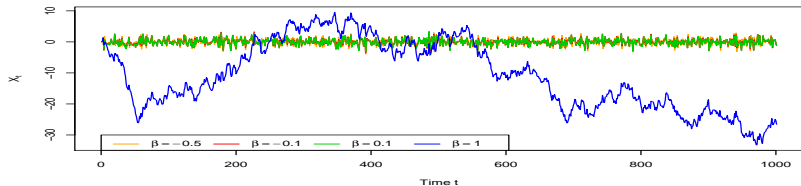
- ❑ a náhodnou veličinu  $X_t$  lze (limitním přechodem) vyjádřit kauzálně jako

$$X_t = \sum_{k=0}^{\infty} a^k \varepsilon_{t-k}$$

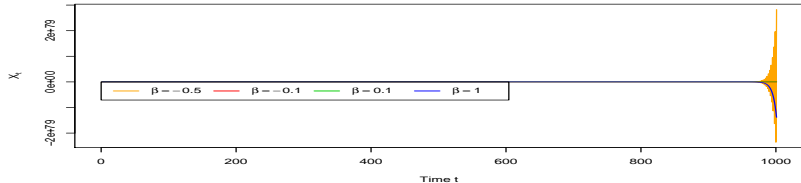
(t.j. lineární kombinaci minulosti posloupnosti  $\{\varepsilon_t; t \in \mathbb{Z}\}$ )

# Příklad: $AR(1)$ proces

□ pro parametr  $|a| \leq 1$



□ pro parametr  $|a| > 1$



## Příklad: $AR(1)$ proces

- Rozptyl procesu lze spočítat i pomocí soustavy rovnic:

$$EX_t X_{t-1} = aEX_{t-1}^2 + E\varepsilon_t X_{t-1}$$

$$EX_t \varepsilon_t = aEX_{t-1} \varepsilon_t + E\varepsilon_t^2$$

- pak kvůli nekorelovanosti  $\varepsilon_t$  a  $X_{t-1}$  máme  $EX_{t-1} \varepsilon_t = 0$  a tudíž

$$\begin{aligned}\sigma^2 = E\varepsilon_t^2 &= EX_t \varepsilon_t = EX_t (X_t - aX_{t-1}) = R(0) - aR(1) \\ &= R(0)[1 - ar(1)]\end{aligned}$$

- z první rovnice pak dostaneme

$$R(1) = aR(0) \quad \Leftrightarrow \quad a = R(1)/R(0) = r(1)$$

- pro rozptyl  $R(0)$  procesu  $\{X_t; t \in \mathbb{Z}\}$  dostaneme

$$R(0) = \frac{\sigma^2}{1 - a^2} = \frac{\sigma^2}{1 - (r(1))^2};$$

## Yule-Walkerovy rovnice

Za předpokladu, že  $\varepsilon_t$  je nekorelované s  $X_{t-1}, X_{t-2}, X_{t-3} \dots$  (vid' také předchozí věta o stacionaritě autoregresní posloupnosti), lze analogicky postup aplikovat i pro obecný autoregresní proces řádu  $p$ ;

- uvažujme obecný autoregresní proces

$$X_t = a_1 X_{t-1} + \dots + a_p X_{t-p} + \varepsilon_t \quad (9)$$

- rovnici autoregresního procesu vynásobíme postupně veličinami  $X_{t-1}, X_{t-2}, \dots, X_{t-p}$  a aplikujeme operátor středné hodnoty:

$$EX_t X_{t-1} = a_1 EX_{t-1}^2 + \dots + a_p EX_{t-p} X_{t-1} + E\varepsilon_t X_{t-1}$$

$$EX_t X_{t-2} = a_1 EX_{t-1} X_{t-2} + \dots + a_p EX_{t-p} X_{t-2} + E\varepsilon_t X_{t-2}$$

.....

$$EX_t X_{t-p} = a_1 EX_{t-1} X_{t-p} + \dots + a_p EX_{t-p}^2 + E\varepsilon_t X_{t-p}$$

## Yule-Walkerovy rovnice

- soustavu rovnic lze ekvivalentně přepsát v maticovém tvaru

$$\begin{pmatrix} R(0) & \dots & R(p-1) \\ \dots & \dots & \dots \\ R(p-1) & \dots & R(0) \end{pmatrix} \begin{pmatrix} a_1 \\ \vdots \\ a_p \end{pmatrix} = \begin{pmatrix} R(1) \\ \vdots \\ R(p) \end{pmatrix}$$

- neboli také pomocí autokorelační funkce  $r(\cdot)$  jako

$$\begin{pmatrix} r(0) & \dots & r(p-1) \\ \dots & \dots & \dots \\ r(p-1) & \dots & r(0) \end{pmatrix} \begin{pmatrix} a_1 \\ \vdots \\ a_p \end{pmatrix} = \begin{pmatrix} r(1) \\ \vdots \\ r(p) \end{pmatrix}$$

- pomocí této soustavy lze spočítat hodnoty autokorelační funkce v časech  $1, 2, \dots, p$ . Pro hodnoty  $r(k)$ , kde  $k > p$  lze využít diferenční rovnici

$$r(k) - a_1 r(k-1) - \dots - a_p r(k-p) = 0,$$

kteřou získáme vynásobením rovnice (9) veličinou  $X_{t-k}$  a aplikováním operátoru střední hodnoty;

## Výpočet rozptylu pro $AR(p)$

- pro výpočet rozptylu  $R(0)$  stačí vynásobit rovnici (9) veličinou  $\varepsilon_t$  a opět aplikovat operátor střední hodnoty;
- přímočaře dostaneme vyjádření

$$\begin{aligned}\sigma^2 &= E\varepsilon_t^2 = EX_t\varepsilon_t = EX_t(X_t - a_1X_{t-1} - \dots - a_pX_{t-p}) \\ &= R(0)[1 - a_1r(1) - \dots - a_pr(p)];\end{aligned}$$

- pro rozptyl  $AR(p)$  procesu teda platí, že

$$\text{Var}X_t = R(0) = \frac{\sigma^2}{1 - a_1r(1) - \dots - a_pr(p)};$$

## Odhad neznámých parametrů

- ❑ Yule-Walkerove rovnice lze aplikovat i obráceným způsobem: použít data z procesu a **odhadnout neznáme parametry**  $a_1, \dots, a_p$  v  $AR(p)$  procesu;
- ❑ pomocí dat (konkrétní realizace procesu  $\{X_t; t \in \mathbb{Z}\}$ ) lze **odhadnout hodnoty autokovarianční funkce**  $\hat{R}(0), \dots, \hat{R}(p)$ ;
- ❑ hodnoty odhadov autokovarianční funkce v daných bodech **dosadit do Yule-Walkerových rovnic** a řešit pro neznáme parametry  $a_1, \dots, a_p$ ;
- ❑ otázka pouze zůstává, jak správně nebo vhodně určit příslušný řád autokovariančního procesu, parametr  $p \in \mathbb{N}$ ;  
*(existují různá kritéria, tzv. "rules-of-thumb", nebo lze použít tzv. "expert judgement", nebo hlubší statistickou analýzu a formální statistické testy)*



## Zhrnutí předchozí přednášky/opakování

- ❑ Lineární (stochastické) modely časových řad (*MA* a *AR* procesy);
- ❑ *MA(1)*: Posloupnost klouzavých průměrů řádu  $q \in \mathbb{N}$ 
  - ❑ závislost mezi  $X_t$  a  $X_{t-k}$  mizne pro  $k > q$ ;
  - ❑ obecně je *MA(q)* proces stacionární (slabě);
  - ❑ charakterizace pomocí autokovarianční a autokorelační funkce;
- ❑ *AR(p)*: Autoregresní posloupnost řádu  $p \in \mathbb{N}$ :
  - ❑ nenulová autokorelace a mnohem složitější závislostní struktúra;
  - ❑ stacionarita pouze pro některé speciální případy (kořeny charakteristického polynomu vně jednotkového komplexního kruhu);
  - ❑ možnost vyjádřit stacionární *AP* proces v kauzální formě;
- ❑ **Yule-Walkerové rovnice**
  - ❑ výpočetný nástroj pro vyjádření autokovarianční a autokorelační funkce (charakterizace) procesu (časové řady);
  - ❑ inverzní využití Yule-Walkerových rovnic pro odhad neznámých parametrů v *AR(p)* procesu (za použití odhadů autokovariační/autokorelační funkce);

## Konzistence odhadu parametrů

**Věta:** Konzistence odhadu parametrů v  $AR(p)$  procesu

Nechť  $\{X_t; t \in \mathbb{Z}\}$  je autoregresní posloupnost řádu  $p \in \mathbb{N}$  generovaná modelem

$$X_t = a_1 X_{t-1} + \dots + a_p X_{t-p} + \varepsilon_t,$$

kde  $\{\varepsilon_t; t \in \mathbb{Z}\}$  je posloupnost nezávislých, stejně rozdělených n.v. se střední hodnotou nula a konečným rozptylem  $\sigma^2 < \infty$ . Nechť všechny kořeny polynomu  $d(z) = 1 - a_1 z - \dots - a_p z^p$  leží vně jednotkového kruhu v komplexní rovině. Nechť  $\hat{\mathbf{a}}_n$  je odhad parametrů  $\mathbf{a} = (a_1, \dots, a_p)^\top$  pomoci Yule-Walkerových rovnic, založený na pozorováních  $X_1, \dots, X_n$  a odhadech  $\hat{R}(k)$  a  $\hat{r}(k)$ , pro  $k \geq 0$ . Pak platí, že

$$\sqrt{n}(\hat{\mathbf{a}}_n - \mathbf{a}) \xrightarrow{\mathcal{D}} N_p(\mathbf{0}, \sigma^2 \Gamma^{-1}),$$

kde  $\Gamma = (R(i-j))_{ij}$ .

## Asymptotické rozdělení odhadů parametrů

- konvergence  $\xrightarrow{\mathcal{D}}$  v předchozí větě značí **konvergenci v distribuci**;
- ekvivalentně je možné také napsat, že platí

$$\sup_{\mathbf{x} \in \mathbb{R}^p} \left| P(\sqrt{n}(\hat{a}_1 - a_1) \leq x_1, \dots, \sqrt{n}(\hat{a}_p - a_p) \leq x_p) - F(x_1, \dots, x_p) \right| \rightarrow 0,$$

pro  $n \rightarrow \infty$ , kde  $F : \mathbb{R}^p \rightarrow [0, 1]$  značí združenou distribuční funkci mnohorozměrného normálního rozdělení  $N_p(\mathbf{0}, \sigma^2 \Gamma^{-1})$ ;

- hustota mnohorozměrného normálního rozdělení  $N_p(\boldsymbol{\mu}, \Sigma)$  je definována:

$$f(x_1, \dots, x_p) = \frac{1}{(2\pi)^{\frac{p}{2}} |\Sigma|} \exp \left\{ -\frac{1}{2} (\mathbf{x} - \boldsymbol{\mu}) \Sigma^{-1} (\mathbf{x} - \boldsymbol{\mu}) \right\},$$

pro  $\mathbf{x} = (x_1, \dots, x_p)^\top \in \mathbb{R}^p$ , kde  $\boldsymbol{\mu} = (\mu_1, \dots, \mu_p)^\top \in \mathbb{R}^p$  je vektor středních hodnot a  $\Sigma$  pozitivně definitní, symetrická varianční matice;

# Odhad autokovarianční/autokorelační funkce

- ❑ máme k dispozici konkrétní realizaci časové řady  $\{X_t; t \in \mathbb{Z}\}$  až do nějakého času  $n \in \mathbb{N}$ ;
- ❑ to znamená, že máme k dispozici pozorované hodnoty (realizace) náhodných veličin  $X_n, X_{n-1}, \dots$ ;
- ❑ dále také předpokládáme, že proces  $\{X_t; t \in \mathbb{Z}\}$  je generovaný rovnicí

$$X_t = a_1 X_{t-1} + \dots + a_p X_{t-p} + \varepsilon_t;$$

- ❑ parametre  $a_1, \dots, a_p \in \mathbb{R}$  jsou neznáme;
- ❑ **Jak pomoci empirických dat odhadnout parametry  $a_1, \dots, a_p$ ?**

## Odhad autokovarianční/autokorelační funkce

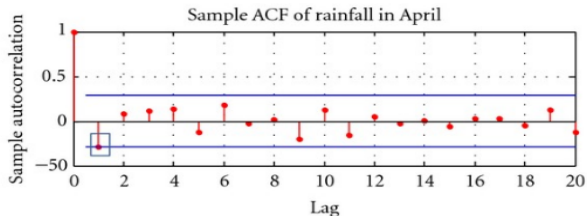
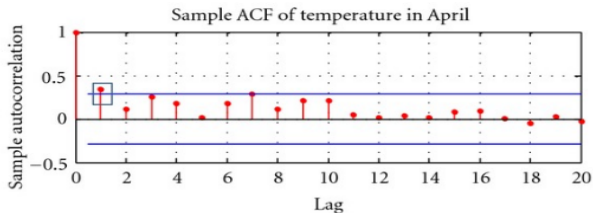
- v praktických případech je  $k$  dispozici **pouze konečná historie** (realizace) časové řady  $\{X_t; t \in \mathbb{Z}\}$ , t.j., pozorování  $X_1, \dots, X_n$ ;
- odhad autokovarianční funkce  $R(k)$  pro libovolné  $k \in \{0, n-1\}$  získáme pomocí vztahu

$$\widehat{R}(k) = \frac{1}{n-k} \sum_{i=1}^{n-k} \left( X_{i+k} - \frac{1}{n-k} \sum_{j=1}^{n-k} X_{j+k} \right) \left( X_i - \frac{1}{n-k} \sum_{j=1}^{n-k} X_j \right)$$

- odhad příslušné autokorelační funkce  $r(k)$  pro libovolné  $k \in \{0, n-1\}$  pak získáme jako

$$\widehat{r}(k) = \frac{\widehat{R}(k)}{\widehat{R}(0)}.$$

# Příklad: autokovarianční/autokorelační funkce



## Neúplnost odhadů $\widehat{R}(k)$ a $\widehat{r}(k)$

- ❑ odhad autokovarianční funkce  $R(k)$  nějaké posloupnosti se nazývá **výběrová autokovarianční funkce** – používáme značení  $\widehat{R}(k)$ ;
- ❑ odhad autokorelační funkce  $r(k)$  nějaké posloupnosti se nazývá **výběrová autokorelační funkce** – používáme značení  $\widehat{r}(k)$ ;
- ❑ pro necentrovanou posloupnost  $\{X_t; t \in \{1, \dots, n\}\}$  odhadujeme střední hodnotu  $\mu \in \mathbb{R}$  pomocí **výběrové střední hodnoty** definované

$$\widehat{\mu} = \frac{1}{n} \sum_{i=1}^n X_i;$$

- ❑ **výběrová autokovariační/autokorelační funkce** spočtená na základě realizace  $X_1, \dots, X_n$  poskytuje **pouze omezenou informaci** o celkové kovarianční/korelační struktúře posloupnosti;
- ❑ na základě realizace  $X_1, \dots, X_n$  totiž není možné spočítat hodnoty pro  $\widehat{R}(k)$  a  $\widehat{r}(k)$ , kde  $k \geq n$ ;

## Modely $ARMA(p, q)$

- posloupnosti klouzavých průměrů a autoregresních posloupností lze vzájemně kombinovat do tzv. **ARMA modelů**;

**Definice:**  $ARMA(p, q)$  proces

Nechť posloupnost  $\{\varepsilon_t; t \in \mathbb{Z}\}$  je bílý šum s konečným rozptylem  $\sigma^2 < \infty$ . Pak náhodnou posloupnost

$$d_0 X_t + d_1 X_{t-1} + \dots + d_p X_{t-p} = a_0 \varepsilon_t + \dots + a_q \varepsilon_{t-q}, \quad (10)$$

pro  $t \in \mathbb{Z}$  a nějaké koeficienty  $d_0, \dots, d_p, a_0, \dots, a_q \in \mathbb{R}$ , takové, že  $d_0, d_q, a_0, a_1 \neq 0$ , nazýváme **ARMA(p, q) model**.

- podobně jako v předchozích případech nás zajímá, za akých předpokladů bude **ARMA(p, q) posloupnost splňovat definici stacionarity (slabě)**;
- ekvivaletní zápis **ARMA(p, q) modelu** lze vyjádřit pomocí vztahu

$$X_t = \tilde{d}_1 X_{t-1} + \dots + \tilde{d}_p X_{t-p} + \tilde{a}_0 \varepsilon_t + \dots + \tilde{a}_q \varepsilon_{t-q};$$



## Stacionarita $ARMA(p, q)$ procesů

□ předpokládejme, že v rovnici (10) je  $d_0 = a_0 = 1$  a definujeme polynomy

$$d(z) = 1 + d_1z + \cdots + d_pz^p, \quad n(z) = 1 + a_1z + \cdots + a_qz^q; \quad (11)$$

**Věta:** Stacionarita  $ARMA(p, q)$  modelů

Nechť všechny kořeny polynomu  $d(z)$  leží vně jednotkového kruhu v komplexní rovině a navíc, nechť jsou polynomy  $d(z)$  a  $n(z)$  nesoudělné, t.j. nemají společné kořeny. Pak je posloupnost definovaná rovnicí (10) slabě stacionární, s nulovou střední hodnotou, a navíc, lze proces  $\{X_t; t \in \mathbb{Z}\}$  vyjádřit v kauzálním tvaru, t.j.

$$X_t = \sum_{k=0}^{\infty} c_k \varepsilon_{t-k},$$

kde  $c_k$  jsou určeny vztahem  $c(z) = \sum_{k=0}^{\infty} c_k z^k = \frac{n(z)}{d(z)}$ ,  
pro  $|z| \geq 1$ .

## Autokovariance/autokorelace ARMA procesů

- pokud by polynomy  $d(z)$  a  $n(z)$  měly společné kořeny, potom by polynom  $c(z) = n(z)/d(z)$  určoval  $ARMA(m, n)$  proces, pro  $m < p$  a  $n < q$ ;
- autokovarianční funkce stejně tak jako autokorelační funkce obecného  $ARMA(p, q)$  procesu se spočte analogicky, jako v případě  $AR(p)$  procesů, pomocí Yule-Walkerových rovnic.

### Samostatný úkol

Uvažujte obecný  $ARMA(1, 1)$  proces, definovaný předpisem

$$X_t + aX_{t-1} = \varepsilon_t + b\varepsilon_{t-1},$$

pro  $t \in \mathbb{Z}$ , kde  $\{\varepsilon_t; t \in \mathbb{Z}\}$  je bílý šum.

- definujte podmínky pro které je posloupnost  $\{X_t; t \in \mathbb{Z}\}$  slabě stacionární;
- nájděte autokovarianční a autokorelační funkci posloupnosti  $\{X_t; t \in \mathbb{Z}\}$ ;
- pokud existuje, nájděte kauzální vyjádření procesu  $\{X_t; t \in \mathbb{Z}\}$ ;

## Lineární filtrace

### Definice: Lineární filtrace

Nechť  $\{\varepsilon; t \in \mathbb{Z}\}$  je slabě stacionární posloupnost a  $\{\xi_k; k \in \mathbb{Z}\}$  je posloupnost koeficientů takových, že  $\sum_{k \in \mathbb{Z}} |\xi_k| < \infty$ . Pak řekneme, že posloupnost

$$X_t = \sum_{k=-\infty}^{\infty} \xi_k \varepsilon_{t-k}$$

vznikla **lineární filtraci** z posloupnosti  $\{\varepsilon; t \in \mathbb{Z}\}$ . Posloupnost koeficientů  $\{\xi_k; k \in \mathbb{Z}\}$  se nazývá **lineární filtr**.

### Definice: Kauzální filtr

Nechť  $\{\xi_k; k \in \mathbb{Z}\}$  je lineární filtr. Pokud platí, že  $\xi_k = 0$  pro  $k < 0$ , pak je filtr **kauzální**, t.j. fyzikálně uskutečnitelný.

## Lineární modely, procesy, systémy...

### Definice: Lineární proces

Náhodnou posloupnost  $\{X_t; t \in \mathbb{Z}\}$  nazýváme **lineárním procesem**, pokud existuje posloupnost nezávislých, stejně rozdělených náhodných veličin  $\varepsilon_t$ , pro  $t \in \mathbb{Z}$ , s nulovou střední hodnotou a konečným rozptylem a lineární filtr  $\{\xi_k; k \in \mathbb{Z}\}$  takový, že

$$X_t = \sum_{k=-\infty}^{\infty} \xi_k \varepsilon_{t-k}.$$

Lineární proces je navíc kauzální, pokud je příslušný filtr kauzální.

- **ARMA**( $p, q$ ) model je ekvivalentní s obecnou rovnicí lineárního systému (vid' Kapitola 3). Rovnice ARMA modelu ale určuje vztah nikoli mezi nenáhodnými (deterministickými) posloupnostmi vstupů a výstupu, ale mezi náhodnými posloupnostmi bílého šumu a ARMA procesem  $\{X_t; t \in \mathbb{Z}\}$ .

## Invertibilita *ARMA* posloupnosti

### Definice: Invertibilita *ARMA* posloupnosti

Stacionární *ARMA*( $p, q$ ) posloupnost  $\{X_t; t \in \mathbb{Z}\}$  vzniklá z bílého šumu  $\{\varepsilon_t; t \in \mathbb{Z}\}$ , se nazývá **invertibilní**, jestliže existuje posloupnost konstant  $\{\psi_k; k \in \mathbb{Z}\}$  taková, že  $\sum_{k=0}^{\infty} |\psi_k| < \infty$  a platí, že

$$\varepsilon_t = \sum_{k=0}^{\infty} \psi_k X_{t-k}.$$

- z pohledu posloupnosti  $\{\varepsilon_t; t \in \mathbb{Z}\}$  by se dalo říct, že se jedná o kauzální posloupnost vzhledem k posloupnosti  $\{X_t; t \in \mathbb{Z}\}$ ;

## Příklad: Striktná versus slabá stacionarita

### Samostatný úkol

Nechť je posloupnost  $\{X_t; t \in \mathbb{Z}\}$  definovaná předpisem

$$X_t = \rho X_{t-1} + \varepsilon_t,$$

pro  $|\rho| < 1$  a posloupnost  $\{\varepsilon_t; t \in \mathbb{Z}\}$  je daná předpisem

$$\varepsilon_t = \begin{cases} Z_t & t = 2k, k \in \mathbb{Z}, \\ \frac{1}{\sqrt{2}}(Z_t^2 - 1) & t = 2k + 1, k \in \mathbb{Z}, \end{cases}$$

kde  $\{Z_t; t \in \mathbb{Z}\}$  je posloupnost nezávislých, stejně rozdělených náhodných veličin s normovaným normálním rozdělením  $N(0, 1)$ .

- Rozhodněte, zda je posloupnost  $\{X_t; t \in \mathbb{Z}\}$  striktně stacionární.
- Rozhodněte, zda je posloupnost  $\{X_t; t \in \mathbb{Z}\}$  slabě stacionární.
- Spočtete autokovarianční funkci posloupnosti  $\{X_t; t \in \mathbb{Z}\}$ .

## Invertibilita *ARMA* posloupnosti

### Věta: Invertibilita *ARMA* procesů

Nechť  $\{X_t; t \in \mathbb{Z}\}$  je stacionární *ARMA*( $p, q$ ) posloupnost, definovaná rovnicí (10), pro  $d_0 = a_1 = 1$ . Nechť polynomy  $d(z)$  a  $n(z)$  definované vztahy (11) nemají společné kořeny a navíc, nechť kořeny polynomu  $n(z)$  leží vně jednotkového komplexního kruhu. Pak je posloupnost  $\{X_t; t \in \mathbb{Z}\}$  **invertibilní** a lze psát

$$\varepsilon_t = \sum_{k=0}^{\infty} \psi_k X_{t-k},$$

pro  $k \in \mathbb{Z}$ , kde koeficienty  $\psi_k$  jsou určeny vztahem

$$\Psi(z) = \sum_{k=0}^{\infty} \psi_k z^k = \frac{d(z)}{n(z)},$$

pro  $|z| \leq 1$ .

# Lineární predikce v časových řadách

- ❑ pomerně častý praktický problém v časových řadách: **predikce**;
- ❑ predikce/předpověď budoucích hodnot na základě pozorované realizace;
- ❑ z teoretického hlediska se jedná o pomerně náročnou úlohu, která vede na podmíněné střední hodnoty...
- ❑ **Jak to ale funguje v praktických problémech?**



## Lineární predikce v časových řadách

- ❑ pomerně častý praktický problém v časových řadách: **predikce**;
- ❑ predikce/předpověď budoucích hodnot na základě pozorované realizace;
- ❑ z teoretického hlediska se jedná o pomerně náročnou úlohu, která vede na podmíněné střední hodnoty...
- ❑ **Jak to ale funguje v praktických problémech?**
  
- ❑ **Jednoduchý příklad:** predikce pozorování  $X_{t+1}$  na základě realizace  $X_t$  (předpověď o jeden krok dopředu na základě jediného pozorování);
- ❑ požadovaná predikce pro  $X_{t+1}$  je lineární:  $\hat{X}_{t+1} = a + bX_t$ ;
- ❑ navíc předpokládáme, že  $\{X_t; t \in \mathbb{Z}\}$  je slabě stacionární;
- ❑ kvalita predikce pomoci střední kvadratické chyby mezi  $X_{t+1}$  a  $\hat{X}_{t+1}$ ;

## Predikce $X_{t+1}$ formálně

- z formálního matematického hlediska řešíme minimalizační problém

$$\min_{a,b \in \mathbb{R}} E [X_{t+1} - (a + bX_t)]^2 = \min_{a,b \in \mathbb{R}} E [X_{t+1} - \mu - \tilde{a} - b(X_t - \mu)]^2,$$

kde  $\tilde{a} = a + \mu(b - 1)$ ;

- derivováním podle  $\tilde{a}$  a  $b$  (a formálna záměna integrálu a derivace):

$$\frac{\partial}{\partial \tilde{a}} : -2E [X_{t+1} - \mu - \tilde{a} - b(X_t - \mu)] = 0$$

$$\frac{\partial}{\partial b} : -2E [X_{t+1} - \mu - \tilde{a} - b(X_t - \mu)] (X_t - \mu) = 0$$

- z první rovnice dostaneme okamžitě, že  $\tilde{a} = 0$ ;
- z druhé rovnice pak dostaneme, že

$$b = \frac{R(1)}{R(0)} = r(1);$$

- Predikce:  $\hat{X}_{t+1} = a + bX_t = \mu + b(X_t - \mu) = \mu + r(1)(X_t - \mu)$ ;

## Predikce $X_{t+1}$ formálně

- ❑ kvalita predikce se posuzuje pomocí střední kvadratické chyby/odchýlky jako

$$\begin{aligned}MSE &= E(X_{t+1} - \widehat{X}_{t+1})^2 = E[X_{t+1} - \mu - r(1)(X_t - \mu)]^2 \\ &= R(0) [1 + r(1)^2 - 2r(1)^2] = R(0)(1 - r(1)^2); \end{aligned}$$

- ❑ čím silnější je lineární závislost mezi  $X_t$  a  $X_{t+1}$ , tím menší je chyba predikce (t.j., přesnější předpověď);
- ❑ obecně lze postup zobecnit na úlohu najít predikci pro  $X_{t+1}$ , na základě pozorování  $X_t, X_{t-1}, \dots, X_{t-p}$ ;
- ❑ následně je samozřejmě možné použít predikci  $\widehat{X}_{t+1}$  a spočítat další predikci pro následující krok  $X_{t+2}$ ;

## Příklad: predikce na základě $X_t$ a $X_{t-1}$

### Samostatný úkol

Předpokládejme, že posloupnost  $\{X_t; t \in \mathbb{Z}\}$  je slabě stacionární.

- spočtete obecný vztah pro predikci pozorování  $X_{t+1}$  na základě hodnot  $X_t$  a  $X_{t-1}$ ;
- jako kritérium kvality predikce použijte střední kvadratickou chybu/odchýlku;

### Samostatný úkol

- Uvažujte model  $ARMA(2, 1)$  daný předpisem

$$X_t - 0.5X_{t-1} + 0.04X_{t-2} = \varepsilon_t + 0.25\varepsilon_{t-1},$$

pro  $\{\varepsilon_t; t \in \mathbb{Z}\}$  bílý šum. Nайдěte autokovarianční a autokorelační funkci procesu a jeho kauzální vyjádření.

# Kauzalita a invertibilita *ARMA* procesů

## Samostatný úkol

Nechť  $\{X_t; t \in \mathbb{Z}\}$  je *ARMA*(2, 1) posloupnost definovaná rovnicí

$$X_t - (a + b)X_{t-1} + abX_{t-2} = \varepsilon_t - a\varepsilon_{t-1},$$

kde  $\{\varepsilon_t; t \in \mathbb{Z}\}$  je bílý šum. Diskutujte podmínky kauzality a invertibility vzhledem k neznámým parametrům  $a, b \in \mathbb{R}$ .

Spočtěte autokovarianční a autokorelační funkci posloupnosti  $\{X_t; t \in \mathbb{Z}\}$ .

# Zhrnutí předchozí přednášky/opakování

- ❑ Lineární (stochastické) modely časových řád: *MA*, *AR* a *ARMA* procesy; (náhodné procesy vytvořené z bílého šumu, indexovaný nejvýše spočetnou množinou indexů  $T$  - napr. množinou celých čísel  $\mathbb{Z}$ )
- ❑ Základná charakterizace procesů
  - ❑ střední hodnota procesu  $\{X_t; t \in \mathbb{Z}\}$ ;
  - ❑ rozptyl procesu  $\{X_t; t \in \mathbb{Z}\}$ ;
  - ❑ autokovarianční a autokorelační funkce  $R(k)$  a  $r(k)$ ;
- ❑ Další vlastnosti modelů časových řád
  - ❑ silná (striktní) a slabá stacionarita;
  - ❑ kauzálnost a invertibilita procesu;
  - ❑ lineární filtrace;
- ❑ Využití v praktických (reálných úlohách)
  - ❑ modelování procesů a odhadování koeficientu pomocí Yule-Walkerových rovnic (konzistentní odhady);
  - ❑ lineární predikce v časových řadách (předpověď následujících pozorování na základě tých předchozích);

Kapitola 6

# Poissonův proces

# Náhodné procesy se spojitým časem

## □ Stochastický (náhodný) proces

↪ posloupnost (systém) reálných náhodných veličin  $\{X_t; t \in T\}$  definovaných na stejném pravděpodobnostním prostoru  $(\Omega, \mathcal{A}, P)$ ;

## □ Proces so spojitým časem

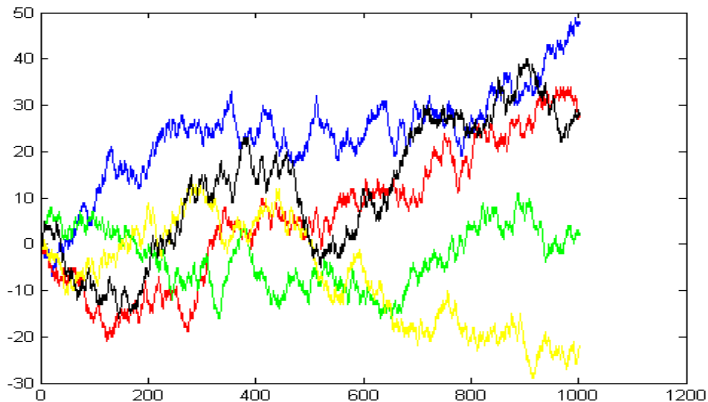
↪ v případě, že  $T \subset \mathbb{R}$ , pak říkáme, že se jedná o proces se spojitým časem, t.j., hodnota procesu  $\{X_t; t \in T\}$  je definována v každém časovém okamžiku;

## □ Trajektórie procesu

↪ pro konkrétné  $\omega \in \Omega$  (elementární jev) je  $X_t(\omega) \equiv X(\omega)(t)$  funkce definována na  $T \subset \mathbb{R}$  (t.j., trajektórie procesu – jedna konkrétní realizace);



# Trajektorie procesu



# Čítací proces

## Definice: Čítací proces

Řekneme, že náhodný proces  $\{N_t; t \geq 0\}$  (teda proces se spojitím časem) je **čítací proces**, pokud existuje neklesající posloupnost nezávislých náhodných veličin  $\{\xi_n\}$ , pro  $n \in \mathbb{N}$  (časy výskytu jednotlivých události) takových, že platí

$$N_t \equiv N(t) = \sum_{n=1}^{\infty} \mathbb{I}_{\{\xi_n \leq t\}}.$$

- Hodnotu  $N(t)$  interpretujeme jako počet událostí, které nastaly do času  $t$ .
- Ekvivalentně lze proces  $\{N_t; t \geq 0\}$  definovat jako proces, který má zprava spojitě a neklesající trajektorie, nabývá pouze celočíselných hodnot, a začíná z nezáporné hodnoty, t.j.  $N(0) \geq 0$ ;

# Proces s nezávislými přírůstky

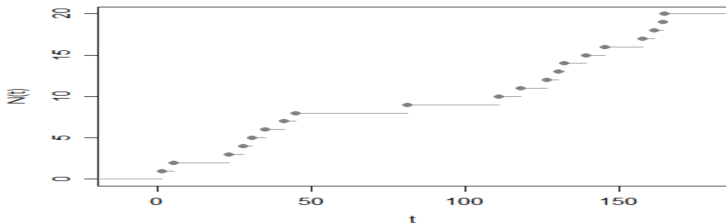
## Definice: Nezávislé přírůstky

Řekneme, že proces  $\{N(t); t \geq 0\}$  má **nezávislé přírůstky**, pokud pro každé  $0 \leq t_0 \leq t_1 \leq \dots \leq t_n$ ,  $n \in \mathbb{N}$  a  $t_i \in \mathcal{T}$  pro  $i = 1, \dots, n$  platí, že  $N(t_n) - N(t_{n-1}), \dots, N(t_1) - N(t_0)$  jsou **nezávislé náhodné veličiny**.

# Proces s nezávislými přírůstky

## Definice: Nezávislé přírůstky

Řekneme, že proces  $\{N(t); t \geq 0\}$  má **nezávislé přírůstky**, pokud pro každé  $0 \leq t_0 \leq t_1 \leq \dots \leq t_n$ ,  $n \in \mathbb{N}$  a  $t_i \in T$  pro  $i = 1, \dots, n$  platí, že  $N(t_n) - N(t_{n-1}), \dots, N(t_1) - N(t_0)$  jsou **nezávislé náhodné veličiny**.



# Poissonův proces

## Definice: Poissonův proces

Náhodný proces  $\{N(t); t \geq 0\}$  se nazývá **homogenní Poissonův proces s intenzitou  $\lambda > 0$** , pokud platí:

- ❑  $N(0) = 0$ ;
  - ❑ proces má nezávislé přírůstky;
  - ❑ přírůstky  $N(t+h) - N(t)$  mají Poissonovo rozdělení s parametrem  $\lambda \cdot h$ ;
- 
- ❑ nezávislé přírůstky Poissonovho procesu mají Poissonovo rozdělení s parametrem, který je přímo úměrný délce časového intervalu;
  - ❑ parameter intenzity,  $\lambda > 0$  je střední počet události za jednotku času;
  - ❑ souvislost Poissonovho rozdělení s limitním binomickým rozdělením;

# Poissonův proces

- ❑ Poissonův proces je často interpretován jako náhodný **bodový proces** na reální přímce (půlpřímce);
- ❑ Na reální přímce je Poissonův proces speciálním případem Markovského procesu se spojeným časem (Markovská vlastnost);
- ❑ Hodně často používaný náhodný proces s využitím pro modelování náhodných (a na sobě nezávislých) událostí v čase;
  - ❑ pojišťovnictví, systémy obsluhy, atd'.
  - ❑ chování zákazníků, modelování chyb a poruch, atd'.
- ❑ Existuje mnoho různých a užitečných zobecnění Poissonova procesu;
  - ❑ Poissonův proces s variabilní intenzitou  $\lambda(t)$ ;
  - ❑ prostorový Poissonův proces (mnohorozměrná zobecnění);
  - ❑ procesy obnovy a zrodu a zániku (tzv. renewal a birth-death procesy);
  - ❑ mnohé další...

## Příklad: Poissonův proces

### Príklad

#### Telefonní ústředna a počet hovorů

Jednotlivé přichodzí volání jsou na sobě nezávislé. Potenciálně je ale velký počet lidí, kteří mohou zavolat, ale u každého jednotlivce se jedná pouze o hodně malou pravděpodobnost, že skutečně zavolá na ústřednu. Z historický dat např. víme, že na telefonní ústřednu přijde v průměru 5 hovorů za minutu.

- ❑ Jaká je pravděpodobnost, že za půl minuty nepřijde žádné volání?
- ❑ Jaká je pravděpodobnost, že během pět sekund přijde alespoň 2 volání?

- ❑ pro Poissonův proces obecně platí, že  $N(0) = 0$ , proto také platí, že

$$N(t) = N(t) - N(0) \sim Po(\lambda t)$$

a proto také platí, že

$$P[N(t) = k] = \frac{(\lambda t)^k}{k!} e^{-\lambda t}, \quad \text{pro } k = 0, 1, \dots$$

## Doby mezi událostmi v Poissonovém procesu

**Věta:** Doby mezi událostmi v Poissonovém procesu

Nechť  $\{N(t); t \geq 0\}$  je Poissonův proces s intenzitou  $\lambda > 0$  a necht'  $\{\xi_n; n \in \mathbb{N}\}$  je posloupnost náhodných veličin definovaná předpisem

$$\xi_n = \inf\{t > 0; N(t) = n\}, \quad n = 1, 2, \dots$$

Pak náhodné veličiny  $T_n = \xi_n - \xi_{n-1}$ , pro  $n = 1, 2, \dots$ , pro  $\xi_0 = 0$ , jsou **nezávislé náhodné veličiny s exponenciálním rozdělením s parametrem  $\lambda > 0$**  a nazývají se **doby mezi událostmi v Poissonovém procesu  $\{N(t); t \geq 0\}$** .



## Exponenciální a Erlangovo rozdělení

- náhodná veličina  $\xi_n$  pro  $n \in \mathbb{N}$  se nazývá **doba do  $n$ -té události**;
- náhodná veličina  $\xi_n$  pro  $n \in \mathbb{N}$  má **Erlangovo rozdělení** s hustotou

$$f_n(x) = \frac{\lambda^n}{(n-1)!} x^{n-1} e^{-\lambda x}, \quad \text{pro } x \geq 0.$$

- **Erlangovo rozdělení** s parametry  $\lambda > 0$  a  $n \in \mathbb{N}$  je rozdělení součtu  $n$  nezávislých náhodných veličin s exponenciálním rozdělením s parametrem  $\lambda > 0$  a jedná se o speciální případ **Gamma rozdělení**;
- exponenciální rozdělení s parametrem  $\lambda > 0$  je **rozdělení bez paměti**, t.j., pro  $X \sim \text{Exp}(\lambda)$  platí, že

$$P[X > s + h | X > s] = P[X > h].$$

# Poissonův proces a exponenciální rozdělení

**Věta:** Náhodné veličiny s exponenciálním rozdělením a Poissonův proces

Nechť  $T_1, T_2, \dots$ , je posloupnost nezávislých, stejně rozdělených náhodných veličin s exponenciálním rozdělením s parametrem  $\lambda > 0$ . Nechť  $\xi_n = \sum_{k=1}^n T_k$ . Pak

$$N(t) = \sum_{k=1}^{\infty} \mathbb{I}_{\{\xi_k \leq t\}}$$

definuje Poissonův proces s intenzitou  $\lambda > 0$ .

- pokud záme počet události do nějakého času  $T > 0$ , pak je výskyt události v intervalu  $[0, T]$  tzv. “binomický“, t.j., časy událostí jsou nezávislé náhodné veličiny s rovnoměrným rozdělením na intervalu  $[0, T]$ ;

## Příklad: Binomická vlastnost

### Příklad

Nechť  $\{N(t); t \geq 0\}$  je Poissonův proces s intenzitou  $\lambda > 0$  a necht'  $N(T) = n$  a  $s \in (0, T)$ . Pak jednoduchým výpočtem dostaneme

$$\begin{aligned} P[N(s) = k | N(T) = n] &= \frac{P[N(s) = k, N(T) = n]}{P[N(T) = n]} \\ &= \frac{P[N(s) = k, N(T) - N(s) = n - k]}{P[N(T) = n]} \\ &= \frac{P[N(s) = k] \cdot P[N(T) - N(s) = n - k]}{P[N(T) = n]} \\ &= \binom{n}{k} \left(\frac{s}{T}\right)^k \left(1 - \frac{s}{T}\right)^{n-k} \end{aligned}$$

- ❑ Žádná část intervalu  $[0, T]$  není preferována a každý podinterval má rovnakou šanci (**úměrnou své délce**), že do něj padne událost. Body jsou do intervalu  $[0, T]$  umisťovány nezávisle na sobě.

## Poissonův proces s konstantní intenzitou

- Pro obecný Poissonův proces  $\{N(t); t \geq 0\}$  s konstantní intenzitou  $\lambda > 0$  také platí následující:
  - $P[N(t+h) = n+1 | N(t) = n] = \lambda h + o(h)$
  - $P[N(t+h) = n | N(t) = n] = 1 - \lambda h + o(h)$
  - $P[N(t+h) > n+1 | N(t) = n] = o(h)$

pro funkci  $o(h)$  takovou, že

$$\lim_{h \rightarrow 0^+} \frac{o(h)}{h} \rightarrow 0.$$

### Samostatný úkol

Ověřte, že uvedené vlastnosti skutečně platí pro obecný Poissonův proces s konstantní intenzitou  $\lambda > 0$ .

## Příklad: škody v neživotnem pojištění

### Příklad

Předpokládáme, že okamžiky pojistných události v čase tvoří Poissonův proces  $\{N(t); t \geq 0\}$  s konstantní intenzitou  $\lambda > 0$  a výše škod  $Y_k$  pro  $k \in \mathbb{N}$  jsou nezávislé, stejně rozdělené náhodné veličiny se střední hodnotou  $EY_k = \mu$ .

- $S(t) = \sum_{k=0}^{N(t)} Y_k$ , pro  $t \geq 0$  a  $Y_0 = 0$  je tzv. **složený Poissonův proces**;
- veličina  $S(t)$  udává **celkovou výši škod** do času  $t \geq 0$  a platí

$$\begin{aligned} ES(t) &= E \left[ E[S(t)|N(t)] \right] = E \left[ E \left[ \sum_{k=0}^{N(t)} Y_k | N(t) \right] \right] \\ &= E \left[ N(t) \cdot EY_k \right] = EY_k \cdot \left( \sum_{k=0}^{\infty} n \frac{(\lambda t)^n}{n!} \right) = \lambda t \mu; \end{aligned}$$

K úhradě škodních nákladů by pojišťovna měla dostávat od pojištěných klientů pojistné ve výši  $\lambda\mu$  za jednotku času.

## Příklad: Systém obslužní linky

### Príklad

Uvažujme obslužní linku, která poskytuje určitou službu (např., poladna v obchodě, telefonní linka, ...). Chceme modelovat chování takového systému.

- ❑ předpokládáme, že příchody zákazníků do systému tvoří Poissonův proces s konstantní intenzitou  $\lambda > 0$ ;
- ❑ když je linka obsazená, tvoří se fronta;
- ❑ doby obsluhy jednotlivých zákazníků jsou navzájem nezávislé náhodné veličiny s exponenciálním rozdělením s parametrem  $\mu > 0$ ;
- ❑ veličina  $X(t)$  značí počet zákazníků v systému (ve frontě a při obsluhu);
- ❑ označme  $p_k(t) = P[X(t) = k]$ , pro  $k = 0, 1, \dots$ ;
- ❑ předpokládáme, že také platí následující:

$$P(X(t+h) = k+1 | X(t) = k) = \lambda h + o(h)$$

$$P(X(t+h) = k | X(t) = k) = 1 - \lambda h + o(h)$$

$$P(X(t+k) > k+1 | X(t) = k) = o(h)$$

## Příklad: Systém obslužní linky

### Príklad

□ pro doby obsluhy pak platí:  $T \sim \text{Exp}(\mu)$  a proto také platí:

$$P(\text{obsluha skončí v čase } (t, t + h] | \text{zákazník je obsluhován v čase } t) = \mu h + o(h)$$

$$P(\text{obsluha neskončí v čase } (t, t + h] | \text{zákazník je obsluhován v čase } t) = 1 - \mu h + o(h)$$

$$P(\text{více zákazníku obsluženo v } (t, t + h] | \text{zákazník je obsluhován v čase } t) = o(h)$$

$$P(\text{přijde a odejde stejný počet v } (t, t + h] | \text{zákazník je obsluhován v čase } t) = o(h)$$

### Samostatný úkol

Použijte vlastnosti exponenciálního rozdělení s parametrem  $\mu > 0$ , aplikujte Tayloův rozvoj a odvoďte vztahy uvedené v příkladu nahoře.

# Zhrnutí předchozí přednášky/opakování

## ❑ Definice Poissonova procesu;

- ❑ stochastický proces se spojitým časem a diskrétnými stavy;
- ❑ čítací proces (počet události) s počátkem v bodě nula;
- ❑ nezávislé přírůstky s Poissonovým rozdělením;  
(pouze homogénní Poissonův proces s intenzitou  $\lambda > 0$ )

## ❑ Doby mezi událostmi v Poissonovém procesu

- ❑ nezávislé náhodné veličiny s exponenciálním rozdělením;
- ❑ souvislost mezi Poissonovým a exponenciálním rozdělením;
- ❑ exponenciální rozdělení, Erlangovo rozdělení, Gamma rozdělení;

## ❑ Široké využití v praxi

- ❑ modelování různých systému obsluhy;  
(intenzita příchodu zákazníků a intenzita obsluhy zákazníků)
- ❑ pojistné modely, modelování škodových událostí;  
(modelování výskytu pojistných událostí, vyplácení pojistného plnění)
- ❑ využití v komplexných pravděpodobnostných modelech; (napr. prostorové Poissonové modely, složené modely, atd'.)



## Příklad: Systém obslužní linky

### Príklad

- obecně můžeme psát, že v systému obslužní linky (model pro příchod a obsluhu zákazníku) nastane v intervalu  $(t, t + h)$  jedna změna (t.j. přijede jeden zákazník nebo odejde jeden zákazník) s pravděpodobností

$$\mu h + \lambda h + o(h);$$

- pravděpodobnost, že v takomto systému nenastane v časovém intervalu  $(t, t + h)$  žádná změna (nový zákazník nepřijde a žádný nebude obslužen) je

$$1 - \mu h + \lambda h + o(h);$$

- pravděpodobnost, že v systému dojde v časovém intervalu  $(t, t + h)$  k nějaké jiné změně (např. přijede více zákazníků, nebo více zákazníků bude obsluženo, nebo zároveň alespoň jeden přijede a alespoň jeden bude obslužen) je zanedbatelná, t.j. řádu  $o(h)$ ;

## Příklad: Systém obslužní linky

### Příklad

- ❑ zajíma nás limitní chování pravděpodobnosti

$$p_k(t) = P[X(t) = k],$$

pro  $t \rightarrow \infty$ ;

- ❑ Jaké je limitní rozdělení zákazníků v systému?  
(*hromadí se zákazníci ve frontě, nebo je systém prázdný?*)

- ❑ Příklad lze řešit pomocí soustavy diferenciálních rovnic...
- ❑ ... budeme uvažovat samostatně případ pro  $k = 0$  a  $k = 1, 2, \dots$ ;

## Řešení pomocí diferenciálních rovnic

□ pro  $k = 0$  dostaneme:

$$p_0(t+h) = p_0(t)(1 - \lambda h + o(h)) + p_1(t)(\mu h + o(h)) + \sum_{j=2}^{\infty} p_j(t)o(h)$$

## Řešení pomoci diferenciálních rovnic

□ pro  $k = 0$  dostaneme:

$$p_0(t+h) = p_0(t)(1 - \lambda h + o(h)) + p_1(t)(\mu h + o(h)) + \sum_{j=2}^{\infty} p_j(t)o(h)$$

□ pro  $k = 1, 2, \dots$  dostaneme:

$$\begin{aligned} p_k(t+h) &= \sum_{j=0}^{k-2} p_j(t)o(h) + p_{k-1}(t)(\lambda h + o(h)) \\ &\quad + p_k(t)(1 - \lambda h - \mu h + o(h)) \\ &\quad + p_{k+1}(t)(\mu h + o(h)) + \sum_{j=k+2}^{\infty} p_j(t)o(h) \end{aligned}$$

# Řešení pomocí diferenciálních rovnic

- algebraickou úpravou a limitním přechodem pro  $h \rightarrow 0_+$  dostaneme diferenciální rovnici pro  $k = 0$ :

$$\frac{\partial}{\partial t} p_0(t) = -\lambda p_0(t) + \mu p_1(t)$$

# Řešení pomoci diferenciálních rovnic

- algebraickou úpravou a limitním přechodem pro  $h \rightarrow 0_+$  dostaneme diferenciální rovnici pro  $k = 0$ :

$$\frac{\partial}{\partial t} p_0(t) = -\lambda p_0(t) + \mu p_1(t)$$

- algebraickou úpravou a limitním přechodem pro  $h \rightarrow 0_+$  dostaneme diferenciální rovnice pro  $k = 1, 2, \dots$ :

$$\frac{\partial}{\partial t} p_k(t) = \lambda p_{k-1}(t) - (\lambda + \mu) p_k(t) + \mu p_{k+1}(t)$$

## Řešení pomoci diferenciálních rovnic

- Pokud existuje limita  $\lim_{t \rightarrow \infty} p_k(t)$ , pak musí platit

$$0 = -\lambda p_0(\infty) + \mu p_1(\infty)$$

$$0 = \lambda p_{k-1}(\infty) - (\lambda + \mu) p_k(\infty) + \mu p_{k+1}(\infty)$$

- Soustava rovnic, jejíž řešením je

$$p_k(\infty) = \rho^k p_0(\infty),$$

kde  $\rho = \lambda/\mu$ ;

- Zároveň musí platit, že

$$\sum_{k=0}^{\infty} p_k(\infty) = 1,$$

jelikož se jedná o pravděpodobnostní rozdělení na množině  $\{0, 1, 2, \dots\}$ ;  
(limitné rozdělení teda existuje pro  $\rho < 1$  a ide o geometrické rozdělení s  
parametrem  $\rho = \frac{\lambda}{\mu}$ )

## Sjednocení nezávislých Poissonových procesů

- Generická vlastnost Poissonového rozdělení:

$$N_1 \sim \text{Poiss}(\lambda_1) \wedge N_2 \sim \text{Poiss}(\lambda_2) \implies N_1 + N_2 \sim \text{Poiss}(\lambda_1 + \lambda_2)$$

- Analogický aj pro Poissonov proces

Pro  $\{N_1(t); t \geq 0\}$  a  $\{N_2(t); t \geq 0\}$  dva nezávislé homogénní Poissonové procesy s intenzitou  $\lambda_1 > 0$  a  $\lambda_2 > 0$ , pak aj

$$\{N_1(t) + N_2(t); t \geq 0\}$$

je homogénní Poissonov proces s příslušnou intenzitou  $\lambda_1 + \lambda_2$ ;

### Samostatný úkol

Ukážte, že Poissonov proces  $\{N_1(t) + N_2(t); t \geq 0\}$  definovaný jako součet dvou vzájemně nezávislých homogénních Poissonových procesů s intenzitami  $\lambda_1 > 0$  a  $\lambda_2 > 0$  splňuje vlastnosti Poissonového procesu.



## Zobecnění pro více procesů

- Zjednocení dvou nezávislých Poissonových procesů lze zobecnit na více než dva procesy;
- Obecně, pro  $m \in \mathbb{N}$  nezávislých homogenních Poissonových procesů  $\{N_1(t); t \geq 0\}, \dots, \{N_m(t); t \geq 0\}$  s intenzitami  $\lambda_j > 0$  pro  $j = 1, \dots, m$  platí, že

$$N(t) = N_1(t) + \dots + N_m(t)$$

je opět Poissonov proces s příslušnou intenzitou

$$\lambda = \lambda_1 + \dots + \lambda_m.$$

### Samostatný úkol

Ukážte, že Poissonov proces  $\{N_1(t) + \dots + N_m(t); t \geq 0\}$  definovaný jako součet  $m$  vzájemně nezávislých homogenních Poissonových procesů s intenzitami  $\lambda_j > 0$  pro  $j = 1, \dots, m$ , splňuje vlastnosti Poissonového procesu.

## Nezávislost a podmíněná závislost

- ❑ Necht'  $\{N(t); t \geq 0\}$  je Poissonův proces s intenzitou  $\lambda > 0$ ;
- ❑ Události v procesu náhodně označíme dvěma různými nálepkami...
- ❑ S pravděpodobnosti  $p \in (0, 1)$  označíme událost nálepkou  $A$ ;  
(výskyt události typu  $A$  tvoří čítací proces  $\{N_1(t); t \geq 0\}$ )
- ❑ S pravděpodobnosti  $(1 - p)$  označíme událost nálepkou  $B$ ;  
(výskyt události typu  $B$  tvoří čítací proces  $\{N_2(t); t \geq 0\}$ )

**Věta:** Nezávislých rozděleného Poissonového procesů

Čítací procesy  $\{N_1(t); t \geq 0\}$  a  $\{N_2(t); t \geq 0\}$  jsou vzájemně nezávislé homogenní Poissonové procesy s příslušnými intenzitami  $\lambda_1 = \lambda p$  a  $\lambda_2 = \lambda(1 - p)$ .

# Nezávislost a podmíněná závislost

- Poissonové procesy  $\{N_1(t); t \geq 0\}$  a  $\{N_2(t); t \geq 0\}$  jsou dle předchozí věty **združeně nezávislé**;
- **Podmíněně**, při daném stavu procesu  $\{N(t); t \geq 0\}$ , jsou ale procesy  $\{N_1(t); t \geq 0\}$  a  $\{N_2(t); t \geq 0\}$  **vzájemně závislé**;

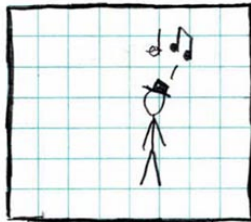
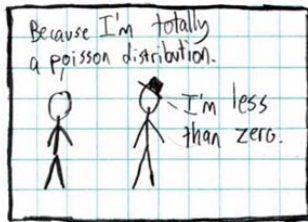
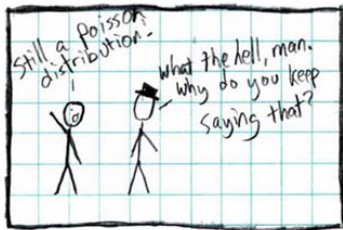
## Samostatný úkol

Ukážte, proč jsou procesy  $\{N_1(t); t \geq 0\}$  a  $\{N_2(t); t \geq 0\}$  při daném  $N \in \mathbb{N}$  podmíněně závislé. Dokonca jeden proces zcela určuje ten druhý.

# Různá zobecnění Poissonového procesu

- ❑ zobecnění Poissonového procesu v neeuklidovských prostorech;  
(*fundamentální nástroj v pravděpodobnosti, teorii míri a topologii*)
- ❑ dvojitě stochastický Poissonův proces (Coxův proces);  
(*Poissonův proces s náhodnou intenzitou  $\Lambda$* )
- ❑ složený Poissonův proces (tzv. marked process);  
(*událost v čase má vlastní náhodnou hodnotu*)
- ❑ tzv. compound Poissonův proces;  
(*Poissonův proces jako součet několika složených Poissonových procesů*)
- ❑ mnohé další zobecnění a speciální případy;  
(*užitečný nástroj pro pravděpodobnostní teorii i statistické modelování*)

# Poisonous Poisson



To conclude...

# Závěrečné zkoušky

# Zkouškové termíny

Závěrečná zkouška pozostáva z dvou časti;

- ❑ První část zkoušky

↔ samostatná písemná práce, teoretické a praktické úlohy v rozsahu odprednášanej látky;

- ❑ Druhá část zkoušky

↔ ústní zkouška pouze v případě vypracování písemné části na úrovni alespoň 60 %;

# Zkouškové termíny

- ❑ **1. Termín:** Uterí | 29.05.2018  
(Posluchárna K7 | 9:00)
- ❑ **2. Termín:** Uterí | 05.06.2018  
(Posluchárna K7 | 9:00)
- ❑ **3. Termín:** Uterí | 26.06.2018  
(Posluchárna K7 | 9:00)
- ❑ **4. Termín:** September 2018  
(dodatečně bude upřesněno)

Na konkrétný zkouškový termín je nutný zápis prostřednictvím elektronického systému SIS! Zápočet je podmínkou k přihlášení se na zkoušku!